

ANÁLISE DE SÉRIES TEMPORAIS COM  
COVARIÂNCIAS VARIANDO NO TEMPO  
ATRAVÉS DE FATORES COM VOLATILIDADE  
ESTOCÁSTICA

Rodrigo Tsai

Prof. Dr. Luiz Koodi Hotta  
Orientador

Instituto de Matemática, Estatística e Ciência Computacional  
Universidade Estadual de Campinas

Dissertação apresentada junto ao Departamento de Estatística do Instituto de Matemática, Estatística e Ciência Computacional, da Universidade Estadual de Campinas para a obtenção do título de Mestre em Estatística

# ANÁLISE DE SÉRIES TEMPORAIS COM COVARIÂNCIAS VARIANDO NO TEMPO ATRAVÉS DE FATORES COM VOLATILIDADE ESTOCÁSTICA

Este exemplar corresponde à redação final da dissertação devidamente corrigida e defendida por Rodrigo Tsai e aprovada pela comissão julgadora.

Campinas, 03 de dezembro de 2003.

Prof. Dr. Luiz Koodi Hotta  
Orientador

Banca Examinadora:

1. Prof. Dr. Luiz Koodi Hotta (Orientador) - IMECC/UNICAMP.
2. Prof. Dr. Aluísio de Souza Pinheiro - IMECC/UNICAMP.
3. Prof. Dr. Antonio Marcos Duarte Júnior - IBMEC-RJ.
4. Prof. Dr. Ronaldo Dias - IMECC/UNICAMP.

Dissertação apresentada ao Instituto de Matemática, Estatística e Computação Científica, UNICAMP, como requisito parcial para a obtenção do Título de Mestre em Estatística.

## **Resumo**

O modelo fatorial com os fatores latentes comuns e os fatores específicos seguindo processos de volatilidade estocástica são uma forma frugal de representar a matriz de variâncias e covariâncias de séries financeiras multivariadas variante no tempo. Esse modelo tem sido estimado na literatura por inferência bayesiana através de simulação **MCMC** e o objetivo deste trabalho é comparar dois esquemas de simulação recentemente desenvolvidos. Ambas as formas de simulação **MCMC** são implementadas pelo amostrador de Gibbs; uma delas reúne em blocos de simulação parâmetros e variáveis latentes correlacionados, o que diminui a autocorrelação da cadeia de Markov gerada na simulação e aumenta a eficiência do algoritmo. Nesse trabalho, esses métodos são aplicados a um conjunto de dados simulados para avaliar a qualidade das estimativas e também a um conjunto de dados reais composto de dez taxas de câmbio.

## **Abstract**

The factor model structured with common and idiosyncratic latent factors that follow stochastic volatility processes is a technique to parsimoniously represent the time varying variances and covariances matrix of financial time series. This model has been fitted in the literature via MCMC simulation and the purpose of this work is to compare two recently developed schemes for MCMC simulation. Both schemes are implemented through Gibbs sampler. One of them gathers parameters and latent variables that are correlated in blocks sampling them simultaneously. This procedure reduces the autocorrelation of the generated Markov Chains and increases the simulation efficiency. In this work these methods are applied both to simulated data sets, in order to assess the quality of the estimates, and to a data set composed by ten foreign exchange rates in order to experience different factor model specifications.

# Agradecimentos

À minha mãe pelo apoio e pela dedicação incondicionais.

Ao meu pai pelo ensino e pelo exemplo de força e de superação.

Ao meu irmão Cássio pelo exemplo de força e de amizade.

À minha irmã Yuri pela amizade e pelo companheirismo.

Ao meu orientador, prof. Luiz Koodi Hotta, pelo ensino, pela paciência e também pelo incentivo com o exemplo de trabalho.

À banca examinadora pela disposição em contribuir com o meu trabalho.

Ao professor Antônio Marcos Duarte Jr. por conceder as saídas às sextas-feiras do Unibanco para que eu trabalhasse na tese e também pelo incentivo para finalizá-la.

Aos professores Aluísio de Souza Pinheiro e Vera Lúcia da Rocha Lopes pela ajuda com as técnicas de simulação e otimização.

Aos amigos do mestrado que de várias formas contribuíram com o meu trabalho, Alexandre Rubesam, Benilton Carvalho, Cézar A. F. Anselmo, Clécio Ferreira, Helder Palaro, Nelson Lopes, Ricardo Takeyama, Nevena Maric, Roberta Souza, Rossana Lopez, Samara Kihl, Tatiana Benaglia, Victor Lachos. Aos amigos Dionisio Moriconi e Gabriel Silveira. À Luciana Okamori.

Aos professores e funcionários do Imecc e à Capes pelo suporte financeiro.

À Verdade, onipresente.

# Sumário

|          |  |           |
|----------|--|-----------|
| <b>1</b> | <b>Introdução</b>  | <b>1</b>  |
| 1.1      | Modelos multivariados para aplicação em finanças . . . . .       | 3         |
| 1.2      | Os dados . . . . .   | 5         |
| 1.3      | Estrutura da dissertação . . . . .                               | 5         |
| <b>2</b> | <b>O Modelo de Fatores Latentes com Volatilidade Estocástica</b> | <b>6</b>  |
| 2.1      | O modelo de volatilidade estocástica univariado . . . . .        | 6         |
| 2.2      | O modelo de fatores . . . . .                                    | 7         |
| 2.3      | Identificação e restrições . . . . .                             | 8         |
| 2.3.1    | Causas da indeterminação do modelo . . . . .                     | 8         |
| 2.3.2    | Estrutura hierárquica da matriz de cargas . . . . .              | 9         |
| 2.4      | Componentes de volatilidade estocástica . . . . .                | 11        |
| 2.5      | Prioris . . . . .  | 12        |
| <b>3</b> | <b>Estimação: Análise Bayesiana e Simulação MCMC</b>             | <b>15</b> |
| 3.1      | Modelo e notação . . . . .                                       | 15        |
| 3.2      | Inferência Bayesiana . . . . .                                   | 17        |
| 3.3      | Análise MCMC sem blocos . . . . .                                | 19        |
| 3.4      | Análise MCMC utilizando blocos . . . . .                         | 29        |
| <b>4</b> | <b>Análise de Dados Simulados</b>                                | <b>34</b> |
| 4.1      | Geração das séries de retornos . . . . .                         | 34        |
| 4.2      | Simulação MCMC sem blocos . . . . .                              | 36        |
| 4.2.1    | Estimativas para o modelo de fatores . . . . .                   | 37        |
| 4.2.2    | Estimativa dos modelos de VE. . . . .                            | 38        |

|   |  |            |
|---|--|------------|
| 4.2.3   | As variâncias e covariâncias das séries de retornos . . . . .    | 39         |
| 4.3   | Simulação MCMC utilizando blocos . . . . .                       | 40         |
| 4.3.1   | Estimativas para o modelo de fatores . . . . .                   | 41         |
| 4.3.2   | Estimativa dos modelos de VE. . . . .                            | 41         |
| 4.3.3   | As variâncias e covariâncias das séries de retornos . . . . .    | 42         |
| 4.4   | Comparação das estimativas . . . . .                             | 43         |
| <b>5</b>  | <b>Análise de Dados Reais</b>                                    | <b>51</b>  |
| 5.1   | Análise MCMC . . . . .   | 52         |
| 5.2   | O modelo de fatores . . . . .                                    | 53         |
| 5.3   | Os modelos de VE . . . . .                                       | 55         |
| 5.4   | A matriz de variâncias e covariâncias . . . . .                  | 56         |
| 5.5   | Especificação Euro - Yen nos fatores . . . . .                   | 57         |
| 5.6   | Análise de sensibilidade do modelo . . . . .                     | 59         |
| <b>6</b>  | <b>Considerações Finais</b>                                      | <b>67</b>  |
| <b>Apêndices</b>  |  | <b>68</b>  |
| <b>A Simulação de Monte Carlo - Cadeia de Markov</b>            |  | <b>68</b>  |
| A.1   | O algoritmo de Metropolis . . . . .                              | 68         |
| A.2   | O amostrador de Gibbs . . . . .                                  | 70         |
| <b>B Simulação e Filtragem em Modelos de Espaços de Estados</b> |  | <b>71</b>  |
| B.1   | O suavizador-simulador de Jong e Shephard . . . . .              | 71         |
| B.2   | O algoritmo FFBS de West Harrisson . . . . .                     | 72         |
| B.3   | O método de descontos e a análise inicial para o MF-VE . . . . . | 74         |
| <b>C Cadeias de Markov para os parâmetros do MF-VE</b>          |  | <b>76</b>  |
| C.1   | Simulação MCMC sem blocos . . . . .                              | 76         |
| C.2   | Simulação MCMC utilizando blocos . . . . .                       | 90         |
| <b>D Análise das taxas de câmbio</b>                            |  | <b>104</b> |
| <b>Referências</b>  |  | <b>117</b> |

# Listas de Figuras

|     |  |    |
|-----|--|----|
| 2.1 | Distribuições a priori para os parâmetros do MF-VE . . . . .   | 14 |
| 3.1 | Amostrador de Gibbs para a análise MCMC sem blocos. . . . .  | 21 |
| 3.2 | Distribuição $\log\chi^2_{(1)}$ e a aproximação por mistura de normais de Kim, Shephard e Chib (1998). . . . . | 27 |
| 4.1 | Medianas para $\theta$ das análises MCMC sem e com blocos. . . . .   | 46 |
| 4.2 | Medianas para $X$ das análises MCMC sem e com blocos. . . . .  | 47 |
| 4.3 | Medianas para $\mu^f$ e $\mu^\varepsilon$ das análises MCMC sem e com blocos.                                  | 48 |
| 4.4 | Medianas para $\phi^f$ e $\phi^\varepsilon$ das análises MCMC sem e com blocos.                                | 49 |
| 4.5 | Medianas para $\Sigma_\eta^f$ e $\sigma_\eta^\varepsilon$ das análises MCMC sem e com blocos.                  | 50 |
| 5.1 | Medianas para $\theta$ das análises MCMC sem e com blocos. . . . .   | 61 |
| 5.2 | Medianas para $X$ das análises MCMC sem e com blocos. . . . .  | 62 |
| 5.3 | Medianas para $\mu^f$ e $\mu^\varepsilon$ das análises MCMC sem e com blocos.                                  | 64 |
| 5.4 | Medianas para $\phi^f$ e $\phi^\varepsilon$ das análises MCMC sem e com blocos.                                | 65 |
| 5.5 | Medianas para $\Sigma_\eta^f$ e $\sigma_\eta^\varepsilon$ das análises MCMC sem e com blocos.                  | 66 |
| C.1 | Análise MCMC sem blocos para $\theta$ . . . . .  | 77 |
| C.2 | Análise MCMC sem blocos para a matrix $X$ - histogramas. . .   | 78 |
| C.3 | Análise MCMC sem blocos para a matrix $X$ - auto-correlação.   | 79 |
| C.4 | Fatores comuns das séries analisadas e desvios padrões condicionais . . . . .                                  | 80 |
| C.5 | Efeitos específicos das séries analisadas e desvios padrões condicionais . . . . .                             | 81 |
| C.6 | $f_{2t}$ , $\varepsilon_{3t}$ e $\varepsilon_{3t}$ para $t = 600, \dots, 700$ e desvios padrões condicionais   | 82 |

|      |  |     |
|------|--|-----|
| C.7  | Análise MCMC sem blocos para $\mu^f$   | 82  |
| C.8  | Análise MCMC sem blocos para $\phi^f$  | 83  |
| C.9  | Análise MCMC sem blocos para $\Sigma_\eta^f$   | 83  |
| C.10 | Análise MCMC sem blocos para $\mu^\varepsilon$   | 84  |
| C.11 | Análise MCMC sem blocos para $\phi^\varepsilon$  | 85  |
| C.12 | Análise MCMC sem blocos para $\sigma_\eta^\varepsilon$   | 86  |
| C.13 | Variâncias condicionais das séries - análise sem blocos  | 87  |
| C.14 | Correlações entre as séries - análise sem blocos   | 88  |
| C.15 | Percentual de variância específica - análise sem blocos  | 89  |
| C.16 | Análise MCMC com blocos para $\theta_i$  | 90  |
| C.17 | Análise MCMC com blocos para a matrix $X$ - histogramas  | 91  |
| C.18 | Análise MCMC com blocos para a matrix $X$ - auto-correlação  | 92  |
| C.19 | Fatores comuns das séries analisadas e desvios padrões condicionais  | 93  |
| C.20 | Efeitos específicos das séries analisadas e desvios padrões condicionais                                     | 94  |
| C.21 | $f_{2t}$ , $\varepsilon_{3t}$ e $\varepsilon_{3t}$ para $t = 600, \dots, 700$ e desvios padrões condicionais | 95  |
| C.22 | Análise MCMC utilizando blocos para $\mu^f$  | 95  |
| C.23 | Análise MCMC utilizando blocos para $\phi^f$   | 96  |
| C.24 | Análise MCMC utilizando blocos para $\Sigma_\eta^f$  | 96  |
| C.25 | Análise MCMC utilizando blocos para $\mu^\varepsilon$  | 97  |
| C.26 | Análise MCMC utilizando blocos para $\phi^\varepsilon$   | 98  |
| C.27 | Análise MCMC utilizando blocos para $\sigma_\eta^\varepsilon$  | 99  |
| C.28 | Variâncias condicionais das séries - análise com blocos  | 100 |
| C.29 | Correlações entre as séries - análise com blocos   | 101 |
| C.30 | Comparação das estimativas de variâncias e correlações das séries  | 102 |
| C.31 | Percentual de variância específica - análise com blocos  | 103 |
| D.1  | Paridade com o dólar das moedas analisadas de 01/jan/1999 a 31/ago/2002.                                     | 105 |
| D.2  | Séries de retornos analisadas.   | 106 |
| D.3  | Representação das moedas analisadas no espaço dos fatores.   | 107 |
| D.4  | Fatores comuns das taxas de câmbio   | 108 |

|   |     |
|---|-----|
| D.5 Efeitos específicos das taxas de câmbio . . . . .                 | 109 |
| D.6 Variâncias condicionais das taxas de câmbio . . . . .             | 110 |
| D.7 Correlações condicionais entre as taxas de câmbio . . . . .       | 111 |
| D.8 Percentual de variância específica das taxas de câmbio . . . . .  | 112 |
| D.9 Fatores comuns das taxas de câmbio . . . . .                      | 113 |
| D.10 Efeitos específicos das taxas de câmbio . . . . .                | 114 |
| D.11 Variâncias condicionais das taxas de câmbio . . . . .            | 115 |
| D.12 Percentual de variância específica das taxas de câmbio . . . . . | 116 |

# Listas de Tabelas

|      |  |    |
|------|--|----|
| 2.1  | Número de fatores para identificação do modelo fatorial . . . . .  | 11 |
| 2.2  | Prioris utilizadas para os parâmetros do MF-VE . . . . .   | 13 |
| 3.1  | Notação: variáveis em $t = 1, \dots, T$ do <b>MF-VE</b> . . . . .  | 16 |
| 3.2  | Notação: parâmetros e variáveis latentes do <b>MF-VE</b> . . . . .   | 17 |
| 3.3  | Componentes da mistura de normais para $\log\chi^2_{(1)}$ . . . . .  | 26 |
| 4.1  | Parâmetros $X$ e $\theta$ utilizados na geração da série multivariada $y_t$ . . . . .                          | 36 |
| 4.2  | Parâmetros utilizados na geração do processo de volatilidade dos fatores comuns $f_t$ . . . . .                | 36 |
| 4.3  | Parâmetros utilizados na geração dos processos de volatilidade dos erros específicos $\varepsilon_t$ . . . . . | 37 |
| 4.4  | Variância marginal das séries simuladas. . . . .   | 39 |
| 4.5  | Erro quadrático médio para as variáveis latentes $f_t$ e $\varepsilon_t$ estimadas. . . . .                    | 44 |
| 4.6  | Erro quadrático médio para as log-variâncias $\lambda_t^f$ e $\lambda_t^\varepsilon$ estimadas. . . . .        | 45 |
| 4.7  | Erro quadrático médio para os parâmetros estimados. . . . .  | 45 |
| 4.8  | $\theta$ estimada pelos métodos de simulação MCMC e real. . . . .  | 46 |
| 4.9  | Matriz $X$ : estimativas e valores reais. . . . .  | 47 |
| 4.10 | Médias $\mu^f$ e $\mu^\varepsilon$ : estimativas e valores reais . . . . .                                     | 48 |
| 4.11 | Coeficientes auto-regressivos $\phi^f$ e $\phi^\varepsilon$ : estimativas e valores reais. . . . .             | 49 |
| 4.12 | $\Sigma_\eta^f$ e $\sigma_\eta^\varepsilon$ estimativas e valores reais . . . . .                              | 50 |
| 5.1  | Estatísticas sumárias para os retornos das taxas de câmbio . . . . .   | 52 |
| 5.2  | Correlações entre os retornos das taxas de câmbio . . . . .  | 53 |
| 5.3  | Estatísticas sumárias para $\theta$ . . . . .  | 54 |

|      |  |    |
|------|--|----|
| 5.4  | Análise MCMC para a matriz de cargas $X$   | 55 |
| 5.5  | Estimativas para os parâmetros $\mu^f$ e $\phi^f$ - taxas de câmbio.                       | 56 |
| 5.6  | Estimativas para $\Sigma_\eta^f$ - taxas de câmbio   | 56 |
| 5.7  | Estimativas para os parâmetros $\mu^\varepsilon$ e $\phi^\varepsilon$ - taxas de câmbio    | 57 |
| 5.8  | Estimativas para $\sigma_{\eta,i}^\varepsilon$ - taxas de câmbio                           | 58 |
| 5.9  | Estatísticas sumárias para $\theta$ .  | 59 |
| 5.10 | Análise MCMC para a matriz de cargas $X$   | 60 |
| 5.11 | Estimativas para os parâmetros $\mu^f$ e $\phi^f$ - taxas de câmbio.                       | 60 |
| 5.12 | Estimativas para $\Sigma_\eta^f$ - taxas de câmbio   | 61 |
| 5.13 | $\theta$ estimada pelos métodos de simulação MCMC e real.                                  | 62 |
| 5.14 | Matriz $X$ : estimativas e valores reais.  | 63 |
| 5.15 | Médias $\mu^f$ e $\mu^\varepsilon$ : estimativas e valores reais                           | 64 |
| 5.16 | Coeficientes auto-regressivos $\phi^f$ e $\phi^\varepsilon$ : estimativas e valores reais. | 65 |
| 5.17 | $\Sigma_\eta^f$ e $\sigma_{\eta,i}^\varepsilon$ estimativas e valores reais                | 66 |

# **Lista de Abreviações**

|                   |  |
|-------------------|--|
| <b>APT</b>        | - Teoria de Precificação de Ativos   |
| <b>DLM</b>        | - Modelo Linear Dinâmico   |
| <b>EQM</b>        | - Erro Quadrático Médio  |
| <b>FFBS</b>       | - (Algoritmo de) filtragem passo à frente e simulação passo atrás de West e Harrisson (1997) |
| <b>GARCH/ARCH</b> | - (Modelo) auto-regressivo com heterocedasticidade condicional                               |
| <b>MCMC</b>       | - Monte Carlo via Cadeia de Markov   |
| <b>MF-VE</b>      | - Modelo de Fatores com Componentes de Volatilidade Estocástica                              |
| <b>MH</b>         | - (Algoritmo de) Metropolis - Hastings   |
| <b>NID</b>        | - (Variáveis aleatórias com distribuição) Normal identicamente distribuídas                  |
| <b>SSMO</b>       | - Algoritmo simulador-suavizador de Jong e Shephard (1995).                                  |
| <b>VaR</b>        | - Valor em Risco   |
| <b>VE</b>         | - Volatilidade Estocástica   |
| <b>VE-AR(1)</b>   | - Volatilidade Estocástica modelada por processo auto-regressivo(1)                          |
| <b>VE-VAR(1)</b>  | - Volatilidade Estocástica modelada por processo auto-regressivo(1) vetorial                 |

# Capítulo 1

## Introdução

Séries financeiras têm a característica de exibir matrizes de variâncias e co-variâncias (condicionais) variantes no tempo. Suas estimativas são utilizadas em alguns modelos em finanças: a teoria de precificação de ativos (**APT**) (Ross, 1976), que relaciona o valor esperado de um ativo individual à co-variância de retornos; a análise de carteiras (Alexander, 1986), que busca alocar recursos de forma a minimizar a variância de uma carteira para dado nível de retorno; e o Valor em Risco (**VaR**) de uma carteira (Frak, Hardle e Stahl (2000)), que estuda seu comportamento extremo.

Um método tradicionalmente utilizado para estimar esta matriz é o de médias móveis com amortecimento exponencial, que é, por exemplo, utilizado na metodologia RiskMetriks (RiskMetriks, 1994). Essa abordagem, sob o ponto de vista bayesiano, é chamada de estimador pelo método dos des-contos (ver West e Harrison (1997, subseção 16.4.5) para uma introdução ao método) e é utilizada em Quintana e West (1987) na análise de taxas de câmbio de várias moedas internacionais. Entretanto, esse método, ao contrário dos métodos recentemente desenvolvidos baseados em modelos de variância estocástica não tem capacidade preditiva e portanto não é capaz de se antecipar às mudanças. Por apresentarem melhores ajustes e previsões, os modelos de volatilidade estocástica (**VE**) e auto-regressivos com heterocedasticidade condicional (**ARCH**) são duas classes dominantes de modelos para variância de séries temporais em finanças.

Dada a característica das séries financeiras de estarem relacionadas aos

mesmos efeitos do mercado do qual participam, o modelo de análise fatorial é uma forma frugal de descrever sua matriz de variâncias e covariâncias. Esse modelo é utilizado considerando a estrutura de modelos (**ARCH**) em Engle, Ng e Rotschild (1990), Ng, Engle e Rotschild (1990), King, Sentana e Wadhwani (1994), Diebold e Nerlove (1989) e Bollerslev, Engle e Wooldridge (1988), mas as generalizações multivariadas de modelos **ARCH** têm muitos parâmetros e são difíceis de estimar devido a restrições complicadas no espaço paramétrico. Em contrapartida, os modelos mais simples (Bollerslev, Engle e Nelson (1994) podem ser simplistas demais para aproximar a natureza dos dados. Por exemplo Bollerslev (1990) supõe que as correlações condicionais entre as séries são constantes no tempo, o que é estendido em Engle e Shephard (2001) que utiliza um índice de dois parâmetros para representar a matriz de variâncias e covariâncias variante no tempo.

O modelo de fatores considerando os fatores latentes como processos de **VE** é explorado em Harvey, Ruiz e Shephard (1994), Pitt e Shephard (1999), Aguilar e West (2000), Chib, Nardari e Shephard (2002). Os modelos de **VE** introduzem na função de verossimilhança muitos parâmetros suplementares como as log-variâncias e os fatores latentes o que torna difícil a obtenção de máximos desta função, exigida na formulação clássica. O uso de inferência bayesiana contorna esse problema pois não requer a maximização desta função e portanto modelos de forma complicada e com muitos parâmetros não são um obstáculo.

A simulação **MCMC** é uma solução para realizar esse tipo de inferência. É gerada uma cadeia de Markov para os parâmetros e variáveis latentes tomando amostras sequencialmente das distribuições a posteriori das log-variâncias e dos fatores latentes condicionados aos parâmetros e também dos parâmetros condicionados a essas variáveis latentes. Após a convergência, esta cadeia possibilita a realização de inferências nas distribuições marginais a posteriori exatas dos parâmetros e também das log-variâncias e fatores latentes. Denotando por  $T$  o tamanho da amostra,  $k$  o número de fatores e  $q$  o número de séries analisadas, esta abordagem de simulação é um contorno ao obstáculo de realizar integração de ordem  $(2 \times k \times q \times T)$ -dimensional na função de verossimilhança do modelo.

Nesse trabalho é estudada a estimação do modelo de fatores para séries financeiras com os fatores latentes comuns e específicos seguindo processos de **VE** correlacionados e independentes respectivamente. A estimação destes modelos é feita por meio de inferência bayesiana através da simulação **MCMC** em como Pitt e Shephard (1999), Aguilar e West (2000) e Chib, Nardari e Shephard (2002)<sup>1</sup>. Nessas referências, a simulação **MCMC** é implementada utilizando o amostrador de Gibbs que, em Pitt e Shephard (1999) e Aguilar e West (2000), gera cada parâmetro de sua distribuição a posteriori condicional enquanto que, em Chib, Nardari e Shephard (2002), parâmetros e variáveis latentes correlacionados ou participantes da mesma estrutura no modelo são amostrados simultaneamente a partir de sua distribuição a posteriori conjunta, ou seja, em blocos de simulação. Embora apresente maior custo computacional a amostragem em blocos gera a cadeia Markov com autocorrelação com maior decaimento a zero exigindo um tamanho menor de cadeia.

O objetivo neste trabalho é comparar a desempenho destes dois métodos de simulação com respeito às características de eficiência, qualidade das estimativas e tempo computacional. Para realizar esta comparação foi realizada uma modificação do esquema de simulação de Chib, Nardari e Shephard (2002) para abordar modelos de fatores com log-variâncias dos fatores comuns correlacionadas.

## 1.1 Modelos multivariados para aplicação em finanças

Os modelos citados anteriormente, **APT**, Análise de Carteiras e **VaR** são a motivação para o estudo de modelos multivariados para aplicações em finanças:

---

<sup>1</sup>outras referências que utilizam esta abordagem são Lopes e West (2000) com enfoque na inferência do número de fatores e Nardari e Scruggs (2003) com enfoque no teste do modelo **APT** e cálculo da verossimilhança.

- *Teoria de Precificação de Ativos(APT)*. Relaciona o retorno esperado de um ativo individual à covariância de retornos. A exposição simples de **APT** desenvolvida por Ross (1976) é dada em Campbell, Lo e McKinley (1997). Aplicações de **APT** utilizam uma versão paramétrica onde é suposto que os retornos aritméticos seguem um modelo de análise factorial clássico (Bartholomew (1987)) para uma série  $q$  dimensional  $y_t = \alpha + Bf_t + \varepsilon_t, (\varepsilon'_t, f'_t)' \sim N(0, D)$ ,  $D$  diagonal,  $B$  matriz de cargas e  $f_t$   $k$  dimensional. **APT** diz que  $y_t$  representa melhor o mercado a medida que aumenta de dimensão considerando mais ativos e, nesse caso,  $\alpha \simeq ir + B\lambda$  onde  $r$  é a taxa livre de risco,  $i$  vetor de uns,  $\lambda$  é o fator prêmio de risco associado aos fatores  $f_t$  (normalmente são tomados como as variâncias dos fatores). Geweke e Zhou (1996) e McCulloch e Rossi (1991) são trabalhos bayesianos importantes para testar as restrições impostas pela teoria. Infelizmente a menos que sejam usados dados de baixa freqüência como retornos mensais, a suposição **NID** é rejeitada pelos dados que apresentam conglomerados de volatilidade estatisticamente significantes e caudas pesadas.
- *Alocação de Portfolio*. Considerando um investidor que busca alocar recursos entre ativos de forma ótima utilizando retornos aritméticos de período mensal por exemplo sendo  $y_t \sim NID$ . A solução clássica (Ingersoll (1987), cap.4) é delinear um portfolio que minimiza sua variância para um dado nível de retorno. Um trabalho bayesiano importante é encontrado em Quintana (1992). Para dados de alta freqüência é preciso extender o argumento escrevendo  $E(y_t|F_{t-1}) = a_t$  e  $Var(y_t|F_{t-1}) = \Sigma_t$  onde  $F_t$  é a informação até o tempo de investimento.
- *Valor em Risco(VaR)*. **VaR** estuda o comportamento extremo de uma carteira de ativos (Frak, Hardle e Stahl (2000)). No caso mais simples o interesse está nas caudas da densidade de  $w'y_t|F_{t-1}$  onde  $w$  é vetor de proporções de alocação de recursos.

## 1.2 Os dados

O modelo é estimado para um conjunto de dados de dez séries simuladas compondo um histórico de oitocentos retornos diários segundo as suposições do modelo - estrutura de fatores e componentes de volatilidade estocástica. Em seguida, o método MCMC com blocos é aplicado a um histórico de 934 retornos diários de dez taxas de câmbio, envolvendo moedas da Europa, Ásia e Américas do Sul e Central.

## 1.3 Estrutura da dissertação

No capítulo 2, são descritos o modelo de **VE** univariado, o modelo de fatores latentes com componentes de volatilidade estocástica (**MF-VE**) que é utilizado neste trabalho, as restrições necessárias para identificação deste modelo, seus componentes de **VE** e também as prioris utilizadas. No capítulo 3, é detalhado o procedimento de estimação do modelo, de acordo com os esquemas de simulação **MCMC** empregados em Aguilar e West (2000) e Chib, Nardari e Shephard (2002). No capítulo 4, utilizando séries simuladas, os ajustes do modelo realizados pelos dois métodos citados são testados e comparados. No capítulo 5, é estudado um conjunto de taxas de câmbio de acordo com o **MF-VE** e no capítulo 6 são apresentadas as considerações finais.

## Capítulo 2

# O Modelo de Fatores Latentes com Volatilidade Estocástica

Esse capítulo descreve o modelo de fatores com componentes de volatilidade estocástica (**MF-VE**) estudado no trabalho. Inicialmente é apresentado o modelo de **VE** univariado. Em seguida são discutidos o modelo de fatores, as restrições feitas à matriz de cargas devido ao problema de identificação e os componentes de **VE** utilizados no modelo. O capítulo é finalizado com a descrição das prioris utilizadas no modelo.

### 2.1 O modelo de volatilidade estocástica univariado

Como alternativa aos modelos da família **ARCH** que modelam a variância (condicional) dos retornos como função dos quadrados dos retornos passados e de variâncias passadas, a classe de modelos de **VE** constrói um processo estocástico latente para a variância. Versões empíricas do modelo de **VE** são formuladas em tempo discreto. O modelo proposto por Taylor (1986) para uma variável univariada é

$$\begin{aligned} y_t &= e^{\frac{\lambda_t}{2}} \epsilon_t, \quad t \geq 1 \\ \lambda_t &= \mu + \phi(\lambda_{t-1} - \mu) + \sigma_\eta \eta \end{aligned} \tag{2.1}$$

$$\lambda_1 \sim N(\mu, \frac{\sigma_\eta^2}{1 - \phi^2}),$$

com  $y_t$  o retorno do ativo no tempo  $t$  corrigido pela média,  $\lambda_t$  a log-volatilidade no tempo  $t$  suposta seguir um processo estacionário ( $|\phi| < 1$ ),  $\lambda_1$  distribuído segundo a distribuição marginal e  $\epsilon_t$  e  $\eta_t$  choques aleatórios não correlacionados cada um com distribuição normal padrão. A reparametrização  $\exp(\mu / 2)$  sobre a média  $\mu$  é a volatilidade instantânea modal,  $\phi$  é a persistência da volatilidade e  $\sigma_\eta$  a volatilidade da log-volatilidade. Esse modelo é usado como aproximação para o processo de difusão de **VE** em Hull e White (1987) e Chesney e Scott (1989). Suas propriedades econômétricas básicas são discutidas por exemplo, em Taylor (1986, 1984), Shephard (1996), Ghysels, Harvey e Renault (1996) e Jacquier, Polson e Rossi (1994). Nesse trabalho, para denotar o modelo de volatilidade que segue um processo autorregressivo de ordem 1, será utilizado o termo **VE-AR(1)**. Temos a sua extensão vetorial (**VE-VAR(1)**) quando, em (2.1),  $\lambda$  e  $\mu$  forem vetores  $r \times 1$  e  $\Sigma_\eta$  e  $\phi$  matrizes  $r \times r$ .

## 2.2 O modelo de fatores

Nesse trabalho a série de retornos  $y_t$   $q$ -variada é modelada como

$$y_t = \theta_t + X_t f_t + \varepsilon_t, \quad t = 1, \dots, T, \quad (2.2)$$

com média  $\theta_t$  vetor  $q \times 1$ , relacionada linearmente pela matriz de cargas  $X_t$   $q \times k$  ( $k < q$ ) a um vetor  $f_t$   $k \times 1$  de fatores ditos comuns e  $\varepsilon_t$  vetor de perturbações específicas  $q \times 1$ . Os fatores comuns  $f_t$ , condicionados à sua matriz de variâncias diagonal  $H_t$  são considerados realizações independentes de um processo latente:

$$f_t | H_t \sim N(0, H_t), \quad t = 1, \dots, T. \quad (2.3)$$

Da mesma forma os efeitos específicos  $\varepsilon_t$  condicionados à sua matriz de variâncias  $\Psi_t$  diagonal são considerados condicionalmente independentes e realizações de um processo latente:

$$\varepsilon_t | \Psi_t \sim N(0, \Psi_t), \quad t = 1, \dots, T, \quad (2.4)$$

sendo  $f_t$  e  $\varepsilon_s$  mutuamente independentes para quaisquer  $t$  e  $s$ . Com essas condições a estrutura de variâncias e covariâncias da série de retornos  $y_t$  quando condicionada a  $\theta_t$ ,  $X_t$ ,  $H_t$  e  $\Psi_t$  é

$$\Sigma_t = X_t H_t X'_t + \Psi_t, \quad (2.5)$$

e temos

$$y_t | \theta_t, X_t, H_t, \Psi_t \sim N(\theta_t, \Sigma_t). \quad (2.6)$$

Note que as séries de retornos  $y_t$  quando também condicionadas fatores comuns  $f_t$  são condicionalmente independentes e gaussianas

$$y_t | \theta_t, X_t, f_t, \Psi_t \sim N(\theta_t + X_t f_t, \Psi_t), \quad (2.7)$$

com matriz de variâncias e covariâncias diagonal, logo os fatores comuns  $f_t$  explicam toda a estrutura de dependência entre as séries  $y_t$ . Nesse trabalho, é considerado o modelo com a matriz de cargas dos fatores  $X_t$  e a média  $\theta_t$  como invariantes no tempo -  $X$  e  $\theta$ , ao contrário de como é feito em Lopes (2000), onde os elementos irrestritos da matriz  $X_t$  e os elementos de  $\theta_t$  variando no tempo são estimados como realizações de passeios aleatórios.

## 2.3 Identificação e restrições

Na forma em que é apresentado em (2.2) o modelo de fatores tem muitos parâmetros e não é identificável pelos dados (Aguilar 2000). A fim de obter uma decomposição única e determinada em (2.5) são impostas restrições à matriz  $X$  tais que esta matriz tenha posto completo, seja invariante com respeito a transformações lineares inversíveis nos fatores e tenha número de colunas  $k$  tal que o sistema dado pelas equações de (2.5) não seja indeterminado. Seguem as descrições para as três possíveis causas de indeterminação do modelo, as restrições necessárias e a solução que combina essas restrições.

### 2.3.1 Causas da indeterminação do modelo

O problema da indeterminação dos parâmetros acontece por exemplo, quando a matriz de cargas  $X$  não tem posto completo (Geweke e Singleton 1980). Isto

ocorre quando é ajustado um modelo com o número de fatores  $k$  em excesso. Para verificar a necessidade deste posto completo considere a simplificação  $\Sigma = XX' + \Psi$  no caso em que  $\text{posto}(X) = r$ ,  $r < k$ ; então existe uma matriz  $Q$  de dimensões  $k \times (k - r)$  tal que  $XQ = 0$  e  $Q'Q = I_{k-r}$ . Tomando  $M$  uma matriz  $q \times (k - r)$  tal que  $MM'$  seja diagonal, então temos

$$\begin{aligned} XX' + \Psi_t &= XX' + MM' + \Psi - MM' \\ &= (X + MQ')(X + MQ')' + \Psi_t - MM', \end{aligned}$$

e temos  $\Sigma = \hat{X}\hat{X}' + \hat{\Psi}$  com  $\hat{X} = (X + MQ')$  e  $\hat{\Psi} = \Psi - MM'$ ; logo o modelo não é identificável. Dessa forma,  $X$  deve ser tal que satisfaça a equação (2.5) e que  $\text{posto}(X) = k$  ou  $\text{posto}(X'X) = k$ .

Outra causa de indeterminação do modelo decorre da multiplicidade de soluções para a matriz  $X$  em (2.5) que é um problema bastante conhecido na análise factorial clássica. Dada uma solução  $X$  para  $\Sigma = XX' + \Psi$ , tomando  $L = XP$ , para  $P$  matriz ortogonal qualquer, teremos  $LL' = XX'$ , ou seja,  $\Sigma = LL' + \Psi$  e  $L$  também é solução para (2.5). Portanto são necessárias restrições ao modelo de tal forma que esta matriz seja única como solução de (2.5).

Após a consideração destas duas causas de indeterminação apresentadas é necessário considerar o número de parâmetros na matriz  $X$  de forma que o sistema de equações dados por (2.5) seja determinado. Assim, a matriz  $X$  deve ter o número de colunas  $k$  tal que o número de equações  $q(q+1)/2$  seja maior do que ou igual ao número de parâmetros em  $X$ ,  $H_t$  e  $\Psi_t$ .

### 2.3.2 Estrutura hierárquica da matriz de cargas

Como solução para a necessidade das restrições de posto completo e invariância com respeito a transformações lineares nos fatores  $f_t$  é utilizada a forma hierárquica da matriz de cargas proposta em Geweke e Zhou (1996)

com as restrições  $x_{ij} = 0$  para  $i > j$  e  $x_{ij} = 1$  para  $i = j$ :

$$X = \begin{bmatrix} 1 & 0 & 0 & \cdots & 0 \\ x_{2,1} & 1 & 0 & \cdots & 0 \\ x_{3,1} & x_{3,2} & 1 & \cdots & 0 \\ \vdots & \vdots & \vdots & \ddots & \vdots \\ x_{k,1} & x_{k,2} & x_{k,3} & \cdots & 1 \\ x_{k+1,1} & x_{k+1,2} & x_{k+1,3} & \cdots & x_{k+1,k} \\ \vdots & \vdots & \vdots & & \vdots \\ x_{q,1} & x_{q,2} & x_{q,3} & \cdots & x_{q,k} \end{bmatrix}. \quad (2.8)$$

Com essas restrições a primeira serie  $y_1$  será modelada por uma média  $\theta_1$  somada ao primeiro fator  $f_1$  mais sua perturbação específica  $\varepsilon_1$ , a segunda serie  $y_2$  por uma média  $\theta_2$  somada a  $x_{2,1}f_1 + f_2$  mais a sua perturbação específica  $\varepsilon_2$  e assim sucessivamente. Segundo Aguilar e West (2000) e Lopes e West (2000) utilizando a forma hierárquica da matriz X, a ordem das  $q$  séries univariadas no vetor  $y_t$  é importante para interpretação dos valores de X estimados, influencia o ajuste do modelo e também a determinação do número de fatores  $k$  mas não interfere nas previsões feitas pelo modelo pois as variâncias e covariâncias entre as séries são independentes da ordem das séries univariadas escolhida para compor o vetor  $y_t$ .

Considerando o número de equações e incógnitas no sistema (2.5),  $k$  deve ser tal que o número de equações  $q(q + 1)/2$  seja maior que o número de incógnitas  $qk + q - k(k - 1)/2$ . A tabela 2.1 mostra o número máximo de fatores que pode ser utilizado para o ajuste do modelo dado o número de séries de retornos  $y_t$  utilizadas tal que o modelo seja pelo menos determinado. Além da necessidade da identificação do modelo é desejável que o número de fatores  $k$  utilizado no modelo seja pequeno para se conseguir um modelo simples - por utilizar menos parâmetros em X, que explique as variâncias e covariâncias intertemporais da série de retornos.

| $q$ | $k$ | $q$ | $k$ | $q$ | $k$ |
|-----|-----|-----|-----|-----|-----|
| 2   | 0   | 8   | 4   | 13  | 8   |
| 3   | 1   | 9   | 5   | 14  | 9   |
| 4   | 1   | 10  | 6   | 15  | 10  |
| 5   | 2   | 11  | 6   | 20  | 14  |
| 6   | 3   | 12  | 7   | 50  | 31  |
| 7   | 3   | 13  | 8   | 100 | 86  |

Tabela 2.1: Número máximo de fatores ( $k$ ) dado o número de séries ( $q$ ) para identificação do modelo fatorial.

## 2.4 Componentes de volatilidade estocástica

O modelo de **VE** utilizado para os fatores comuns  $f_t$  e efeitos específicos  $\varepsilon_t$  neste trabalho é o modelo **VE-VAR(1)**. Nesse modelo o logaritmo neperiano das variâncias dos fatores e efeitos específicos - que são os termos da diagonal das matrizes  $H_t$  em (2.6) e  $\Psi_t$  em (2.7) respectivamente, é modelado por processos (vetoriais) autorregressivos estacionários de 1a ordem. O processo  $k$ -variado das log-volatilidades dos fatores comuns  $f_t$  é escrito fazendo  $\lambda_{it}^f = \log h_{it}$ ,  $i = 1, \dots, k$ , com notação vetorial  $\lambda_t^f = (\lambda_{1t}^f, \dots, \lambda_{kt}^f)'$ . Ele é modelado na forma de processo autorregressivo vetorial como

$$\lambda_t^f = \mu^f + \Phi^f(\lambda_{t-1}^f - \mu^f) + \eta_t^f \quad (2.9)$$

com  $\eta_t^f \sim N_k(0, \Sigma_\eta^f)$   $t=1,2,\dots$  independentes.  $\lambda_t^f$  é dito ter média  $\mu^f = (\mu_1^f, \dots, \mu_k^f)'$ , persistência  $\Phi^f = \text{diag}(\phi_1^f, \dots, \phi_k^f)$  e matriz de variância das inovações  $\Sigma_\eta^f$  de dimensão  $k \times k$ . A matriz  $\Sigma_\eta^f$  deve ser cheia para permitir correlação entre as  $k$  inovações do processo no tempo  $t$ . Note que a distribuição condicional de  $\lambda_t^f | \lambda_{t-1}^f, \mu^f, \phi^f, \Sigma_\eta^f$  é normal com média  $\mu^f + \Phi^f(\lambda_{t-1}^f - \mu^f)$  e matriz de variâncias e covariâncias  $\Sigma_\eta^f$  e considerando o modelo autorregressivo vetorial de 1a. ordem a distribuição marginal de  $\lambda_t^f$  é normal com média  $\mu^f$  e matriz de variâncias e covariâncias  $W^f$  tal que  $W^f = \Phi^f W^f \Phi^f + \Sigma_\eta^f$ .

Para as perturbações específicas fazendo  $\lambda_{it}^\varepsilon = \log \psi_{it}$  - denotado na forma vetorial como  $\lambda_t^\varepsilon = (\lambda_{1t}^\varepsilon, \dots, \lambda_{qt}^\varepsilon)'$ , o processo  $q$ -variado de log-volatilidades dos efeitos específicos é escrito utilizando parâmetros média  $\mu^\varepsilon = (\mu_1^\varepsilon, \dots, \mu_q^\varepsilon)'$

persistência  $\Phi^\varepsilon = \text{diag}(\phi_1^\varepsilon, \dots, \phi_q^\varepsilon)$  e matriz de variâncias das inovações  $\Sigma_\eta^\varepsilon$  que neste processo é diagonal, ou seja  $\Sigma_\eta^\varepsilon = \text{diag}(\sigma_{\eta,j}^2)$ . Essa forma equivale a considerar  $q$  processos univariados mas para efeito de simplificação o processo terá notação vetorial e temos

$$\lambda_t^\varepsilon = \mu^\varepsilon + \phi^\varepsilon(\lambda_{t-1}^\varepsilon - \mu^\varepsilon) + \eta_t^\varepsilon \quad (2.10)$$

com  $\eta_t^\varepsilon \sim N_q(0, \Sigma_\eta^\varepsilon)$  independentes. A distribuição condicional de  $\lambda_t^\varepsilon | \lambda_{t-1}^\varepsilon, \mu^\varepsilon, \phi^\varepsilon, \Sigma_\eta^\varepsilon$  é  $N(\mu^\varepsilon + \phi^\varepsilon(\lambda_{t-1}^\varepsilon - \mu^\varepsilon), \Sigma_\eta^\varepsilon)$  e dado o modelo autorregressivo de 1a. ordem a distribuição marginal para  $\lambda_t^\varepsilon$  é  $N(\mu^\varepsilon, \text{diag}(\frac{\sigma_{\eta,j}^2}{1-\phi_j^{\varepsilon 2}}))$ .

## 2.5 Prioris

Para a análise bayesiana completamos a especificação do **MF-VE** tomando prioris independentes para o conjunto de parâmetros  $\{\theta, X, \Phi^f, \Sigma_\eta^f, \mu^f, \Phi^\varepsilon, \Sigma_\eta^\varepsilon, \mu^\varepsilon\}$  i.e., proporcional ao produto das prioris

$$p(\theta) p(X) p(\Phi^f) p(\Sigma_\eta^f) p(\mu^f) p(\Phi^\varepsilon) p(\Sigma_\eta^\varepsilon) p(\mu^\varepsilon)$$

que são tomadas como difusas - veja tabela (2.2). Uma referência razoável sobre os valores nos quais as distribuições de  $\theta, X, \mu^f$  e  $\mu^\varepsilon$  devem ser centradas é dada por uma aproximação fatorial utilizada em Aguilar e West (2000) aplicada a um trecho inicial dos dados - veja apêndice B. Para o restante dos parâmetros são tomadas prioris conjugadas encontradas na literatura.

### *Prioris para $\theta$ e $X$*

Para os elementos univariados do parâmetro  $\theta$  são utilizadas prioris normais centradas em zero (retornos de séries financeiras têm esperança próxima de zero) e com variâncias iguais a 10. A matriz  $X$ , em cada linha  $i$  para  $i = 1, \dots, q$ , representa a relação linear entre a série  $y_{i,t}$  e os fatores  $f_{i,t}$ ,  $i = 1, \dots, k$  extraída a fonte de variância específica  $\varepsilon_{i,t}$ , logo depende da estrutura de covariância entre as séries não podendo ser definida a priori sem uma consulta aos dados. Nesse trabalho utilizamos para as entradas univariadas de  $X$  prioris normais independentes com médias os valores de  $X$  dados pela

| Parâmetro                     | Priori                        | Média          | Desvio Padrão |
|-------------------------------|-------------------------------|----------------|---------------|
| $\theta$                      | $N(\hat{\theta}; 25)$         | $\hat{\theta}$ | 5             |
| $X$                           | $N(x_{i,j}^*; 25)$            | $x_{i,j}^*$    | 5             |
| $\mu^f$ e $\mu^\varepsilon$   | $N(\hat{\mu}; 25)$            | $\hat{\mu}$    | 5             |
| $\phi^f$ e $\phi^\varepsilon$ | $Beta(21; 1, 5)$              | 0,86           | 0,11          |
| $\sigma_{\eta,i}^\varepsilon$ | $IGamma(2, 4; 0, 35)$         | 0,25           | 0,40          |
| $\Sigma_\eta^f$               | $IWishart(6; 0, 10 \times I)$ | 0,20*          | 0,28*         |

Tabela 2.2: Prioris utilizadas para os parâmetros do **MF-VE**.  $\hat{x}$  denota estimativa dada pela aproximação fatorial. Para  $\Sigma_\eta^f$  valores \* se referem aos elementos da diagonal da matriz considerando que sua dimensão é  $2 \times 2$ .

aproximação fatorial, e desvios padrões iguais ao máximo entre 5 e o valor absoluto destas estimativas.

### **Prioris para $\mu^f$ e $\mu^\varepsilon$**

Prioris para os níveis de log-variâncias  $\mu^f$  e  $\mu^\varepsilon$  dos processos de **VE** são determinadas como distribuições normais centradas nas estimativas dadas pelo ajuste de modelos auto-regressivos às log-variâncias dadas pela aproximação fatorial e desvio padrão igual a 5.

### **Prioris para $\phi^f$ e $\phi^\varepsilon$**

Os elementos univariados de  $\phi^f$  e  $\phi^\varepsilon$  têm distribuições a priori transformadas da distribuição Beta fazendo  $\phi = 2\phi^* - 1$  para  $\phi^* \sim Beta(a, b)$ . Dada a propriedade de alta persistência na volatilidade de séries financeiras são tomados parâmetros desta distribuição Beta tais que a média e o desvio padrão sejam 0,86 e 0,11 respectivamente - veja tabela 2.2.

### **Prioris para $\Sigma_\eta^f$ e $\sigma_{\eta,i}^\varepsilon$**

As variâncias das inovações  $\sigma_{\eta,i}^\varepsilon$  nos processos de **VE-AR(1)** dos efeitos específicos utilizadas são distribuições inversas de Gamma com parâmetros  $r_\gamma$  e  $\lambda_\gamma$  tais que a média e o desvio padrão da distribuição sejam 0,25 e 0,4

respectivamente. A matriz de variâncias das inovações do processo de **VE-VAR(1)** dos fatores comuns é considerada a priori uma inversa de Wishart com parâmetro de grau de liberdade  $r = 6$  (para ser difusa) e matriz de escala  $R = 0,10 \times I$ .

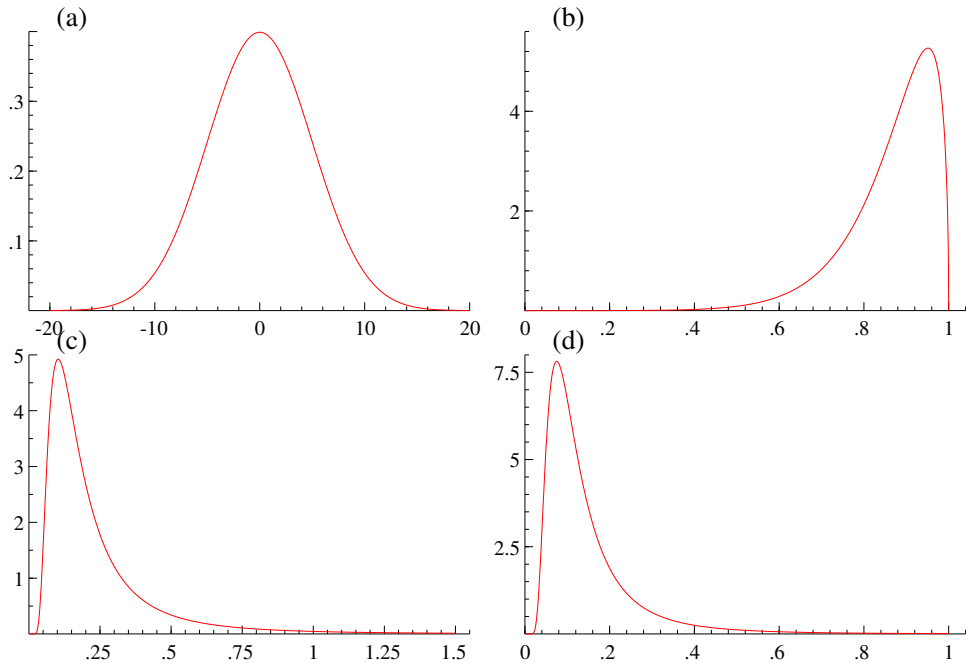


Figura 2.1: Distribuições a priori para os parâmetros do MF-VE:(a) Normais para os elementos univariados de  $X$ ,  $\theta$  e  $\mu$  fazendo ser centradas em zero; (b) transformadas de Beta para os elementos univariados de  $\phi^f$  e  $\phi^e$ ; (c) Inversa de Gamma para as variâncias  $\sigma_i^{e2}$ ,  $i = 1,..,q$  e (d) Inversa de Wishart para as posições dos elementos da diagonal de  $\Sigma_\eta^f$ .

# Capítulo 3

## Estimação: Análise Bayesiana e Simulação MCMC

Esse capítulo trata as formas de estimação do **MF-VE** analisadas neste trabalho. Uma introdução discute o uso de inferência bayesiana e simulação **MCMC** para esse modelo e indica referências. Em seguida, duas seções detalham os esquemas de simulação comparados neste trabalho, analisando seus algoritmos.

### 3.1 Modelo e notação

Do capítulo anterior temos que o modelo a ser utilizado neste trabalho é dado pelas equações

$$y_t = \theta + Xf_t + \varepsilon_t, \quad (3.1)$$

para o modelo de fatores das séries de retornos  $y_t$ ,  $t = 1, \dots, T$ ,

$$f_t | H_t \sim N(0, H_t) \quad (3.2)$$

$$\lambda_t^f = \mu^f + \Phi^f(\lambda_{t-1}^f - \mu^f) + \eta_t^f \quad (3.3)$$

para os fatores comuns  $f_t$  e suas log-variâncias  $\lambda_t^f$ ,  $t = 1, \dots, T$  e

$$\varepsilon_t | \Psi_t \sim N(0, \Psi_t) \quad (3.4)$$

$$\lambda_t^\varepsilon = \mu^\varepsilon + \phi^\varepsilon(\lambda_{t-1}^\varepsilon - \mu^\varepsilon) + \eta_t^\varepsilon \quad (3.5)$$

para os erros específicos  $\varepsilon_t$  e suas log-variâncias  $\lambda_t^\varepsilon$ ,  $t = 1, \dots, T$ .

Para simplificar a notação utilizamos para as variáveis indexadas em  $t$  para  $t = 1, \dots, T$  sua forma sem índice, isto é  $y = (y_1, \dots, y_T)$ ,  $f = (f_1, \dots, f_T)$ ,  $\varepsilon = (\varepsilon_1, \dots, \varepsilon_T)$ ,  $\lambda^f = (\lambda_1^f, \dots, \lambda_T^f)$  e  $\lambda_i^\varepsilon = (\lambda_{i,1}^\varepsilon, \dots, \lambda_{i,T}^\varepsilon)$  para  $i = 1, \dots, q$  - veja tabela 3.1. Para os processos de **VE** temos cada terna de parâmetros representada por  $\Gamma$ . Isto significa que para o processo de **VE-VAR(1)** dos fatores comuns temos  $\Gamma^f = (\phi^f, \Sigma_\eta^f, \mu^f)$ , e para os processos de volatilidade dos efeitos específicos temos  $\Gamma^\varepsilon = (\phi^\varepsilon, \Sigma_\eta^\varepsilon, \mu^\varepsilon)$  quando considerados um processo **VE-VAR(1)** e  $\Gamma_i^\varepsilon = (\phi_i^\varepsilon, \sigma_{\eta i}^\varepsilon, \mu_i^\varepsilon)$  quando tratados como  $q$  processos de **VE-AR(1)** isoladamente. Para o conjunto de todos os parâmetros do modelo será utilizado  $\Upsilon = (\theta, X, \Gamma^f, \Gamma^\varepsilon)$  que, agregado às variáveis latentes e processos de **VE** resulta na extensão  $\Upsilon^A = (\Upsilon, f, \varepsilon, \lambda^f, \lambda^\varepsilon)$ . Também será utilizado  $A_{\setminus B}$  como referência a todos os elementos de um conjunto A exceto B. As tabelas 3.1 e 3.2 dispõem uma referência de consulta para essas notações.

| Notação                 | Variáveis   | Descrição  |
|-------------------------|---|--|
| $y$                     | $(y_1, \dots, y_T)$   | série multivariada $y_t$   |
| $f$                     | $(f_1, \dots, f_T)$   | fatores latentes $f_t$   |
| $\varepsilon$           | $(\varepsilon_1, \dots, \varepsilon_T)$                         | efeitos específicos $\varepsilon_t$  |
| $H$                     | $(H_1, \dots, H_T)$   | matrizes (diagonais) de variâncias dos fatores $f_t$                       |
| $\lambda^f$             | $(\lambda_1^f, \dots, \lambda_T^f)$                             | log-variâncias dos fatores $\lambda_t^f$                                   |
| $\Psi$                  | $(\Psi_1, \dots, \Psi_T)$                                       | matrizes (diagonais) de variâncias dos efeitos específicos $\varepsilon_t$ |
| $\lambda_i^\varepsilon$ | $(\lambda_{i,1}^\varepsilon, \dots, \lambda_{i,T}^\varepsilon)$ | log-variâncias dos efeitos específicos $\lambda_t^\varepsilon$             |

Tabela 3.1: Tabela de referência da notação utilizada para variáveis relacionadas ao **MF-VE** - variáveis em  $t = 1, \dots, T$ .

| Notação                | Variáveis  | Descrição   |
|------------------------|--|---|
| $\Gamma^f$             | $(\phi^f, \Sigma_\eta^f, \mu^f)$                                       | terna de parâmetros do processo de <b>VE-VAR(1)</b> dos fatores latentes  |
| $\Gamma_i^\varepsilon$ | $(\phi_i^\varepsilon, \sigma_{\eta i}^\varepsilon, \mu_i^\varepsilon)$ | terna de parâmetros de cada processo de <b>VE-AR(1)</b> dos efeitos específicos $i = 1, \dots, q$                 |
| $\Gamma^\varepsilon$   | $(\phi^\varepsilon, \Sigma_\eta^\varepsilon, \mu^\varepsilon)$         | terna de parâmetros do processo de <b>VE-VAR(1)</b> dos efeitos específicos quando tratado como processo vetorial |
| $\Upsilon$             | $(\theta, X, \Gamma^f, \Gamma^\varepsilon)$                            | parâmetros do <b>MF-VE</b>  |
| $\Upsilon^A$           | $(\Upsilon, f, \lambda^f, \lambda^\varepsilon)$                        | parâmetros e variáveis latentes do <b>MF-VE</b>   |

Tabela 3.2: Tabela de referência da notação utilizada para variáveis relacionadas ao **MF-VE** - parâmetros e variáveis latentes.

## 3.2 Inferência Bayesiana

A função de verossimilhança do **MF-VE** marginalizada sobre os parâmetros  $\Upsilon$  do modelo é definida por uma integral  $2 \times k \times q \times T$ -dimensional

$$l(\Upsilon) \propto \int \int \int p(Y|\theta, X, f, \lambda^\varepsilon) p(f|\lambda^f) p(\lambda^f|\Gamma^f) p(\lambda^\varepsilon|\Gamma^\varepsilon) df d\lambda^f d\lambda^\varepsilon, \quad (3.6)$$

estrutura que torna difícil qualquer procedimento de maximização com respeito aos parâmetros  $\Upsilon$ . Na análise bayesiana os modelos são tratados como estruturas hierárquicas de distribuições condicionais. Essa hierarquia para o **MF-VE** é dada pela distribuição dos dados condicionados aos parâmetros e variáveis latentes -  $p(Y|\theta, X, f, \Psi)$ ; pelas distribuições das variáveis latentes condicionadas aos parâmetros -  $p(f|\lambda^f)$ ,  $p(\lambda^f|\Gamma^f)$  e  $p(\lambda^\varepsilon|\Gamma^\varepsilon)$ ; e pelas marginais ou distribuições a priori dos parâmetros em  $\Upsilon$  -  $p(\theta)$ ,  $p(X)$ ,  $p(\Gamma^f)$  e  $p(\Gamma^\varepsilon)$ . Essas distribuições condicionais são obtidas a partir do produto em  $t$  das distribuições condicionais de (3.1) a (3.5) e as prioris são dadas - ver seção 2.4. A distribuição conjunta das variáveis latentes e parâmetros condicionados aos dados é proporcional ao produto destes 3 grupos de distribuições. Dada pelo teorema de Bayes esta distribuição  $p(\Upsilon, f, \lambda^f, \lambda^\varepsilon | y)$  é proporcional a

$$p(Y | \theta, X, f, \Psi) p(\theta) p(X) p(f|H) p(H|\Gamma^f) p(\Gamma^f) p(\Psi|\Gamma^\varepsilon) p(\Gamma^\varepsilon). \quad (3.7)$$

Dessa distribuição conjunta a marginal  $p(\Upsilon|y)$  é utilizada para fazer inferência sobre os parâmetros do modelo, as marginais  $p(\lambda^f|y)$  e  $p(\lambda^\varepsilon|y)$  para conhecer o processo das log-variâncias suavizado e a marginal  $p(f|y)$  para conhecer os fatores latentes às séries  $y_t$ . Para computar essas distribuições marginais são tomadas amostras da distribuição  $p(\Upsilon, f, \lambda^f, \lambda^\varepsilon|y)$  que é a distribuição invariante da cadeia de Markov construída pelo **MCMC**. Essa distribuição quando quebrada em distribuições condicionais facilita a construção desta cadeia e é uma implementação do amostrador de Gibbs - veja apêndice A para uma introdução ao método. A partir da convergência das simulações para a distribuição invariante  $p(\Upsilon, f, \lambda^f, \lambda^\varepsilon|y)$  valores da cadeia tomados periodicamente - para extrair a autocorrelação, podem ser tratados como realizações independentes desta distribuição conjunta - o que é uma forma de fazer integração de Monte Carlo. Considerando a simulação e a inferência na amostra extraída da cadeia o método é uma aplicação da simulação **MCMC**.

Consideramos neste trabalho duas variantes do método de simulação **MCMC** para estimação do **MF-VE**. A primeira é o esquema **MCMC** adotado em Aguilar e West (2000) e Pitt e Shephard (1999) nos quais a distribuição (3.7) proporcional à conjunta a posteriori é quebrada em distribuições condicionais de cada parâmetro. Nesse trabalho esse esquema de simulação chamado de simulação sem considerar blocos é detalhado na seção 3.3.

A outra forma de simulação **MCMC** é discutida na 3.4 e é desenvolvida em Chib, Nardari e Shephard (2002) utilizando de métodos previamente desenvolvidos em Chib, Nardari e Shephard (2001) e Chib e Greenberg (1995). Nessa aplicação da simulação **MCMC** as distribuições condicionais que compõem (3.7) são distribuições conjuntas de parâmetros e variáveis latentes correlacionados ou participantes da mesma estrutura internamente ao **MF-VE**. Simulando destas distribuições conjuntas o processo de simulação produz uma cadeia **MCMC** com autocorrelação menor aumentando a eficiência da simulação.

### 3.3 Análise MCMC sem blocos

Da forma como utilizado em Aguilar e West (2000) e Pitt e Shephard (1999) o amostrador de Gibbs para o **MF-VE** (2.5)-(2.11) gera amostras dos parâmetros  $\Upsilon$  e variáveis latentes sequêncialmente a partir do conjunto de suas distribuições condicionais da forma como é descrita a seguir. De uma forma geral, essas amostras neste algoritmo são obtidas por passos de simulação da distribuição condicional (amostragem direta), passos de simulação utilizando o algoritmo de Metropolis-Hastings (**MH**) para dadas distribuições proposta e objetiva e também por passos de simulação utilizando o simulador-suavizador de Jong e Shephard (1995) (**SSMO**) para as sequências de log-variâncias - veja apêndice B para introdução ao método. O algoritmo é resumido como segue.

#### Algoritmo 1. Esquema MCMC sem considerar blocos<sup>1</sup>

1. Inicializa  $f$ ,  $\varepsilon$ ,  $\lambda^f$ ,  $\lambda^\varepsilon$ ,  $w$  e  $\Upsilon$
2. amostra  $\theta$  (direta da distribuição normal)
3. amostra  $X$  (direta da distribuição normal)
4. amostra  $f_t$ ,  $t=1, \dots, T$ . (direta da distribuição normal)
5. Para o processo de **VE-VAR(1)** dos fatores comuns
  - (a) amostra  $\phi^f$  (**MH** proposta normal)
  - (b) amostra  $\Sigma_\eta^f$  (**MH** proposta inversa de Wishart)
  - (c) amostra  $\mu^f$  (direta da distribuição normal)
  - (d) amostra  $w_t^f$ ,  $t=1, \dots, T$ . (direta da distribuição multinomial)
  - (e) amostra  $\lambda^f$  (**SSMO**)
6. Para cada processo de **VE-AR(1)** dos fatores idiosincráticos ( $i = 1, \dots, q$ )

---

<sup>1</sup>No esquema do algoritmo a quantidade  $w$  é uma variável indicadora utilizada no método de aproximação por misturas para simulação das log-variâncias e será definida na seção 3.2.1 passos (5d-e) de simulação das log-variâncias.

- (a) amostra  $\phi_i^\varepsilon$  (**MH** proposta normal)
- (b) amostra  $\sigma_{\eta i}^\varepsilon$  (direta da distribuição inversa de Gamma)
- (c) amostra  $\mu_i^\varepsilon$  (direta da distribuição normal)
- (d) amostra  $w_{ti}^\varepsilon$ ,  $t=1, \dots, T$ . (direta da distribuição multinomial)
- (e) amostra  $\lambda_i^\varepsilon$  (**SSMO**)

7. vá para 2.

## Passos do algoritmo

Essa subseção detalha os passos do Algoritmo 1 sequêncialmente na ordem apresentada no esquema do algoritmo.

### ***Passo (1) valores iniciais para $\Upsilon^A$ .***

Os valores iniciais utilizados para os parâmetros e variáveis latentes são dados pela aplicação da aproximação fatorial - veja apêndice, aplicadas a todo o conjunto de dados, exceto os coeficientes auto-regressivos que são inicializados em 0,97 e as variâncias das inovações em 0,04 como sugerido em Kim, Shephard e Chibb (1998).

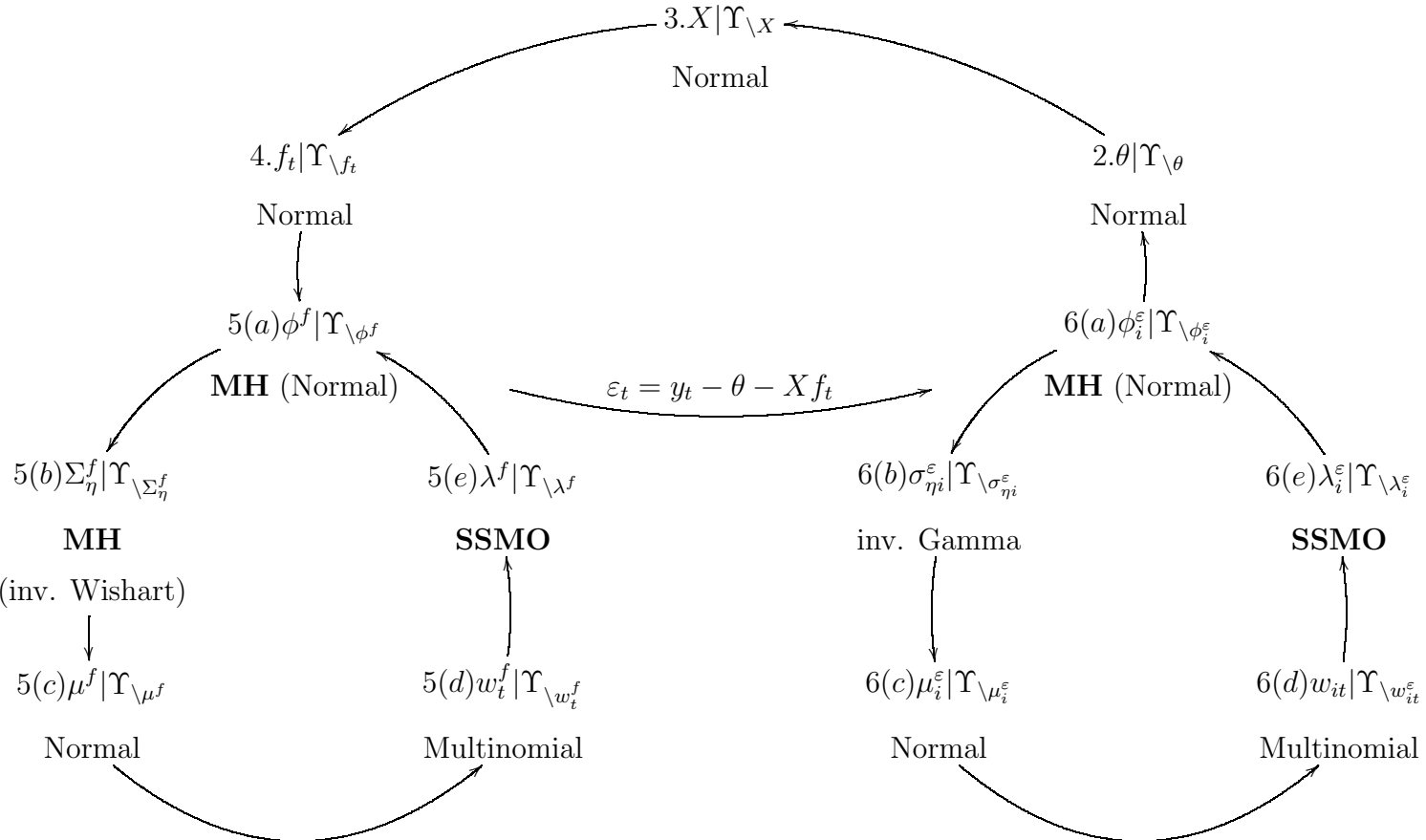


Figura 3.1: Amostrador de Gibbs para a análise MCMC sem blocos.

**Passo (2) amostra de  $\theta|\Upsilon_{\setminus\theta}^A$ .**

Utilizando na distribuição conjunta 3.7 condicionada a  $\Upsilon_{\setminus\theta}^A$  o modelo para  $Y$  como  $p(Y|\Upsilon_{\setminus\theta})$ , i.e. escrevendo as equações de  $Y$  como  $Y_t - Xf_t = \theta + \varepsilon_t$  com  $\varepsilon_t \sim N(0, \Psi_t)$  e considerando a priori conjugada  $p(\theta) \sim N(m_0, M_0)$  temos a distribuição condicional a posteriori  $p(\theta|\Upsilon_{\setminus\theta}^A, Y) \sim N(m, M)$  com

$$M = \left( \sum_{t=1}^T \Psi_t^{-1} + M_0^{-1} \right)^{-1} e \quad m = M \left( \sum_{t=1}^T \Psi_t^{-1} (y_t - Xf_t) + M_0^{-1} m_0 \right),$$

da qual  $\theta$  é amostrada diretamente.

**Passo (3) amostra de  $f_t|\Upsilon_{\setminus f_t}^A, t = 1,.., T$ .**

A partir das distribuições 3.1 e 3.3 a distribuição conjunta de  $f_t$  e  $Y_t - \theta$  é

$$\begin{bmatrix} f_t|\theta, X, H_t, \Psi_t \\ Y_t - \theta|\theta, X, H_t, \Psi_t \end{bmatrix} \sim N \left( 0, \begin{bmatrix} H_t & H_t X' \\ X H_t & X H_t X' + \Psi_t \end{bmatrix} \right)$$

o que leva á distribuição condicional de  $f_t|Y_t - \theta$

$$f_t|Y_t - \theta \sim N \left( H_t X' Q_t^{-1} (Y_t - \theta), H_t - H_t X' Q_t^{-1} X H_t \right)$$

para  $Q_t = X H_t X' + \Psi_t$ , da qual os fatores  $f_t$  são amostrados de forma independente  $t=1,..,T$ .

**Passo (4) amostra de  $X|\Upsilon_{\setminus X}^A$ .**

A simulação da matriz de cargas fatoriais segue o problema bayesiano de estimação de coeficientes de regressão. Condicionada em  $\Upsilon_{\setminus X}^A$  a distribuição condicional a posteriori de  $X$  é produto das distribuições  $k$  dimensionais conjuntas dos seus elementos de cada linha, o que significa que os vetores formados por essas linhas, condicionados em  $\Upsilon_{\setminus X}^A$  são independentes e podem ser amostrados de forma independente. Utilizamos a distribuição

$$p(Y_t - \theta|X, f_t, \Psi_t) \sim N(Xf_t, \Psi_t)$$

para construir a função de verossimilhança

$$\begin{aligned}
p(y_1 - \theta, \dots, y_T - \theta) &\propto \prod_{t=1}^T N(Y_t - \theta | Xf_t, \Psi_t) \\
&\propto \exp \left\{ -\frac{1}{2} \sum_{t=1}^T (Y_t - \theta - Xf_t)' \Psi_t^{-1} (Y_t - \theta - Xf_t) \right\} \\
&\propto \exp \left\{ -\frac{1}{2} \sum_{t=1}^T (Xf_t)' \Psi_t^{-1} (Xf_t) - 2(Xf_t)' \Psi_t^{-1} (Y_t - \theta), \right\}
\end{aligned}$$

e como  $\Psi_t$  é diagonal e utilizando o índice  $l$  para as linhas de  $X$  ( $l = 2, \dots, q$ ) temos

$$\propto \prod_{l=2}^q \exp \left\{ -\frac{1}{2} \sum_{t=1}^T (x_{lt} f_t)' \psi_{lt}^{-1} (x_{lt} f_t) - 2(x_{lt} f_t)' \psi_{lt}^{-1} (Y_{lt} - \theta_l) \right\},$$

para  $x_l$  a  $l$ -ésima linha da matriz  $X$ . Com uma priori  $p(x_l) \sim N(m_0, M_0)$  a  $l$ -ésima linha de  $X$  tem distribuição a posteriori  $x_l$  com o  $p(x_l' | \Upsilon_{\setminus x_l}^A) \sim N(m_l, M_l)$  sendo

$$M_l = \left( \sum_{t=1}^T f_t \psi_{lt}^{-1} f_t' + M_0^{-1} \right)^{-1} \text{ e } m_l = M_l \left( \sum_{t=1}^T f_t \psi_{lt}^{-1} (Y_t - \theta) + M_0^{-1} m_0 \right)$$

da qual o vetor linha  $x_l$  é amostrado diretamente. Para  $2 \leq l \leq k$  temos  $x_l$  amostrado em suas posições de 1 a  $l-1$  condicionado à restrição feita nas posições restantes, isto é  $[x_{l,l}, \dots, x_{l,k}] = [1, 0, \dots, 0]$ .

### **Passo (5a) amostra dos coeficientes auto-regressivos $\phi^f | \Upsilon_{\setminus \phi^f}^A$**

A partir da distribuição conjunta 3.7 condicionada a  $\Upsilon_{\phi^f}^A$  e utilizando  $p(H|\Gamma^f) = p(\lambda^f|\Gamma^f)$  como produto da distribuição marginal  $\gamma_1 \sim N(0, W)$  e condicionais  $\gamma_t | \gamma_{t-1}, \mu^f, \Sigma^f \sim N(\phi^f \gamma_{t-1}, \Sigma_\eta^f)$  para  $t = 2, \dots, T$ , com  $\gamma_t = \lambda_t^f - \mu^f$  e  $W = \phi^f W \phi^f + \Sigma_\eta^f$ , e também utilizando a priori  $p(\phi^f)$  como um produto de prioris transformadas de beta com parâmetros  $a_i$  e  $b_i$  para  $i = 1, \dots, k$  independentes, a distribuição condicional a posteriori para  $\phi^f$  é da forma

$$p(\phi^f | \Upsilon_{\setminus \phi^f}^A) \propto c(\phi^f) N(\phi^f | b, B),$$

com

$$c(\phi^f) = \prod_{i=1}^k [\phi_i^{a_i-1} (1-\phi_i)^{b_i-1}] |W|^{-\frac{1}{2}} \exp\left(-\text{tr}(\gamma_1 \gamma_1' W^{-1})/2\right)$$

$$B = \left( \sum_{t=2}^T \text{diag}(\gamma_{t-1}) \Sigma_\eta^{f^{-1}} \text{diag}(\gamma_{t-1}) \right)^{-1} e \ b = B \left( \sum_{t=2}^T \text{diag}(\gamma_{t-1}) \Sigma_\eta^{f^{-1}} \gamma_t \right).$$

Dessa forma  $\phi^f$  é amostrado pelo algoritmo de **MH** utilizando a distribuição  $N(b, B)$  acima como distribuição proposta. Dado  $\phi^{f \text{ cadeia}}$  - o valor corrente para  $\phi^f$ , temos o valor candidato  $\phi^{f^*}$  amostrado de  $N(b, B)$  truncada em (-1,1) e aceito com probabilidade  $\min\{1, \frac{c(\phi^{f^*})}{c(\phi^{f \text{ cadeia}})}\}$ .

### **Passo (5b) amostra da matriz de inovações $\Sigma_\eta^f | \Upsilon_{\setminus \Sigma_\eta^f}$**

A partir da distribuição conjunta 3.7 condicionada a  $\Upsilon_{\setminus \Sigma_\eta^f}^A$  utilizando  $p(H|\Gamma^f)$  como em (5a) e uma inversa de Wishart -  $W^{-1}(r_0, R_0)$ , como distribuição a priori para  $\Sigma_\eta^f$ , temos que a distribuição a posteriori condicional para  $\Sigma_\eta^f$  é da forma

$$p(\Sigma_\eta^f | \Upsilon_{\setminus \Sigma_\eta^f}) \propto a(\Sigma_\eta^f) W_k^{-1}(r, R)$$

com  $r = r_0 + T - 1$  e

$$a(\Sigma_\eta^f) = |W|^{-\frac{1}{2}} \exp\left(-\frac{1}{2}\text{tr}(\gamma_1 \gamma_1' W^{-1})\right)$$

$$R = \left( r_0 R_0 + \sum_{t=2}^T (\gamma_t - \Phi^f \gamma_{t-1})(\gamma_t - \Phi^f \gamma_{t-1})' \right) / r$$

com  $W = \phi^f W \phi^f + \Sigma_\eta^f$ .  $\Sigma_\eta^f$  é amostrado utilizando o algoritmo de **MH** sendo  $W^{-1}(r, R)$  a distribuição proposta. Dado  $\Sigma_\eta^{f \text{ cadeia}}$  - o valor corrente da cadeia para  $\Sigma_\eta^f$ , o valor candidato  $\Sigma_\eta^{f^*}$  é gerado da proposta Wishart Inversa  $W^{-1}(r, R)$  e aceito com probabilidade  $\min\{1, \frac{a(\Sigma_\eta^{f^*})}{a(\Sigma_\eta^{f \text{ cadeia}})}\}$  com  $W^* = \phi W^* \phi + \Sigma_\eta^{f^*}$ .

**Passo (5c) amostra da média da log-volatilidade  $\mu^f | \Upsilon_{\setminus \mu^f}^A$**

O modelo  $p(\mu^f | \Upsilon_{\setminus \mu^f}^A)$  é dado pela distribuição conjunta 3.7, com  $p(H | \Gamma^f)$  como produto das distribuições marginal para  $\lambda_1^f$  e condicionais para  $\lambda_t^f | \lambda_{t-1}^f, t = 2, \dots, T$ , e uma distribuição a priori conjugada  $p(\mu^f) \sim N(m_0, M_0)$ .  $\mu^f$  é amostrado diretamente da sua distribuição a posteriori condicional  $p(\mu^f | \Upsilon_{\setminus \mu^f}^A) \sim N(m, M)$  com

$$\begin{aligned} M &= \left( W^{-1} + (T-1)(I - \Phi^f)\Sigma_\eta^{-1}(I - \Phi^f) + M_0^{-1} \right)^{-1} e \\ m &= M \left( W^{-1}\lambda_1 + (I - \Phi^f)\Sigma_\eta^{f-1} \sum_{t=2}^T (\lambda_t - \Phi^f \lambda_{t-1}) + M_0^{-1}m_0 \right). \end{aligned}$$

**Passo (5d-e) amostra das seqüências de log-variâncias  $\lambda^f | \Upsilon_{\setminus \lambda^f}^A$  e da mistura de normais  $w^f | \Upsilon_{\setminus w^f}^A$**

As observações transformadas  $\log(f_t^2)$  de (2.6) são usadas para construir um modelo de espaços de estados linear formando a equação de observação juntamente com o modelo auto-regressivo para as log-variâncias como equação de estados

$$\log(f_t^2) = \lambda_t^f + \log(\epsilon_t^2) \quad (3.8)$$

$$\lambda_{t+1}^f = (I - \Phi^f) \mu^f + \Phi^f \lambda_t^f + \eta_t \quad (3.9)$$

com  $\epsilon_t \sim N(0, I)$  e  $\eta_t \sim N(0, \Sigma_\eta^f)$ . Trabalhando com transformações logarítmicas surge o problema de lidar com observações que são zero - ou muito próximas de zero, o que é bastante problemático para o uso de algoritmos de filtragem e suavização nos quais as estimativas dos estados são médias harmônicas de valores de estados vizinhos. Uma solução para o problema é a transformação sugerida por Fuller (1996)

$$\log(y_t^2) = \log(y_t^2 + cs_y^2) - \frac{cs_y^2}{y_t^2 + cs_y^2} \quad (3.10)$$

com  $c = 0.02$  e  $s_y^2$  a variância amostral dos  $y_t'$ s, cujo efeito é reduzir a curtose das observações transformadas excluindo a cauda longa de valores negativos

resultado do logaritmo dos inliers. O problema da não normalidade dos erros da equação de observação  $\log(\epsilon_t^2)$  é resolvido em Kim, Shephard e Chib (1998) com o uso de uma mistura de distribuições normais. Utilizando a mistura de 7 componentes - veja tabela (3.3) a figura 3.2, o modelo de espaços de estados se torna condicionalmente gaussiano viabilizando o emprego de algoritmos para modelos gaussianos como o Filtro de Kalman, o suavizador-simulador de deJong e Shephard e o **FFBS** de West e Harrisson.

| $\omega$ | $q_i = P(\omega = i)$ | $m_i$     | $v_i$   |
|----------|-----------------------|-----------|---------|
| 1        | 0,00730               | -10,12999 | 5,79596 |
| 2        | 0,10556               | -3,97281  | 2,61369 |
| 3        | 0,00002               | -8,56686  | 5,17950 |
| 4        | 0,04395               | 2,77786   | 0,16735 |
| 5        | 0,34001               | 0,61942   | 0,64009 |
| 6        | 0,24566               | 1,79518   | 0,34023 |
| 7        | 0,25750               | -1,08819  | 1,26261 |

Tabela 3.3: Componentes da mistura de normais para  $\log\chi_{(1)}^2$

As amostras das variáveis indicadoras da mistura de normais  $w_t^f$  conforme mencionado seguem uma distribuição multinomial condicional

$$P(w_t^f = i | f_t, \lambda_t^f) \propto q_i f_N(f_t | \lambda_t^f + m_i - 1, 2704, v_i^2) \quad (3.11)$$

com  $q_i$ ,  $m_i$ ,  $v_i^2$  as quantidades dadas pela aproximação por misturas. Em seguida as seqüências de log-variâncias são amostradas segundo o algoritmo **SSMO**.

### **Passo (6a) amostra de $\phi^\varepsilon | \Upsilon_{\setminus \phi^\varepsilon}^A$**

Os  $q$  elementos de  $\phi^\varepsilon$ ,  $\phi_i^\varepsilon, i = 1, \dots, q$  são amostrados de forma independente. Fazendo  $\delta_{t,i} = \lambda_{t,i}^\varepsilon - \mu_i^\varepsilon, t = 1, \dots, T$  a distribuição condicional a posteriori de  $\phi_i^\varepsilon | \Upsilon_{\setminus \phi_i^\varepsilon}^A$  utiliza de (3.7) com  $p(\Psi | \Gamma^\varepsilon)$  como produto da distribuição marginal para  $\delta_{i,1} \sim N(0, \frac{\sigma_{\eta,i}^\varepsilon}{(1-\phi_i^\varepsilon)^2})$  e das distribuições condicionais de

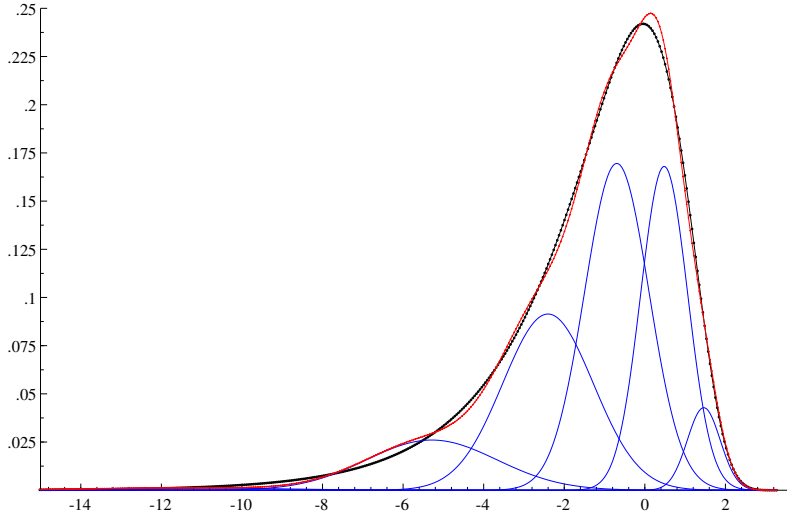


Figura 3.2: Distribuição  $\log\chi^2_{(1)}$  e a aproximação por mistura de normais de Kim, Shephard e Chib (1998).

$\delta_{i,t}|\delta_{i,t-1} \sim N(\phi_i^\varepsilon \delta_{i,t-1}, \sigma_{\eta,i}^{\varepsilon^2})$ ,  $t = 2, \dots, T$  e a priori  $p(\phi_i^\varepsilon)$  como uma distribuição transformada de uma beta( $\phi_i^\varepsilon|a_i, b_i$ ) - veja seção (2.4). A distribuição condicional a posteriori de  $\phi_i^\varepsilon$  é da forma

$$p(\phi_i^\varepsilon | \Upsilon_{\setminus \phi_i^\varepsilon}^A) \propto N(b, B) c(\phi_i^\varepsilon)$$

com

$$c(\phi_i^\varepsilon) = (1 - \phi_i^\varepsilon)^{\frac{1}{2}} \phi_i^{\varepsilon a_i} (1 - \phi_i^\varepsilon)^{1-b_i}$$

$$B = \left( \frac{\sum_{t=3}^T \delta_{i,t-1}^2}{\sigma_{\eta,i}^{\varepsilon^2}} \right)^{-1} \quad e \quad b = B \left( \frac{\sum_{t=2}^T \delta_{i,t} \delta_{i,t-1}}{\sigma_{\eta,i}^{\varepsilon^2}} \right).$$

$\phi^\varepsilon$  é amostrado utilizando o algoritmo de **MH** com distribuição proposta  $N(b, B)$  acima, dado  $\phi^{\varepsilon^{cadeia}}$  o valor corrente,  $\phi^{\varepsilon^*}$  é amostrado da distribuição  $N(b, B)$  truncada em (-1,1) e aceito com probabilidade igual a  $\min\{1, \frac{c(\phi^{\varepsilon^*})}{c(\phi^{\varepsilon^{cadeia}})}\}$ .

**Passo (6b) amostra de  $\Sigma_\eta^\varepsilon | \Upsilon_{\setminus \Sigma_\eta^\varepsilon}^A$**

A partir da distribuição conjunta 3.7 utilizando  $p(\Psi | \Gamma^\varepsilon)$  como em (6a) e da priori conjugada, uma distribuição inversa de Gamma  $IG(\sigma_{\eta,i}^\varepsilon | r_{0,i}, \alpha_{0,i})$  - ver seção (2.4), temos que a distribuição a posteriori para  $\sigma_{\eta,i}^{\varepsilon^2}$  é também da forma de uma inversa de Gamma -  $p(\sigma_{\eta,i}^{\varepsilon^2} | \Upsilon_{\setminus \sigma_\eta^\varepsilon}^A) \propto IG(\sigma_{\eta,i}^{\varepsilon^2} | r_i, \alpha_i)$ , com  $r_i = r_{0,i} + \frac{T}{2}$  e

$$\alpha_i = \alpha_{0,i} + \left( \frac{(1 - \phi_i^{\varepsilon^2})\delta_{1,i}^2}{2} + \sum_{t=2}^T \frac{(\delta_{t,i} - \phi_i^\varepsilon \delta_{t-1,i})^2}{2} \right)$$

da qual  $\sigma_{\eta,i}^{\varepsilon^2}$  são amostrados direta e independentemente  $i=1,\dots,q$ .

**Passo (6c) amostra de  $\mu_i^\varepsilon | \Upsilon_{\setminus \mu^\varepsilon}^A$**

A distribuição  $p(\mu_i^\varepsilon | \Upsilon_{\setminus \mu^\varepsilon}^A)$  é dada pela distribuição conjunta (3.7) utilizando  $p(\Psi | \Gamma^\varepsilon)$  como produto da distribuição marginal  $\lambda_{i,1} \sim N(\mu, \frac{\sigma_{\eta,i}^\varepsilon}{(1 - \phi_i^{\varepsilon^2})})$  e das distribuições condicionais de  $\lambda_{i,t} | \lambda_{i,t-1} \sim N((I - \phi)\mu + \phi_i^\varepsilon(\lambda_{i,t-1} - \mu), \sigma_{\eta,i}^{\varepsilon^2})$  para  $t = 2, \dots, T$  e uma distribuição a priori conjugada  $p(\mu_i^\varepsilon) \sim N(m_0, M_0)$ . Denotando  $p(\mu_i^\varepsilon | \Upsilon_{\setminus \mu^\varepsilon}^A)$  por  $N(m, M)$  temos que  $M$  e  $m$  valem

$$\begin{aligned} M &= \left( \frac{(1 - \phi_i^{\varepsilon^2}) + (T - 1)(1 - \phi_i^\varepsilon)^2}{\sigma_{\eta,i}^{\varepsilon^2}} + M_0^{-1} \right)^{-1} \\ m &= M \left( \frac{\lambda_{1,i}^\varepsilon(1 - \phi_i^{\varepsilon^2})}{\sigma_{\eta,i}^{\varepsilon^2}} + (1 - \phi_i^\varepsilon) \sum_{t=2}^T \frac{(\lambda_{t,i}^\varepsilon - \phi_i^\varepsilon \lambda_{t-1,i}^\varepsilon)}{\sigma_{\eta,i}^{\varepsilon^2}} + M_0^{-1} m_0 \right). \end{aligned}$$

**Passo (6d-e) amostra das seqüências de log-variâncias  $\lambda_t^\varepsilon | \Upsilon_{\setminus \lambda_t^\varepsilon}^A$  e das variáveis indicadoras da mistura  $w_t^\varepsilon | \Upsilon_{\setminus w_t^\varepsilon}^A$**

Os efeitos específicos para o **MF-VE**  $\varepsilon_t$  são tomados como a diferença  $Y_t - \theta - X f_t$  seguindo para cada  $(w_{ti}^\varepsilon, \lambda_{ti}^\varepsilon)$ ,  $i = 1, \dots, q$  e  $t = 1, \dots, T$  um procedimento de simulação univariado análogo aos passos (5d-e) do processo dos fatores comuns.

### 3.4 Análise MCMC utilizando blocos

No modelo de fatores considerado em Chib, Nardari e Shephard (2002) as log-variâncias do processo de **VE** dos fatores são incorrelacionadas e o esquema de simulação **MCMC** utilizado reúne em blocos de simulação variáveis latentes e parâmetros correlacionados.

A simulação em blocos é estruturada de forma que a matriz de cargas dos fatores  $X$  e os fatores latentes  $f$  formem um único bloco de simulação  $[X, f]$  e também a terna de parâmetros de cada processo de **VE-AR(1)** juntamente com sua seqüência de log-variâncias formem um único bloco cada, ou seja a partir dos  $3(k + q)$  parâmetros e  $k + q$  seqüências de log-variâncias  $[\phi_i^f, \sigma_{\eta i}^f, \mu_i^f, \lambda_i^f]$  para  $i = 1, \dots, k$  e  $[\phi_i^\varepsilon, \sigma_{\eta i}^\varepsilon, \mu_i^\varepsilon, \lambda_i^\varepsilon]$  para  $i = 1, \dots, q$  são formados  $k + q$  blocos de simulação.

Nessa seção são utilizados os métodos de Chib, Nardari e Shephard (2002) para realizar a simulação em blocos dos parâmetros do **MF-VE**. Algumas modificações são necessárias para considerar as log-variâncias dos fatores como correlacionadas para que os esquemas de simulação desta seção e da seção 3.3 abordem o mesmo modelo. Em relação ao algoritmo de Chib, Nardari e Shephard (2002) a simulação dos  $k$  blocos de parâmetros dos  $k$  processos de **VE-AR(1)** das log-variâncias dos fatores é substituída pela simulação de um único bloco de parâmetros do processo de **VE-VAR(1)** das log-variâncias dos fatores, ou seja, pela simulação das  $k$  seqüências de log-variâncias dos fatores  $\lambda_i^f, i = 1, \dots, k$  e dos parâmetros  $[\phi^f, \Sigma_\eta^f, \mu^f]$  simultaneamente.

O algoritmo é resumido como apresentado a seguir, colocando-se entre parênteses os passos equivalentes no algoritmo 1. Para o algoritmo 2 os passos (1) e (2) de inicialização e amostragem de  $\theta$  e também os passos (4) e (6) de amostragem das variáveis indicadoras  $w$  da mistura de normais são idênticos aos passos que são equivalentes no algoritmo 1. Os passos de simulação dos blocos da matriz de cargas  $X$  e fatores latentes  $f$  (3), das quantidades do processo de **VE-VAR(1)** dos fatores (5) e das quantidades de cada processo de **VE-AR(1)** dos efeitos específicos (7) seguem essencialmente o método desenvolvido em Chib e Greenberg (1994) de simulação via algoritmo de **MH** utilizando como distribuição proposta multivariada  $t$  obtida por otimização.

## Algoritmo 2. MCMC considerando blocos

1. (1) Inicializa  $f, \varepsilon, \lambda^f, \lambda^\varepsilon, w$  e  $\Upsilon$
2. (2) amostra  $\theta$
3. (3, 4) amostra  $[X, f]$  por **MH**
  - (a)amostra  $X$
  - (b)amostra  $f_t, t=1, \dots, T.$
4. (5d) amostra  $w_t^f$  de multinomial condicional
5. (5a, 5b, 5c, 5e) amostra  $[\phi^f, \Sigma_\eta^f, \mu^f, \lambda^f]$ 
  - (a) amostra  $[\phi^f, \Sigma_\eta^f, \mu^f]$  por **MH**
  - (b) amostra  $[\lambda^f | \phi^f, \Sigma_\eta^f, \mu^f]$  por **SSMO**
6. (6d) amostra  $w_t^\varepsilon$  de multinomial condicional
7. (6a, 6b, 6c, 6d) amostra  $[\phi_i^\varepsilon, \sigma_{\eta,i}^\varepsilon, \mu_i^\varepsilon, \lambda_i^\varepsilon] i = 1, \dots, q$ 
  - (a) amostra  $[\phi_i^\varepsilon, \sigma_{\eta,i}^\varepsilon, \mu_i^\varepsilon]$  por **MH**
  - (b) amostra  $[\lambda_i^\varepsilon | \phi_i^\varepsilon, \sigma_{\eta,i}^\varepsilon, \mu_i^\varepsilon]$  por **SSMO**
8. vá para 2.

## Passos do algoritmo

**Passo (3) amostra de  $(X, f) | \Upsilon_{\setminus(X,f)}^A$**

Esse passo é equivalente aos passos (3) e (4) no algoritmo 1. A matriz de cargas  $X$  é amostrada de sua distribuição a posteriori marginalizada sobre  $f$  e em seguida  $f$  é amostrada como condicionada em  $X$ , ambas condicionadas nas demais variáveis, ou seja  $\Upsilon_{\setminus(X,f)}^A = (\theta, \lambda_t^f, \lambda_t^\varepsilon, \Gamma^f, \Gamma^\varepsilon)$ . O fato de  $X$  e  $f_t$  aparecerem no modelo na forma de produto sugere como razoável a abordagem de simular  $X$  condicionada a  $f$  e em seguida  $f$  condicionada em  $X$  mas esse procedimento é menos eficiente como será visto no capítulo 4.

**Passo (3a)**  $X$  é amostrada da densidade

$$\begin{aligned}
p(X|\Upsilon_{\setminus(X,f_t)}^A) &\propto \prod_{t=1}^T \int p(X, f_t | y_t, \Upsilon_{\setminus(X,f_t)}) df_t \\
&\propto p(X) \prod_{t=1}^T \int p(y_t | \Upsilon) p(f_t | \lambda_t^f) df_t \\
&\propto p(X) \prod_{t=1}^T p(y_t | \theta, X, \lambda^f, \lambda^\varepsilon) \\
&\propto p(X) \prod_{t=1}^T N(y_t | \theta, X H_t X' + \Psi_t),
\end{aligned}$$

com  $p(X)$  priori normal como definida em 2.7. A simulação é implementada utilizando o algoritmo de **MH** utilizando uma distribuição proposta como uma multivariada t,  $f_T(X|m, M, \nu)$  com  $m$  aproximando a moda de

$$l = \log\left(\prod_{t=1}^T N(y_t | \theta, X H_t X' + \Psi_t)\right), \quad (3.12)$$

$M$  o negativo da segunda derivada de  $l$ , e  $\nu$  tomado arbitrariamente igual a 15. Para encontrar  $(m, M)$  temos

$$\begin{aligned}
l &= \sum_{t=1}^T \log N(y_t | \theta, \Sigma_t) \\
&= cte - \frac{1}{2} \sum_{t=1}^T \log |\Sigma_t| - \frac{1}{2} \sum_{t=1}^T (y_t - \theta)' \Sigma_t^{-1} (y_t - \theta)
\end{aligned}$$

e fazendo  $x_{ij}$  o  $ij$ -ésimo elemento irrestrito de  $X$  temos

$$\frac{\partial l}{\partial x_{ij}} = \frac{1}{2} \sum_{t=1}^T \{(y_t - \theta)' \Sigma_t^{-1} \frac{\partial \Sigma_t}{\partial x_{ij}} \Sigma_t^{-1} (y_t - \theta) - \text{tr}(\Sigma_t^{-1} \frac{\partial \Sigma_t'}{\partial x_{ij}})\} \quad (3.13)$$

$$= \sum_{t=1}^T \{s_t' \frac{\partial X}{\partial x_{ij}} H_t X' s_t - \text{tr}(E_t \frac{\partial X'}{\partial x_{ij}})\} \quad (3.14)$$

com  $s_t = \Sigma_t^{-1}(y_t - \theta)$  e  $E_t = \Sigma_t^{-1}XH_t$  e utilizando a forma de inversa para  $\Sigma_t$  como  $\Sigma_t^{-1} = \Psi_t^{-1} - \Psi_t^{-1}X(H_t^{-1} + X'\Psi_t^{-1}X)^{-1}X'\Psi_t^{-1}$ . A partir das derivadas (3.11) os parâmetros  $(m, M)$  podem ser encontrados utilizando o algoritmo

de maximização de Newton-Raphson. O algoritmo de **MH** é implementado amostrando  $X^*$  de  $f_T(\cdot|m, M, \nu)$  que, condicionado ao valor corrente da cadeia  $X^c$  é aceito com probabilidade de movimento  $\alpha(X^*, X^c|Y, \theta, \lambda)$

$$\min\left\{1, \frac{p(X^*)}{p(X^c)} \frac{\prod_{t=1}^T N(y_t|\theta, X^* H_t X^{*'} + \Psi_t)}{\prod_{t=1}^T N(y_t|\theta, X^c H_t X^{c'} + \Psi_t)} \frac{f_T(X^c|m, M, \nu)}{f_T(X^*|m, M, \nu)}\right\}. \quad (3.15)$$

*Passo (3b)* Em seguida a amostragem de  $f$  é direta e independente para  $t = 1, \dots, T$  considerando como distribuição

$$\begin{aligned} p(f_t|\Upsilon_{\setminus f_t}^A) &\propto N(f_t|0, H_t) N(y_t|\theta + X f_t, \Psi_t) \\ &\propto f_t | \Upsilon_{\setminus f_t}^A \sim N(m^*, M^*) \end{aligned}$$

para

$$M^* = (H_t^{-1} + X' \Psi_t^{-1} X)^{-1} \text{ e } m^* = M^* X \Psi_t^{-1} (y_t - \theta).$$

Para os passos seguintes condicionado em  $(Y, \theta, X, f)$  o modelo pode ser escrito como o produto de  $(1+q)$  modelos de espaços de estados

$$f_t^* = \lambda_t^f + \nu_t \quad (3.16)$$

$$\lambda_t = \mu^f(I - \phi^f) + \phi^f \lambda_t^f + \eta_t \quad (3.17)$$

com  $\eta_t \sim N(0, \Sigma_\eta^f)$  para o processo de fatores comuns e

$$\varepsilon_{t,i}^* = \lambda_{t,i}^\varepsilon + \nu_{i,t} \quad (3.18)$$

$$\lambda_{t,i} = \mu_i^\varepsilon (1 - \phi^\varepsilon)_i + \phi_i^\varepsilon \lambda_{t,i}^\varepsilon + \eta_{t,i} \quad (3.19)$$

com  $\eta_{i,t} \sim N(0, \sigma_{\eta,i}^\varepsilon)$  para  $i = 1, \dots, q$  ou seja para cada processo de VE dos efeitos específicos.

**Passo (5) amostra de  $(\Gamma^f, \lambda^f)$  |  $\Upsilon_{\setminus (\phi^f, \Sigma_\eta^f, \mu^f, \lambda^f)}^A$**

Equivalente aos passos (5a), (5b), (5c) e (5e) do algoritmo 1 a simulação dos parâmetros e seqüências de log-variâncias dos fatores comuns é realizada

simultaneamente a partir do modelo 3.14 amostrando  $\Gamma^f = (\phi^f, \Sigma_\eta^f, \mu^f)$  pelo algoritmo **MH** da densidade

$$p(\Gamma^f | f^*, w^f) \propto p(\Gamma^f) p(f^* | w^f, \Gamma^f) \quad (3.20)$$

com

$$p(f^* | w^f, \Gamma^f) \propto p(f_1^* | w^f, \Gamma^f) \prod_{t=2}^T p(f_t^* | \mathcal{F}_{t-1}^*, w^f, \Gamma^f) \quad (3.21)$$

para  $p(f_t^* | \mathcal{F}_{t-1}^*, w^f, \Gamma^f)$  uma densidade normal  $k$ -variada com parâmetros de média e variância dados pelas inovações e matrizes de variâncias e co-variâncias das inovações entregues pelas recursões do Filtro de Kalman (Kim, Shephard e Chibb 1998, de Jong 1991). Em seguida as log-variâncias  $\lambda^f$  são amostradas pelo algoritmo **SSMO**.

**Passo (7) amostra de**  $(\phi_i^\varepsilon, \sigma_{\eta,i}^\varepsilon, \mu_i^\varepsilon, \lambda_i^\varepsilon) \mid \Upsilon_{\setminus(\phi_i^\varepsilon, \sigma_{\eta,i}^\varepsilon, \mu_i^\varepsilon, \lambda_i^\varepsilon)}^A \quad i = 1, \dots, q.$

Equivalente aos passos (6a), (6b), (6c) e (6e) do algoritmo 1 para cada processo de **VE** dos efeitos específicos são realizadas amostras de  $[\phi_i^\varepsilon, \sigma_{\eta,i}^\varepsilon, \mu_i^\varepsilon, \lambda_i^\varepsilon]$  simultaneamente e de forma análoga à realizada para o processo dos fatores, isto é, pelo algoritmo de **MH** é amostrada a terna de parâmetros  $\Gamma^\varepsilon = (\phi_i^\varepsilon, \sigma_{\eta,i}^\varepsilon, \mu_i^\varepsilon)$  da distribuição

$$p(\Gamma_i^\varepsilon | \varepsilon_i^*, w_i^\varepsilon) \propto p(\Gamma_i^\varepsilon) p(\varepsilon_i^* | w_i^\varepsilon, \Gamma_i^\varepsilon) \quad (3.22)$$

com

$$p(\varepsilon_i^* | s_i, \Gamma_i^\varepsilon) \propto p(\varepsilon_{i,1}^* | s_i, \Gamma_i^\varepsilon) \prod_{t=2}^T p(\varepsilon_{i,t}^* | \mathcal{F}_{i,t-1}^*, s_i, \Gamma_i^\varepsilon) \quad (3.23)$$

e  $p(\varepsilon_{i,t}^* | \mathcal{F}_{i,t-1}^*, s_i, \Gamma_i^\varepsilon)$  é uma distribuição normal univariada com parâmetros de média e variância dados pelas recursões do Filtro de Kalman. Em seguida a seqüência de log-volatilidades  $\lambda_i^\varepsilon$  é amostrada utilizando algoritmo **SSMO**.

# Capítulo 4

## Análise de Dados Simulados

Para avaliar a habilidade dos métodos discutidos no capítulo anterior em estimar corretamente os parâmetros e variáveis latentes do MF-VE, neste capítulo esses métodos são aplicados a dois conjuntos de séries simuladas.

Para um destes conjuntos de dados a análise MCMC é detalhada exibindo as cadeias geradas, as distribuições marginais a posteriori dos parâmetros, a dependência serial das cadeias e as estimativas das variáveis latentes. Para ambos conjuntos de séries simuladas os valores reais dos parâmetros e variáveis latentes utilizados para gerar as séries são comparados com as estimativas destas quantidades dadas pelas análises MCMC. Para esta comparação é utilizada a medida do erro quadrático das estimativas para o valor real.

A seção 4.1 mostra como os dados foram simulados. A seções 4.2 e 4.3 contém as análises MCMC para os algoritmos sem blocos e com blocos respectivamente aplicadas ao primeiro conjunto de séries simuladas. A seção 4.4 compara estimativas pontuais dadas por esses métodos aplicados a ambos conjuntos de séries simuladas.

### 4.1 Geração das séries de retornos

Foram geradas  $q = 10$  séries de retornos de tamanho  $T = 800$  observações cada e relacionadas a  $k = 2$  fatores. A simulação das séries de retornos e de

variáveis latentes utiliza parâmetros  $\Upsilon$  que também foram simulados.

Visando reproduzir as características do MF-VE ajustado a dados reais na literatura - Nardari e Scruggs (2003), Aguilar e West (2000) e Pitt e Shephard (1999), os parâmetros do modelo foram simulados buscando: médias dos retornos  $\theta_i$  não maiores que  $10^{-3}$ , isto é  $\theta_i \sim U(-10^{-3}, 10^{-3})$ ; variâncias marginais das variáveis latentes  $f_t$  e  $\varepsilon_t$  em torno de  $10^{-4} \approx \exp(-9)$  fazendo  $\mu_j^f$  e  $\mu_i^\varepsilon \sim N(-9, 1)$ ; alta persistência na log-volatilidade com coeficientes autoregressivos maiores que 0,88 fazendo  $\phi_j^f$  e  $\phi_i^\varepsilon \sim U(0, 88, 0, 995)$  e variâncias dos processos de VE em torno de 0,05 fazendo  $\sigma_\eta^\varepsilon \sim U(0, 005, 0, 10)$  e  $\Sigma_\eta^f \sim W^{-1}(10, 0, 05I)$  para  $i = 1, \dots, q$  e  $j = 1, \dots, k$ . Para a simulação dos elementos de  $X$  consideramos que, para o ajuste do modelo, a escolha da ordem das variáveis é tal que as primeiras  $k$  não sejam entre as variáveis as que forem pouco correlacionadas com os fatores comuns. Dessa forma dados os valores das restrições  $X_{ii} = 1$  para  $i = 1, \dots, k$  isto significa que os elementos  $X_{ij}$  da matriz não assumem valores muito distantes de 1 pois as demais variáveis têm correlação com os fatores não muito maiores que as primeiras  $k$  variáveis. Assim foram simulados  $x_{ij} \sim N(0, 9; 1)$  levando à matrizes  $X$  geralmente com valores próximos aos das referências.

A partir dos parâmetros simulados são gerados na ordem os processos de log-variâncias, os fatores latentes e a série. Os processos de log-variância  $\lambda_t^f$  e  $\lambda_t^\varepsilon$  seguem os modelos (2.9) e (2.10) e são gerados para  $t = -99, \dots, 800$ , utilizando valores iniciais  $\lambda_{-99}^f = \mu^f$  e  $\lambda_{-99}^\varepsilon = \mu^\varepsilon$  e descartando as primeiras 99 observações. Em seguida os fatores comuns e efeitos específicos  $f_t$  e  $\varepsilon_t$  são gerados utilizando  $H_t = \exp(\lambda_t^f)$  e  $\Psi_t = \exp(\lambda_t^\varepsilon)$  a partir dos modelos (2.3) e (2.4) para  $t = 1, \dots, 800$ . Finalmente, com  $\theta$ ,  $X$ ,  $f_t$  e  $\varepsilon_t$  gerados as séries de retornos  $y_t$  são construídas para  $t = 1, \dots, 800$  a partir do modelo (3.1).

As tabelas 4.1, 4.2 e 4.3 mostram os valores simulados para os parâmetros em  $\Upsilon$ . A partir dos parâmetros são construídas na ordem as sequências de log-variâncias dos fatores comuns e específicos e finalmente as séries simuladas de retornos - veja figura ??.

| série<br>simulada | matriz de<br>Cargas $X$ |       | $\theta$<br>( $\times 10^{-4}$ ) |
|-------------------|-------------------------|-------|----------------------------------|
| $y_1$             | 1                       | 0     | 3,08                             |
| $y_2$             | 1,222                   | 1     | 6,93                             |
| $y_3$             | 0,032                   | 1,447 | 0,02                             |
| $y_4$             | 1,444                   | 0,958 | -1,73                            |
| $y_5$             | -0,418                  | 1,121 | -2,51                            |
| $y_6$             | 2,686                   | 0,597 | 5,24                             |
| $y_7$             | 2,618                   | 1,357 | -9,24                            |
| $y_8$             | -0,610                  | 0,395 | 8,32                             |
| $y_9$             | 1,093                   | 0,947 | -0,81                            |
| $y_{10}$          | 0,706                   | 0,056 | -6,05                            |

Tabela 4.1: Parâmetros X e  $\theta$  utilizados na geração da série multivariada  $y_t$ .

| fator<br>comum | $\mu^f$ | $\phi^f$ | $\Sigma_\eta^f$ |
|----------------|---------|----------|-----------------|
| $f_1$          | -9,56   | 0,898    | 0,077           |
| $f_2$          | -8,67   | 0,920    | -0,008 0,033    |

Tabela 4.2: Parâmetros utilizados na geração do processo de volatilidade dos fatores comuns  $f_t$ .

## 4.2 Simulação MCMC sem blocos

Essa seção descreve o estudo de simulação aplicado às séries pela análise MCMC sem blocos. Nessa aplicação foi gerada uma cadeia de 50000 simulações da distribuição a posteriori conjunta descartando as primeiras 10000 consideradas como fase de convergência da cadeia.

Tomando para o ajuste do modelo o número de fatores  $k = 2$ , isto é, o número real de fatores e considerando as dimensões das séries geradas isto significa para o MF-VE 64 parâmetros em  $\Upsilon$  e 24 sequências de tamanho 800 entre fatores comuns, efeitos específicos e log-variâncias.

Executando o amostrador de Gibbs como apresentado no algoritmo 1 seção 3.2 foram guardados os valores de toda a cadeia para os parâmetros e as médias da cadeia para as variáveis latentes. Consideramos que a con-

| especificidade     | $\mu^\varepsilon$ | $\phi^\varepsilon$ | $\sigma_{\eta,i}^\varepsilon$ |
|--------------------|-------------------|--------------------|-------------------------------|
| $\varepsilon_1$    | -7,92             | 0,977              | 0,084                         |
| $\varepsilon_2$    | -9,67             | 0,915              | 0,033                         |
| $\varepsilon_3$    | -9,07             | 0,981              | 0,088                         |
| $\varepsilon_4$    | -10,01            | 0,888              | 0,014                         |
| $\varepsilon_5$    | -7,70             | 0,940              | 0,081                         |
| $\varepsilon_6$    | -9,21             | 0,889              | 0,049                         |
| $\varepsilon_7$    | -8,31             | 0,964              | 0,064                         |
| $\varepsilon_8$    | -9,02             | 0,895              | 0,089                         |
| $\varepsilon_9$    | -9,61             | 0,900              | 0,082                         |
| $\varepsilon_{10}$ | -9,03             | 0,891              | 0,080                         |

Tabela 4.3: Parâmetros utilizados na geração dos processos de volatilidade dos erros específicos  $\varepsilon_t$ .

vergência da cadeia para a distribuição conjunta a posteriori foi atingida antes de 3000 simulações dada a estabilidade, a partir destes valores, da locação das distribuições marginais a posteriori dos parâmetros  $\mu$  e  $X$  principalmente. Contudo utilizamos o período de convergência de 10000 simulações como na literatura. Para os passos de simulação que utilizam o algoritmo **MH** as taxas médias de aceitação foram 80% para o algoritmo de **MH** em (5a) dos coeficientes auto-regressivos  $\phi^f$ ; 85% em (5b) da matriz de variâncias das inovações  $\Sigma_\eta^f$ ; e de 80% a 92% em (6a) para os coeficientes auto-regressivos  $\phi_i^\varepsilon$  para  $i = 1, \dots, q$ .

Nas sub-seções que seguem são analisadas as estimativas da análise MCMC sem blocos para as quantidades do modelo de fatores - equações 2.2, 2.3 e 2.4, para os modelos de VE - equações 2.9 e 2.10 e para a matriz de variâncias e covariâncias  $\Sigma_t$ . No final do capítulo são apresentadas as estimativas pontuais para esta análise em comparação com as estimativas da análise com blocos.

#### 4.2.1 Estimativas para o modelo de fatores

A figura C.1 mostra as cadeias, os histogramas e as funções de auto-correlação para cada elemento univariado de  $\theta$ . Note que, em todos os casos, o valor

real do parâmetro  $\theta_i$  está contido no intervalo de credibilidade de 95% dado pela marginal a posteriori para o parâmetro, exceto no caso de  $\theta_8$ .

A figura C.2 mostra as densidades da cadeia MCMC gerada para os elementos da matriz X. Note que os valores reais dos parâmetros se encontram nos intervalos de credibilidade de 95%. As funções de auto-correlação amostral dadas na figura C.3 mostram uma dependência maior entre as amostras da cadeia para os elementos das posições da primeira coluna nas linhas 2, 4, 6, 7 e 9 da matriz X. Esses elementos são os que estão mais relacionados ao primeiro fator - veja tabela 4.1. A função de auto-correlação para essas quantidades tomam valores próximos às funções dos parâmetros de VE relacionados ao primeiro fator - veja figuras C.7, C.8 e C.9.

As médias para os fatores latentes  $f$  amostrados no passo (4) e seus desvios padrões condicionais  $H_t^{1/2} = \exp(\lambda_t^f/2)$  no passo (5e) do algoritmo 1 são comparados com os valores reais na figura C.4. As séries de retornos estão relacionadas a esses fatores através da matriz X cuja estimativa é apresentada adiante.

A média da cadeia para a diferença entre as séries de retornos e sua parte relacionada aos fatores comuns e  $\theta$ , isto é,  $\varepsilon_t = y_t - Xf_t - \theta$  é a estimativa tomada para os efeitos específicos. Esses valores são comparados com os valores reais juntamente com sua sequência de desvios padrões condicionais  $\Psi_t^{1/2} = \exp(\lambda_t^\varepsilon/2)$  na figura C.5.

As estimativas obtidas para os fatores latentes e efeitos específicos são bastante próximas dos valores reais indicando bom desempenho do método em estimar essas quantidades. A figura C.6 mostra  $f_{2t}$ ,  $\varepsilon_{3t}$  e  $\varepsilon_{4t}$  para  $t = 600, \dots, 700$ .

#### 4.2.2 Estimativa dos modelos de VE.

Para as médias  $\mu^f$  e  $\mu^\varepsilon$  dos processos de VE em geral as marginais a posteriori simuladas dão intervalos de credibilidade de 95% contendo o valor real do parâmetro exceto nos casos de  $\mu_2^f$ ,  $\mu_4^\varepsilon$  e  $\mu_7^\varepsilon$  que se mantêm próximos dos limites destes intervalos - veja figuras C.7 e C.10.

Para os coeficientes auto-regressivos  $\phi^f$  e  $\phi^\varepsilon$  esses intervalos de credibilidade contém o valor real do parâmetro exceto no caso de  $\phi_1^f$  em que há

super-estimação - veja figura C.8 e C.11.

As variâncias das inovações em  $\sigma_\eta^\varepsilon$  e em  $\Sigma_\eta^f$  apresentam auto-correlações maiores entre os parâmetros e sendo que  $\Sigma_{\eta 11}^f$ ,  $\sigma_{\eta 2}^\varepsilon$ ,  $\sigma_{\eta 4}^\varepsilon$ ,  $\sigma_{\eta 6}^\varepsilon$ , e  $\sigma_{\eta 9}^\varepsilon$  apresentam valores reais fora dos limites do intervalo de 95% de credibilidade ou próximos a esses limites. Essas quantidades participam dos processos de VE que tem níveis de log-volatilidade  $\mu$  e persistência na volatilidade  $\phi$  menores - veja tabela 4.3, não sendo tão bem amostrados quanto o parâmetros dos processos de maiores médias de log-volatilidade e persistência  $\lambda_1^\varepsilon$ ,  $\lambda_5^\varepsilon$  e  $\lambda_7^\varepsilon$  por exemplo devida a partição realizada para  $\varepsilon_t = y_t - \theta - X f_t$  e também a média da distribuição de  $p(f_t | \Upsilon_{\setminus f_t}^A)$  no passo (3). As log-variâncias de menor média têm menor participação na composição de  $\Sigma_t = X H_t X' + \Psi_t$ .

#### 4.2.3 As variâncias e covariâncias das séries de retornos

A partir das estimativas para as sequências  $H_t = \exp(\lambda_t^f)$  e  $\Psi_t = \exp(\lambda_t^\varepsilon)$  de variâncias condicionais de  $f_t$  e  $\varepsilon_t$  respectivamente e da matriz de cargas dos fatores X são obtidas estimativas para a matriz de variâncias e covariâncias dos retornos variante no tempo  $\Sigma_t$  por 2.5.

A figura C.13 mostra a parte diagonal da matriz  $\Sigma_t$ , isto é as sequências de variâncias condicionais dos retornos das séries geradas  $y_t$ . Calculando a variância marginal destas séries de retornos temos os valores da tabela 4.4.

| Série                          | $y_1$ | $y_2$ | $y_3$ | $y_4$ | $y_5$ | $y_6$ | $y_7$ | $y_8$ | $y_9$ | $y_{10}$ |
|--------------------------------|-------|-------|-------|-------|-------|-------|-------|-------|-------|----------|
| Variância ( $\times 10^{-4}$ ) | 5,8   | 4,2   | 8,1   | 4,1   | 8,7   | 7,7   | 15,0  | 2,2   | 3,6   | 1,8      |

Tabela 4.4: Variância marginal das séries simuladas.

Note que as séries de maior variância marginal 1, 3, 5, 6 e 7 têm picos de volatilidade melhor estimados pela análise MCMC que as séries que têm menor variância marginal 2, 4, 8, 9 e 10. Também, em geral, os picos de volatilidade que ocorrem em períodos mais instantâneos são menos percebidos dada a suavidade aplicada pelo amostrador das log-variâncias SSMO.

Para analisar a estimação das covariâncias variantes no tempo destas séries é mostrado na figura C.14 as correlações entre os retornos das séries  $y_1$

a  $y_9$  e os retornos da série  $y_{10}$ . Note que, dado que as correlações dependem das variâncias condicionais e que  $y_{10}$  tem muitos picos de volatilidade que não são estimados, está sendo exibido o conjunto de correlações que menos se aproxima das correlações reais.

Um estudo de interesse a partir da análise fatorial é a análise da proporção de variância de uma variável individual devida à causas específicas em relação à sua variância total que é a variância específica somada à variância comum. Na abordagem deste trabalho esses valores variam no tempo e são dados pelas quantidades  $\Psi_{iit}/\Sigma_{iit}$ , isto é  $\Psi_{iit}/(XH_tX' + \Psi_t)_{iit}$  para  $i = 1, \dots, q$ . A figura C.15 mostra essas quantidades em contraste com os valores reais. Note que as estimativas são mais suaves que os valores reais sendo mais apropriadas para conhecer níveis médios destas proporções e analisar tendências do que para investigar com maior precisão um determinado comportamento localizado em vizinhanças pequenas.

### 4.3 Simulação MCMC utilizando blocos

A simulação por blocos descrita na seção 3.4 é aplicada ao conjunto de dados simulado na seção 4.1 utilizando um tamanho de cadeia de  $N=11000$  simulações descartando as primeiras 1000 como período para convergência da cadeia. A partir desta amostra é extraída uma sub-amostra de  $n=1000$  observações tomados da cadeia a cada 10 na ordem da simulação. A convergência da cadeia para a distribuição conjunta a posteriori foi atingida antes de 700 simulações dada a indicação de estabilidade, a partir destes valores, da locação das distribuições marginais a posteriori dos parâmetros  $\theta$ ,  $X$  e  $\mu$  para os quais esta mudança é visível. As taxas de aceitação nos passos em que é utilizado o algoritmo de **MH** foram de 75% para o passo (3) do bloco de  $[X, f]$ ; 20% para o passo (5) do bloco dos parâmetros do processo de **VE** dos fatores; e de 25% a 50% para os blocos dos parâmetros dos processos de **VE** dos efeitos específicos.

Nas sub-seções que seguem são analisadas as estimativas para os parâmetros e variáveis latentes como na simulação sem blocos. Como vantagem da simulação com blocos observamos para todos os parâmetros cadeias com auto-

correlação amostral bastante reduzidas quando comparadas à simulação sem blocos. Essa característica da simulação com blocos requer menor tamanho de cadeia MCMC utilizada para construir a amostra de  $n = 1000$  observações sobre a qual é realizada a inferência para os parâmetros. Em geral a análise com blocos produziu estimativas pontuais bastante próximas das estimativas da análise sem blocos como é descrito com mais detalhes na seção 4.4.

### 4.3.1 Estimativas para o modelo de fatores

A figura C.16 mostra a análise MCMC para o parâmetro  $\theta$ . Note que, como na análise sem blocos a marginal a posteriori de  $\theta_8$  é distinta de zero. Também temos a auto-correlação maior para os mesmos elementos que no caso sem blocos - ver figura C.1.

A figura C.17 mostra os histogramas da cadeia MCMC com blocos para os elementos de X. Note que as distribuições marginais a posteriori para os elementos de X são bastante próximas das obtidas na simulação sem blocos - ver figura C.2.

As médias para os fatores latentes  $f$  e seus desvios padrões condicionais  $H_t^{1/2} = \exp(\lambda_t^f/2)$  são comparados com os valores reais na figura C.19. Os efeitos específicos são comparados com os valores reais juntamente com sua sequência de desvios padrões condicionais  $\Psi_t^{1/2} = \exp(\lambda_t^\varepsilon/2)$  na figura C.20. Para essas variáveis latentes foram encontradas estimativas próximas às dadas pela análise sem blocos. O gráfico C.21 mostra as quantidades  $f_{2t}$ ,  $\varepsilon_{3t}$  e  $\varepsilon_{4t}$  no período de  $t = 600, \dots, 700$ .

### 4.3.2 Estimativa dos modelos de VE.

As figuras C.22 e C.25 mostram a análise MCMC com blocos para as médias  $\mu_i^f$  e  $\mu_i^\varepsilon$  e temos em geral para esse parâmetro resultados semelhantes aos da análise sem blocos, isto é, intervalos de credibilidade geralmente contendo o valor real do parâmetro exceto nos casos de  $\mu_2^f$ ,  $\mu_4^\varepsilon$  e  $\mu_7^\varepsilon$ . Para os coeficientes auto-regressivos - veja figuras C.23 e C.26, e para as variâncias das inovações  $\sigma_\eta^\varepsilon$  e  $\Sigma_\eta^f$  - veja figuras C.24 e C.27, os intervalos de credibilidade contém os valores reais dos parâmetros e exibem auto-correlação bastante baixa em

comparação à análise sem blocos porém esses intervalos são maiores que os dados pela análise sem blocos.

### **4.3.3 As variâncias e covariâncias das séries de retornos**

Como na análise sem blocos analisamos as variâncias condicionais, as correlações condicionais e a proporção de variância específica das séries de retornos simuladas.

Em geral foram obtidos melhores ajustes para as variâncias condicionais das séries de maior variância marginal em comparação com as séries de menor variância marginal como na análise sem blocos - veja figura C.28. Em comparação com a análise sem blocos são obtidas variâncias e correlações condicionais bastante próximas - veja figura C.30 para comparação das estimativas envolvendo as séries 7, 4 e 10.

## 4.4 Comparação das estimativas

Nessa seção são comparadas as estimativas dadas pelas análises com e sem blocos apresentadas nas seções anteriores deste capítulo. Essa mesma análise é aplicada a um novo conjunto de dados simulados. Esse novo conjunto de dados foi simulado da mesma forma que o primeiro conjunto, isto é, a partir de novos parâmetros em  $\Upsilon$  gerados segundo as distribuições descritas na seção 4.1. Dessa forma temos as aplicações dos métodos descritos no capítulo 3 para dois conjuntos de dados tratados como simulação A e simulação B.

É utilizado nesta seção o erro quadrático médio (EQM) para avaliar a distância entre os valores reais e as estimativas obtidas dos parâmetros do MF-VE e também das variáveis latentes. Para as variáveis latentes, isto é, os fatores comuns, efeitos específicos e log-variâncias foram utilizadas como estimativas as médias das cadeias MCMC a partir da convergência. As médias para essas variáveis latentes são registradas a cada grupo de iterações não sendo necessário armazenar toda a cadeia para essas séries. Para essas estimativas foram obtidos EQM bastante próximos para os dois métodos não havendo para todos os casos uma performance melhor de algum dos métodos - veja tabelas 4.5 e 4.6.

Como estimativa pontual para cada parâmetro univariado do MF-VE é utilizada neste trabalho a mediana da amostra extraída da cadeia MCMC descrita no início das seções 4.2 e 4.3. As estimativas pontuais pela mediana da cadeia mostraram maior proximidade dos valores reais quando comparadas às estimativas pela média da cadeia para as aplicações realizadas neste trabalho.

A tabela 4.7 mostra o EQM para os parâmetros estimados pelos métodos em relação aos valores reais sem apresentar algum dos métodos como melhor para estimar todos os parâmetros. Temos que  $\theta$  foi melhor estimado por duas vezes pela simulação com blocos e  $\phi^f$ ,  $\Sigma_\eta^f$ ,  $\phi^\varepsilon$  e  $\sigma_\eta^\varepsilon$  foram melhor estimados pelo método sem blocos.

Os valores das estimativas para os parâmetros, isto é as medianas da amostras MCMC com e sem blocos são exibidos nas tabelas 4.8 a 4.12 juntamente com o valores reais dos parâmetros. As figuras 4.1 a 4.5 mostram os valores destas tabelas juntamente com uma reta  $f(x) = x$ . Em geral, para

| Variável<br>Latente | Simulação A       |                   | Simulação B       |                   |
|---------------------|-------------------|-------------------|-------------------|-------------------|
|                     | EQM<br>sem Blocos | EQM<br>com Blocos | EQM<br>sem Blocos | EQM<br>com Blocos |
| $f_1$               | <b>0,92</b>       | 0,92              | <b>0,69</b>       | 0,70              |
| $f_2$               | <b>2,65</b>       | 2,69              | 2,38              | <b>2,23</b>       |
| $\varepsilon_1$     | <b>0,92</b>       | 0,92              | <b>0,70</b>       | 0,70              |
| $\varepsilon_2$     | 1,35              | <b>1,35</b>       | 1,81              | <b>1,71</b>       |
| $\varepsilon_3$     | <b>5,19</b>       | 5,21              | <b>0,70</b>       | 0,71              |
| $\varepsilon_4$     | <b>1,32</b>       | 1,32              | <b>1,71</b>       | 1,72              |
| $\varepsilon_5$     | <b>4,40</b>       | 4,41              | <b>0,99</b>       | 1,01              |
| $\varepsilon_6$     | <b>4,12</b>       | 4,13              | 0,28              | <b>0,28</b>       |
| $\varepsilon_7$     | <b>3,49</b>       | 3,50              | 7,26              | <b>7,14</b>       |
| $\varepsilon_8$     | <b>1,39</b>       | 1,40              | <b>0,67</b>       | 0,68              |
| $\varepsilon_9$     | 1,20              | <b>1,19</b>       | <b>1,34</b>       | 1,35              |
| $\varepsilon_{10}$  | 0,40              | <b>0,40</b>       | 0,34              | <b>0,34</b>       |

Tabela 4.5: Erro quadrático médio para as variáveis latentes  $f_t$  e  $\varepsilon_t$  estimadas pelos métodos pelas simulações A e B colocando-se em negrito os menores EQM - valores  $\times 10^{-5}$ .

os parâmetros  $X$  e  $\mu$  as estimativas pontuais obtidas pelas análises MCMC com e sem blocos são bastante próximas entre si o que não é observado para  $\theta$ ,  $\phi$ ,  $\sigma_\eta^\varepsilon$  e  $\Sigma_\eta^f$  para os quais são obtidas maiores diferenças.

| Variável<br>Latente        | Simulação A       |                   | Simulação B       |                   |
|----------------------------|-------------------|-------------------|-------------------|-------------------|
|                            | EQM<br>sem Blocos | EQM<br>com Blocos | EQM<br>sem Blocos | EQM<br>com Blocos |
| $\lambda_1^f$              | 0,27              | <b>0,25</b>       | <b>0,22</b>       | 0,24              |
| $\lambda_2^f$              | <b>0,17</b>       | 0,17              | 0,44              | <b>0,39</b>       |
| $\lambda_1^\varepsilon$    | <b>0,26</b>       | 0,26              | <b>0,20</b>       | 0,20              |
| $\lambda_2^\varepsilon$    | 0,13              | <b>0,12</b>       | 0,17              | <b>0,17</b>       |
| $\lambda_3^\varepsilon$    | 0,34              | <b>0,33</b>       | <b>0,51</b>       | 0,56              |
| $\lambda_4^\varepsilon$    | <b>0,06</b>       | 0,06              | <b>0,22</b>       | 0,24              |
| $\lambda_5^\varepsilon$    | <b>0,25</b>       | 0,25              | <b>0,43</b>       | 0,54              |
| $\lambda_6^\varepsilon$    | 0,20              | <b>0,20</b>       | <b>0,19</b>       | 0,19              |
| $\lambda_7^\varepsilon$    | <b>0,19</b>       | 0,19              | 0,33              | <b>0,32</b>       |
| $\lambda_8^\varepsilon$    | <b>0,21</b>       | 0,21              | 0,25              | <b>0,24</b>       |
| $\lambda_9^\varepsilon$    | <b>0,28</b>       | 0,29              | 0,19              | <b>0,19</b>       |
| $\lambda_{10}^\varepsilon$ | 0,21              | <b>0,21</b>       | <b>0,26</b>       | 0,27              |

Tabela 4.6: Erro quadrático médio para as log-variâncias  $\lambda_t^f$  e  $\lambda_t^\varepsilon$  estimadas pelos métodos pelas simulações A e B colocando-se em negrito os menores EQM.

| Parâmetro  | Simulação A       |                   | Simulação B       |                   |
|--|-------------------|-------------------|-------------------|-------------------|
|  | EQM<br>sem Blocos | EQM<br>com Blocos | EQM<br>sem Blocos | EQM<br>com Blocos |
| $\theta (\times 10^{-7})$                                    | 3.05              | <b>2.03</b>       | 2.32              | <b>2,13</b>       |
| $X (\times 10^{-3})$   | <b>7.89</b>       | 9.74              | 37.2              | <b>22.4</b>       |
| $\mu^f$ e $\mu^\varepsilon (\times 10^{-2})$                 | 2.91              | <b>2.78</b>       | <b>13.9</b>       | 14.9              |
| $\phi^f$ e $\phi^\varepsilon (\times 10^{-3})$               | <b>0.97</b>       | 1.40              | <b>0.50</b>       | 1.69              |
| $\Sigma_\eta^f$ e $\sigma_\eta^\varepsilon (\times 10^{-3})$ | <b>1,13</b>       | 1.21              | <b>0.57</b>       | 0.86              |

Tabela 4.7: Erro quadrático médio para os parâmetros estimados pelos métodos pelas simulações A e B colocando-se em negrito os menores EQM.

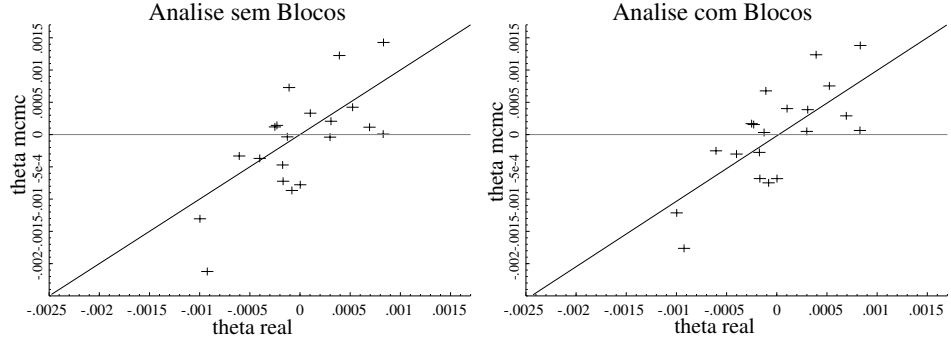


Figura 4.1: Medianas para os elementos de  $\theta$  das análises MCMC sem blocos (esquerda) e utilizando blocos (direita) contra valor real e com a referência da função  $f(x) = x$ .

|               | Simulação A |       |           |       | Real  | Simulação B |      |           |      |       |  |
|---------------|-------------|-------|-----------|-------|-------|-------------|------|-----------|------|-------|--|
|               | s/ Blocos   |       | c/ Blocos |       |       | s/ Blocos   |      | c/ Blocos |      |       |  |
|               | Med         | DP    | Med       | DP    |       | Med         | DP   | Med       | DP   |       |  |
| $\theta_1$    | 2,06        | 6,82  | 3,86      | 6,51  | 3,08  | 1,42        | 3,68 | 1,55      | 3,58 | -2,30 |  |
| $\theta_2$    | 1,14        | 6,99  | 2,90      | 6,24  | 6,93  | -7,23       | 5,07 | -6,82     | 5,08 | -1,68 |  |
| $\theta_3$    | -7,78       | 8,75  | -6,83     | 7,78  | 0,02  | -13,1       | 5,57 | -12,1     | 5,75 | -9,97 |  |
| $\theta_4$    | -4,71       | 6,66  | -2,76     | 6,14  | -1,73 | 12,25       | 8,08 | 12,37     | 8,07 | 3,92  |  |
| $\theta_5$    | 1,19        | 9,50  | 1,69      | 9,28  | -2,51 | -0,40       | 6,87 | 0,49      | 6,99 | 2,99  |  |
| $\theta_6$    | 4,24        | 9,03  | 7,54      | 8,67  | 5,24  | 0,08        | 6,51 | 0,64      | 6,40 | 8,29  |  |
| $\theta_7$    | -21,2       | 12,12 | -17,6     | 11,29 | -9,24 | 7,29        | 6,50 | 6,77      | 6,87 | -1,09 |  |
| $\theta_8$    | 14,27       | 4,90  | 13,80     | 4,83  | 8,32  | -3,69       | 5,90 | -3,02     | 6,06 | -4,01 |  |
| $\theta_9$    | -8,66       | 6,41  | -7,48     | 5,79  | -0,81 | 3,31        | 7,53 | 4,03      | 7,74 | 1,03  |  |
| $\theta_{10}$ | -3,32       | 4,49  | -2,52     | 4,72  | -6,05 | -0,35       | 4,90 | 0,32      | 5,26 | -1,27 |  |

Tabela 4.8: A média  $\theta$  estimada pelos métodos de simulação MCMC e real - valores  $\times 10^{-4}$ .

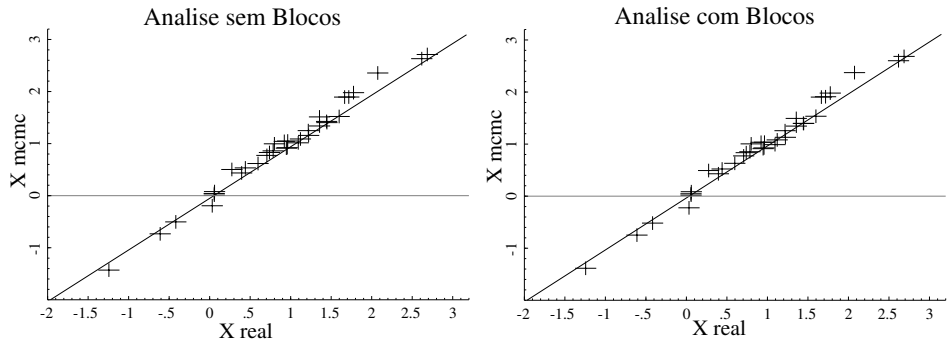


Figura 4.2: Medianas para os elementos irrestritos de  $X$  das análises MCMC sem blocos (esquerda) e utilizando blocos (direita) contra valor real e com a referência da função  $f(x) = x$ .

|           | Simulação A |      |           |      | Simulação B |           |      |           |      |       |
|-----------|-------------|------|-----------|------|-------------|-----------|------|-----------|------|-------|
|           | s/ Blocos   |      | c/ Blocos |      | Real        | s/ Blocos |      | c/ Blocos |      | Real  |
|           | Med         | DP   | Med       | DP   |             | Med       | DP   | Med       | DP   |       |
| $X_{21}$  | 1,16        | 0,13 | 1,13      | 0,12 | 1,22        | 0,50      | 0,11 | 0,49      | 0,09 | 0,27  |
| $X_{31}$  | -0,19       | 0,15 | -0,22     | 0,14 | 0,03        | 1,89      | 0,11 | 1,90      | 0,11 | 1,67  |
| $X_{41}$  | 1,43        | 0,14 | 1,40      | 0,12 | 1,44        | 1,52      | 0,12 | 1,53      | 0,13 | 1,60  |
| $X_{51}$  | -0,50       | 0,14 | -0,52     | 0,14 | -0,42       | 2,36      | 0,12 | 2,37      | 0,13 | 2,07  |
| $X_{61}$  | 2,71        | 0,20 | 2,68      | 0,19 | 2,69        | 1,00      | 0,10 | 1,00      | 0,11 | 0,80  |
| $X_{71}$  | 2,63        | 0,24 | 2,60      | 0,22 | 2,62        | 1,25      | 0,15 | 1,26      | 0,12 | 1,22  |
| $X_{81}$  | -0,73       | 0,08 | -0,75     | 0,08 | -0,61       | 1,89      | 0,10 | 1,91      | 0,11 | 1,72  |
| $X_{91}$  | 1,02        | 0,12 | 0,99      | 0,11 | 1,09        | 1,98      | 0,14 | 1,98      | 0,14 | 1,78  |
| $X_{101}$ | 0,77        | 0,07 | 0,77      | 0,07 | 0,71        | 0,83      | 0,08 | 0,84      | 0,08 | 0,74  |
| $X_{32}$  | 1,40        | 0,06 | 1,40      | 0,06 | 1,45        | 1,05      | 0,23 | 1,04      | 0,05 | 0,96  |
| $X_{42}$  | 0,92        | 0,03 | 0,93      | 0,03 | 0,96        | 0,08      | 0,20 | 0,09      | 0,05 | 0,06  |
| $X_{52}$  | 1,09        | 0,07 | 1,08      | 0,07 | 1,12        | 1,04      | 0,20 | 1,03      | 0,05 | 0,92  |
| $X_{62}$  | 0,62        | 0,06 | 0,63      | 0,05 | 0,60        | 0,53      | 0,13 | 0,52      | 0,05 | 0,44  |
| $X_{72}$  | 1,34        | 0,06 | 1,35      | 0,06 | 1,36        | -1,43     | 0,79 | -1,38     | 0,08 | -1,24 |
| $X_{82}$  | 0,44        | 0,04 | 0,43      | 0,04 | 0,39        | 0,86      | 0,17 | 0,85      | 0,05 | 0,78  |
| $X_{92}$  | 0,91        | 0,03 | 0,91      | 0,03 | 0,95        | 1,51      | 0,41 | 1,49      | 0,07 | 1,36  |
| $X_{102}$ | 0,04        | 0,03 | 0,05      | 0,03 | 0,06        | 0,01      | 0,13 | 0,02      | 0,05 | 0,06  |

Tabela 4.9: Elementos irrestritos da matriz  $X$  estimados pelos métodos de simulação MCMC e real.

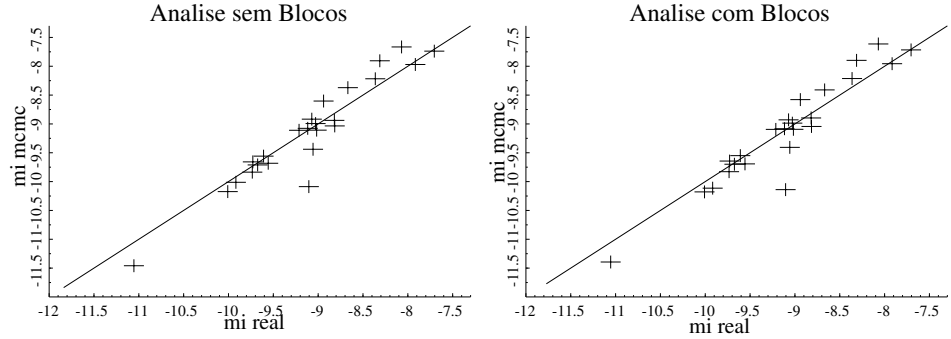


Figura 4.3: Medianas para as médias  $\mu^f$  e  $\mu^\varepsilon$  dos processos de VE pelas análises MCMC sem blocos (esquerda) e utilizando blocos (direita) contra seus valores reais e com a referência da função  $f(x) = x$ .

|                        | Simulação A |      |           |      | Simulação B |           |      |           | Real |        |
|------------------------|-------------|------|-----------|------|-------------|-----------|------|-----------|------|--------|
|                        | s/ Blocos   |      | c/ Blocos |      | Real        | s/ Blocos |      | c/ Blocos |      |        |
|                        | Med         | DP   | Med       | DP   |             | Med       | DP   | Med       | DP   |        |
| $\mu_1^f$              | -9,68       | 0,22 | -9,69     | 0,17 | -9,56       | -10,01    | 0,14 | -10,11    | 0,11 | -9,92  |
| $\mu_2^f$              | -8,37       | 0,15 | -8,41     | 0,11 | -8,67       | -9,44     | 0,71 | -9,41     | 0,23 | -9,06  |
| $\mu_1^\varepsilon$    | -7,97       | 0,25 | -7,96     | 0,25 | -7,92       | -9,84     | 0,13 | -9,83     | 0,14 | -9,73  |
| $\mu_2^\varepsilon$    | -9,71       | 0,11 | -9,70     | 0,12 | -9,67       | -9,08     | 0,12 | -9,08     | 0,12 | -9,12  |
| $\mu_3^\varepsilon$    | -8,92       | 0,46 | -8,93     | 0,42 | -9,07       | -11,46    | 0,50 | -11,39    | 0,31 | -11,05 |
| $\mu_4^\varepsilon$    | -10,17      | 0,09 | -10,18    | 0,09 | -10,01      | -7,67     | 0,44 | -7,61     | 0,33 | -8,07  |
| $\mu_5^\varepsilon$    | -7,74       | 0,19 | -7,72     | 0,21 | -7,70       | -10,09    | 0,68 | -10,14    | 0,73 | -9,10  |
| $\mu_6^\varepsilon$    | -9,11       | 0,10 | -9,09     | 0,10 | -9,21       | -8,22     | 0,17 | -8,21     | 0,17 | -8,36  |
| $\mu_7^\varepsilon$    | -7,91       | 0,23 | -7,90     | 0,22 | -8,31       | -8,94     | 0,28 | -8,90     | 0,27 | -8,82  |
| $\mu_8^\varepsilon$    | -9,11       | 0,13 | -9,09     | 0,13 | -9,02       | -9,66     | 0,16 | -9,64     | 0,17 | -9,73  |
| $\mu_9^\varepsilon$    | -9,56       | 0,14 | -9,55     | 0,14 | -9,61       | -9,03     | 0,11 | -9,04     | 0,11 | -8,82  |
| $\mu_{10}^\varepsilon$ | -8,99       | 0,11 | -8,99     | 0,10 | -9,03       | -8,60     | 0,14 | -8,58     | 0,16 | -8,94  |

Tabela 4.10: Médias dos processos de VE  $\mu^f$  e  $\mu^\varepsilon$  estimadas pelos métodos de simulação MCMC e seus valores reais.

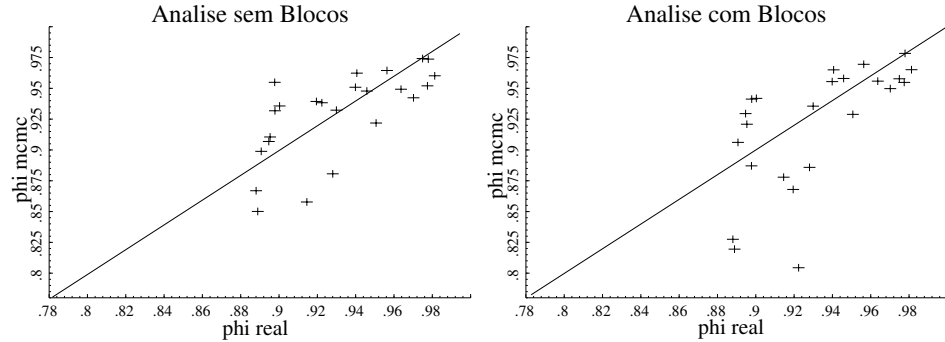


Figura 4.4: Medianas para os coeficientes auto-regressivos  $\phi^f$  e  $\phi^\varepsilon$  dos processos de VE pelas análises MCMC sem blocos (esquerda) e utilizando blocos (direita) contra seus valores reais e com a referência da função  $f(x) = x$ .

|                         | Simulação A |      |           |      | Simulação B |           |      |           |      |      |
|-------------------------|-------------|------|-----------|------|-------------|-----------|------|-----------|------|------|
|                         | s/ Blocos   |      | c/ Blocos |      | Real        | s/ Blocos |      | c/ Blocos |      | Real |
|                         | Med         | DP   | Med       | DP   |             | Med       | DP   | Med       | DP   |      |
| $\phi_1^f$              | 0,95        | 0,02 | 0,89      | 0,05 | 0,90        | 0,94      | 0,03 | 0,80      | 0,09 | 0,92 |
| $\phi_2^f$              | 0,94        | 0,03 | 0,87      | 0,05 | 0,92        | 0,97      | 0,01 | 0,96      | 0,01 | 0,97 |
| $\phi_1^\varepsilon$    | 0,95        | 0,02 | 0,95      | 0,02 | 0,98        | 0,93      | 0,06 | 0,94      | 0,05 | 0,90 |
| $\phi_2^\varepsilon$    | 0,86        | 0,08 | 0,88      | 0,07 | 0,91        | 0,91      | 0,06 | 0,92      | 0,04 | 0,90 |
| $\phi_3^\varepsilon$    | 0,96        | 0,02 | 0,97      | 0,02 | 0,98        | 0,94      | 0,04 | 0,95      | 0,02 | 0,97 |
| $\phi_4^\varepsilon$    | 0,87        | 0,11 | 0,83      | 0,29 | 0,89        | 0,96      | 0,02 | 0,97      | 0,01 | 0,96 |
| $\phi_5^\varepsilon$    | 0,95        | 0,02 | 0,96      | 0,02 | 0,94        | 0,97      | 0,01 | 0,98      | 0,01 | 0,98 |
| $\phi_6^\varepsilon$    | 0,85        | 0,11 | 0,82      | 0,20 | 0,89        | 0,96      | 0,03 | 0,97      | 0,02 | 0,94 |
| $\phi_7^\varepsilon$    | 0,95        | 0,02 | 0,96      | 0,02 | 0,96        | 0,95      | 0,03 | 0,96      | 0,03 | 0,95 |
| $\phi_8^\varepsilon$    | 0,91        | 0,05 | 0,93      | 0,04 | 0,89        | 0,93      | 0,03 | 0,94      | 0,03 | 0,93 |
| $\phi_9^\varepsilon$    | 0,94        | 0,03 | 0,94      | 0,03 | 0,90        | 0,88      | 0,04 | 0,89      | 0,04 | 0,93 |
| $\phi_{10}^\varepsilon$ | 0,90        | 0,05 | 0,91      | 0,05 | 0,89        | 0,92      | 0,03 | 0,93      | 0,03 | 0,95 |

Tabela 4.11: Coeficientes auto-regressivos dos processos de VE estimados pelos métodos de simulação MCMC e os valores reais.

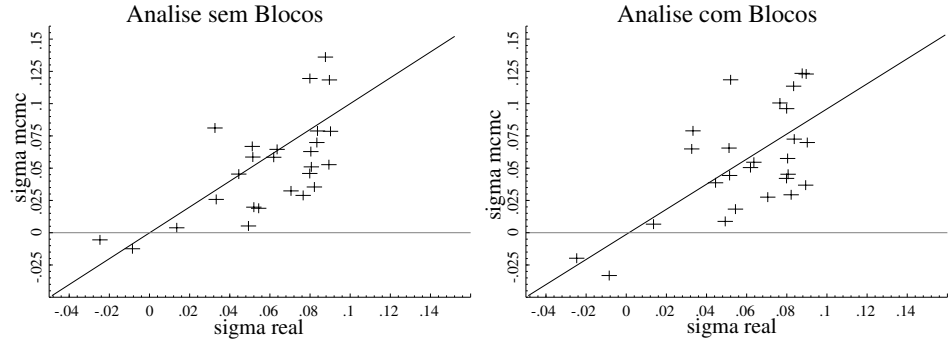


Figura 4.5: Medianas para as variâncias e covariâncias em  $\Sigma_{\eta}^f$  e  $\sigma_{\eta}^{\varepsilon}$  dos processos de VE pelas análises MCMC sem blocos (esquerda) e utilizando blocos (direita) contra seus valores reais e com a referência da função  $f(x) = x$ .

|                                 | Simulação A |       |           |       | Simulação B |           |       |           | Real  |        |
|---------------------------------|-------------|-------|-----------|-------|-------------|-----------|-------|-----------|-------|--------|
|                                 | s/ Blocos   |       | c/ Blocos |       | Real        | s/ Blocos |       | c/ Blocos |       |        |
|                                 | Med         | DP    | Med       | DP    |             | Med       | DP    | Med       | DP    |        |
| $\Sigma_{\eta}^{f11}$           | 0,029       | 0,016 | 0,101     | 0,058 | 0,077       | 0,020     | 0,013 | 0,118     | 0,065 | 0,052  |
| $\Sigma_{\eta}^{f12}$           | -0,012      | 0,009 | -0,033    | 0,021 | -0,008      | -0,006    | 0,013 | -0,020    | 0,025 | -0,025 |
| $\Sigma_{\eta}^{f22}$           | 0,026       | 0,016 | 0,079     | 0,040 | 0,033       | 0,070     | 0,023 | 0,114     | 0,035 | 0,083  |
| $\sigma_{\eta}^{\varepsilon}1$  | 0,079       | 0,030 | 0,073     | 0,029 | 0,084       | 0,032     | 0,046 | 0,028     | 0,032 | 0,071  |
| $\sigma_{\eta}^{\varepsilon}2$  | 0,081       | 0,060 | 0,065     | 0,048 | 0,033       | 0,045     | 0,041 | 0,039     | 0,032 | 0,044  |
| $\sigma_{\eta}^{\varepsilon}3$  | 0,136       | 0,066 | 0,123     | 0,047 | 0,088       | 0,119     | 0,073 | 0,096     | 0,059 | 0,080  |
| $\sigma_{\eta}^{\varepsilon}4$  | 0,004       | 0,005 | 0,007     | 0,013 | 0,014       | 0,058     | 0,024 | 0,050     | 0,020 | 0,062  |
| $\sigma_{\eta}^{\varepsilon}5$  | 0,051       | 0,029 | 0,045     | 0,023 | 0,081       | 0,118     | 0,047 | 0,123     | 0,058 | 0,090  |
| $\sigma_{\eta}^{\varepsilon}6$  | 0,005       | 0,009 | 0,009     | 0,015 | 0,049       | 0,019     | 0,015 | 0,018     | 0,016 | 0,054  |
| $\sigma_{\eta}^{\varepsilon}7$  | 0,065       | 0,033 | 0,055     | 0,027 | 0,064       | 0,059     | 0,057 | 0,044     | 0,036 | 0,051  |
| $\sigma_{\eta}^{\varepsilon}8$  | 0,053       | 0,038 | 0,037     | 0,031 | 0,089       | 0,063     | 0,035 | 0,058     | 0,029 | 0,080  |
| $\sigma_{\eta}^{\varepsilon}9$  | 0,035       | 0,023 | 0,029     | 0,021 | 0,082       | 0,067     | 0,035 | 0,066     | 0,033 | 0,051  |
| $\sigma_{\eta}^{\varepsilon}10$ | 0,046       | 0,030 | 0,042     | 0,029 | 0,080       | 0,079     | 0,033 | 0,070     | 0,031 | 0,090  |

Tabela 4.12: Variâncias (e covariância) das inovações dos processos de VE estimadas pelos métodos de simulação MCMC e seus valores reais.

# Capítulo 5

## Análise de Dados Reais

Nesse capítulo é ajustado o MF-VE para um conjunto de 10 taxas de câmbio utilizando o algoritmo de simulação por blocos. As taxas de câmbio analisadas são a paridade com o dólar de moedas da Ásia, Europa e América do Sul e Central obtidas da agência de informações Bloomberg: Yen / Japão (JPY), Libra / Reino Unido (GBP), Dólar de Cingapura (SGD), Bath / Tailândia (THB), Won / Coréia (KRW), Corona Sueca (SEK), Franco Suiço (CHF), Euro (EUR), Real / Brasil (BRL) e Peso / México (MXN), no período de 01/jan/1999 a 31/ago/2002 - veja figura 5.1.

A partir destas taxas são construídas as séries de retornos diários utilizando como retornos  $y_t = (p_t/p_{t-1} - 1)$  e formando um histórico de 934 retornos diários. Esses retornos são mostrados na figura D.2 utilizando escalas diferentes devido à maior amplitude da série BRL. Nas seções seguintes são discutidas a estrutura escolhida para o ajuste do modelo e as estimativas obtidas para os parâmetros do modelo de fatores e é realizada a interpretação dos seus valores identificando grupos de taxas de câmbio correlacionadas e fatores comuns a essas séries. Em seguida são discutidos os modelos de VE ajustados, os fatores comuns e efeitos específicos extraídos das séries dada a estrutura determinada para o ajuste e por fim são analisadas as variâncias e covariâncias das moedas com o Real/Brasil variantes no tempo.

## 5.1 Análise MCMC

A tabela 5.1 mostra as estatísticas sumárias para os retornos das taxas no período. A série BRL se destaca pelo retorno médio alto e positivo em relação às demais séries seguido pelas moedas EUR, SEK e THB com retornos médios menores e positivos. Quanto à dispersão dos retornos em torno de sua média temos BRL com maior desvio padrão e também maior amplitude no intervalo de 95% dos dados. O grupo de taxas JPY, SEK, CHF e EUR que exibem desvios padrões em torno de 0,70% e intervalos dos percentis em torno de -1,35% a 1,35%. Com menores variâncias estão as moedas MXN, THB, KRW e GBP com desvios padrões em torno de 0,47% e intervalos entre -0,90% a 0,90%. Se destaca com menor variância marginal a série SGD com desvio padrão 0,27% e intervalo contendo 95% dos dados de -0,50% a 0,51%.

| Moeda | Media<br>$\times 10^{-4}$ | DP<br>$\times 10^{-2}$ | %2,5<br>$\times 10^{-2}$ | %97,5<br>$\times 10^{-2}$ |
|-------|---------------------------|------------------------|--------------------------|---------------------------|
| JPY   | 0,82                      | 0,70                   | -1,36                    | 1,35                      |
| GBP   | 0,78                      | 0,49                   | -1,00                    | 1,02                      |
| SGD   | 0,75                      | 0,27                   | -0,50                    | 0,51                      |
| THB   | 1,56                      | 0,43                   | -0,83                    | 0,99                      |
| KRW   | -0,03                     | 0,47                   | -0,92                    | 1,09                      |
| SEK   | 1,91                      | 0,69                   | -1,39                    | 1,41                      |
| CHF   | 1,06                      | 0,69                   | -1,41                    | 1,41                      |
| EUR   | 2,13                      | 0,68                   | -1,38                    | 1,35                      |
| BRL   | 12,00                     | 1,21                   | -1,92                    | 2,42                      |
| MXN   | 0,10                      | 0,50                   | -0,92                    | 1,02                      |

Tabela 5.1: Estatísticas sumárias para os retornos das taxas de câmbio: média, desvio padrão e percentis de 2,5% e 97,5% - período de 01/jan/1999 a 31/ago/2002.

A tabela 5.2 apresenta a matriz de correlações entre os retornos das 10 taxas analisadas. Note que o Real/Brasil apresenta estimativas baixas para correlação com as demais moedas, exceto com MXN. Também temos que JPY apresenta correlação média, em torno de 0,20 com as moedas da Ásia e Europa exceto com SGD estimada em 0,43. As moedas européias apre-

sentam entre si alta correlação positiva indicando a existência de um fator comum entre essas taxas de câmbio. Dessa forma, ajustando um modelo de 2 fatores utilizamos nas posições em que há restrição impondo correlação com os fatores as moedas JPY por apresentar correlação com as moedas da Europa e Ásia e GBP por pertencer ao grupo de moedas européias de altas correlações duas a duas.

|             |             |             |       |             |             |             |       |      |     |
|-------------|-------------|-------------|-------|-------------|-------------|-------------|-------|------|-----|
|             | JPY         |             |       |             |             |             |       |      |     |
| <b>0,43</b> | SGD         |             |       |             |             |             |       |      |     |
| <b>0,26</b> | <b>0,49</b> | THB         |       |             |             |             |       |      |     |
| <b>0,20</b> | <b>0,23</b> | <b>0,26</b> | KRW   |             |             |             |       |      |     |
| <b>0,20</b> | 0,11        | 0,04        | 0,02  | GBP         |             |             |       |      |     |
| <b>0,19</b> | 0,17        | 0,09        | 0,04  | <b>0,49</b> | SEK         |             |       |      |     |
| <b>0,23</b> | 0,19        | 0,11        | -0,02 | <b>0,58</b> | <b>0,72</b> | CHF         |       |      |     |
| <b>0,21</b> | 0,19        | 0,11        | -0,01 | <b>0,58</b> | <b>0,79</b> | <b>0,91</b> | EUR   |      |     |
| 0,07        | 0,06        | 0,03        | 0,00  | 0,04        | 0,04        | -0,05       | -0,02 | BRL  |     |
| -0,04       | 0,01        | 0,07        | 0,02  | -0,15       | -0,10       | -0,23       | -0,19 | 0,22 | MXN |

Tabela 5.2: Correlações entre os retornos das taxas de câmbio analisadas colocando-se em negrito os grupos de moedas da Ásia, Europa e também as correlações mais altas envolvendo JPY - período de 01/jan/1999 a 31/ago/2002.

Na análise MCMC obtivemos em geral as distribuições marginais a posteriori exibindo grau de simetria/assimetria e também valores de auto-correlação próximos aos obtidos nas análises dos dados simulados. Foi utilizada a amostra de  $n=1000$  a partir de  $N=15000$  simulações descartando as primeiras 5000 como período de convergência e tomando a cada 10 observações na ordem da cadeia.

## 5.2 O modelo de fatores

A tabela 5.3 mostra as estatísticas sumárias das cadeias geradas para a média  $\theta$  estimada como a mediana das cadeias geradas. Note que a parte da estrutura factorial a série BRL é a única que exibe retorno médio significativamente

diferentes de zero para o período.

| $\theta$ | Med   | DP   | 2,5%  | 97,5% |
|----------|-------|------|-------|-------|
| JPY      | 2,39  | 2,03 | -1,53 | 6,44  |
| GBP      | 0,46  | 1,49 | -2,53 | 3,32  |
| SGD      | 1,05  | 0,72 | -0,36 | 2,42  |
| THB      | 0,63  | 0,99 | -1,32 | 2,54  |
| KRW      | -0,89 | 1,01 | -2,87 | 1,08  |
| SEK      | 2,60  | 2,10 | -1,64 | 6,53  |
| CHF      | 2,35  | 2,19 | -2,40 | 6,35  |
| EUR      | 2,98  | 2,18 | -1,76 | 6,83  |
| BRL      | 4,16  | 1,98 | 0,42  | 7,95  |
| MXN      | -1,14 | 1,36 | -3,96 | 1,38  |

Tabela 5.3: Estatísticas sumárias para  $\theta$  - mediana, desvio padrão e percentis de 2,5% e 97,5% da cadeia MCMC - valores  $\times 10^{-4}$ .

As estatísticas para as colunas da matriz de cargas  $X$  são mostradas na tabela 5.4 e mostram a estrutura fatorial estimada. Cada elemento  $x_{ij}$  de  $X$  multiplicado pela variância do  $j$ -ésimo fator representa a covariância entre a taxa  $i$  e o fator  $j$ . Também cada coluna  $X_{.j}$  de  $X$  é a combinação linear das taxas que compõem o  $j$ -ésimo fator.

Os baixos valores para as cargas dos fatores de BRL e MXN mostram que essas taxas de câmbio têm pouca participação na composição dos fatores  $f_1$  e  $f_2$ . O primeiro fator é uma ponderação entre todas as moedas exceto BRL e MXN com pesos maiores para as moedas européias. O segundo fator é um contraste entre as moedas asiáticas (exceto o Yen que foi excluído) e as européias, com pesos maiores para as moedas asiáticas. participação EUR, CHF, SEK e GBP sendo um efeito comum à moedas européias. Em resumo temos que para a estrutura do modelo utilizada são extraídos dos dados 2 fatores comuns sendo o primeiro relacionado ao mercado comum Europa - Ásia e o segundo exclusivo das taxas européias.

Observando a matriz de cargas  $X$  no espaço dos fatores - veja figura D.3, é possível notar a formação de 2 grupos de moedas. O primeiro grupo é composto justamente pelas moedas européias EUR, CHF, SEK e GBP

| série | $X_{.1}$ |      |        |       | $X_{.2}$ |      |        |        |
|-------|----------|------|--------|-------|----------|------|--------|--------|
|       | Med      | DP   | 2,5%   | 97,5% | Med      | DP   | 2,5%   | 97,5%  |
| JPY   | 1        |      |        |       | 0        |      |        |        |
| GBP   | 0,429    | 0,07 | 0,294  | 0,576 | 1        |      |        |        |
| SGD   | 0,544    | 0,04 | 0,469  | 0,631 | -0,170   | 0,06 | -0,286 | -0,064 |
| THB   | 0,616    | 0,10 | 0,502  | 0,884 | -0,262   | 0,07 | -0,430 | -0,148 |
| KRW   | 0,313    | 0,05 | 0,216  | 0,431 | -0,167   | 0,05 | -0,269 | 0,076  |
| SEK   | 0,794    | 0,01 | 0,589  | 1,104 | 1,830    | 0,10 | 1,65   | 2,043  |
| CHF   | 0,906    | 0,01 | 0,668  | 1,197 | 2,193    | 0,11 | 2,00   | 2,421  |
| EUR   | 0,896    | 0,01 | 0,654  | 1,196 | 2,231    | 0,11 | 2,03   | 2,470  |
| BRL   | 0,003    | 0,07 | -0,136 | 0,154 | -0,125   | 0,07 | -0,261 | 0,023  |
| MXN   | -0,023   | 0,05 | -0,117 | 0,076 | 0,317    | 0,06 | -0,438 | -0,200 |

Tabela 5.4: Análise MCMC para a matriz de cargas  $X$  - mediana, desvio padrão e percentis de 2,5% e 97,5% da cadeia MCMC.

que pontuam com valores altos e positivos no segundo fator e relativamente altos e positivos no primeiro fator. As moedas asiáticas THB, SGD e KRW formam o segundo grupo apresentando níveis próximos de correlação com o primeiro fator e também com o segundo fator. As moedas JPY, BRL, MXN não participam destes grupos de forma a manter sua distinção. Note também na figura a análise factorial proposta pelo MF-VE é um modelo de rotação oblíqua pois os fatores não são ortogonais, isto é apresentam correlação.

### 5.3 Os modelos de VE

A figura D.4 mostra os fatores  $f_1$  e  $f_2$  extraídos das séries e seus respectivos desvios padrões condicionais. Temos para o primeiro fator  $f_{1t}$  uma variância maior - veja tabela 5.5, e uma persistência menor na volatilidade quando comparado ao segundo fator  $f_{2t}$ . Considerando o modelo de log-variâncias que permite correlação entre as inovações no mesmo tempo t temos da matriz  $\Sigma_\eta^f$  - ver tabela 5.6, que a correlação entre as inovações das log-variâncias é relativamente alta igual a 0,34, o que não seria estimado pelo modelo de

Chib, Nardari e Shephard (2002) - ver seção 3.3.

| fator<br>comum | $\mu^f$ |      |        |        |      | $\phi^f$ |      |       |  |  |
|----------------|---------|------|--------|--------|------|----------|------|-------|--|--|
|                | Med     | DP   | 2,5%   | 97,5%  | Med  | DP       | 2,5% | 97,5% |  |  |
| $f_1$          | -11,68  | 0,17 | -12,08 | -11,40 | 0,47 | 0,16     | 0,15 | 0,76  |  |  |
| $f_2$          | -12,02  | 0,12 | -12,27 | -11,80 | 0,56 | 0,21     | 0,08 | 0,87  |  |  |

Tabela 5.5: Estimativas para os parâmetros  $\mu^f$  e  $\phi^f$  do processo de volatilidade dos fatores comuns - mediana, desvio padrão e percentis de 2,5% e 97,5% da cadeia MCMC.

| fator<br>comum         | $\sigma^f$ |      |       |       |  |
|------------------------|------------|------|-------|-------|--|
|                        | Med        | DP   | 2,5%  | 97,5% |  |
| $\sigma_{\eta^{11}}^f$ | 0,568      | 0,18 | 0,25  | 0,94  |  |
| $\sigma_{\eta^{22}}^f$ | 0,199      | 0,11 | 0,05  | 0,48  |  |
| $\sigma_{\eta^{12}}^f$ | 0,110      | 0,09 | -0,03 | 0,33  |  |

Tabela 5.6: Estimativas para  $\Sigma_\eta^f$  - mediana, desvio padrão e percentis de 2,5% e 97,5% da cadeia MCMC.

A figura D.5 mostra os efeitos específicos das séries e seus respectivos desvios padrões condicionais. Como citado os efeitos específicos  $\varepsilon_t$  e os níveis de log-variância dependem da ordem das séries escolhidas para os ajuste do modelo e também do número de fatores. As tabelas 5.7 e 5.8 contém as estatísticas sumárias para os parâmetros dos componentes de VE.

## 5.4 A matriz de variâncias e covariâncias

A matriz de variâncias e covariâncias  $\Sigma_t$  estimada para os retornos das taxas para o período pode ser visualizada nas figuras D.6 para os elementos da sua diagonal e na figura D.7 para as correlações entre BRL e as demais moedas. A escala é exibida como particular para cada gráfico para possibilitar a visualização das menores taxas. A figura D.6 mostra as variâncias das séries de retornos diagonal de  $\Sigma_t$ .

| efeito<br>específico | $\mu^\varepsilon$ |      |        |        | $\phi^\varepsilon$ |      |      |       |
|----------------------|-------------------|------|--------|--------|--------------------|------|------|-------|
|                      | Med               | DP   | 2,5%   | 97,5%  | Med                | DP   | 2,5% | 97,5% |
| JPY                  | -10,47            | 0,12 | -10,73 | -10,24 | 0,92               | 0,07 | 0,72 | 0,98  |
| GBP                  | -11,22            | 0,18 | -11,55 | -10,85 | 0,97               | 0,02 | 0,93 | 0,99  |
| SGD                  | -13,21            | 0,34 | -13,90 | -12,67 | 0,93               | 0,03 | 0,85 | 0,97  |
| THB                  | -12,24            | 0,38 | -13,14 | -11,61 | 0,95               | 0,02 | 0,90 | 0,97  |
| KRW                  | -11,34            | 0,19 | -11,71 | -10,94 | 0,92               | 0,03 | 0,86 | 0,96  |
| SEK                  | -11,24            | 0,12 | -11,48 | -11,00 | 0,90               | 0,04 | 0,80 | 0,96  |
| CHF                  | -12,61            | 0,24 | -13,11 | -12,15 | 0,93               | 0,02 | 0,87 | 0,97  |
| EUR                  | -13,48            | 0,56 | -14,81 | -12,64 | 0,98               | 0,08 | 0,76 | 0,997 |
| BRL                  | -9,80             | 0,35 | -10,51 | -9,09  | 0,97               | 0,01 | 0,93 | 0,99  |
| MXN                  | -11,01            | 0,10 | -11,22 | -10,82 | 0,80               | 0,06 | 0,66 | 0,89  |

Tabela 5.7: Estimativas para os parâmetros  $\mu^\varepsilon$  e  $\phi^\varepsilon$  - mediana, desvio padrão e percentis de 2,5% e 97,5% da cadeia MCMC.

A análise da proporção de variância específica isto é dos efeitos específicos em relação à variância total exibe uma posição a parte das séries de retornos de BRL, MXN e KRW com quase toda variância devida a esses efeitos. A moeda KRW apresenta efeitos de fatores comuns às demais 7 séries de retornos em  $T = 400$ . Uma vez que essas séries não estão relacionadas com a parte que é comum às demais séries sua variância é modelada em grande parte pelos modelos de VE dos efeitos específicos e pouco pela variância da parte fatorial isto é a matriz  $X$  e o modelo de VE-VAR(1) dos fatores. Em contrapartida se destacam como bastante relacionadas aos efeitos comuns a essas séries as moedas CHF e EUR com efeitos específicos com médias relativamente pequenas.

## 5.5 Especificação Euro - Yen nos fatores

Dado que a escolha das primeiras  $k$  séries para o ajuste do modelo influencia as estimativas e a interpretação do modelo, nesta seção apresentamos o ajuste do **MF-VE** ajustado às mesmas taxas de câmbio porém fazendo EUR e JPY como as primeira e segunda séries do modelo. Essa escolha considerou a maior

| efeito<br>específico | $\sigma_{\eta,i}^{\varepsilon}$ |      |       |       |
|----------------------|---------------------------------|------|-------|-------|
|                      | Med                             | DP   | 2,5%  | 97,5% |
| JPY                  | 0,057                           | 0,06 | 0,009 | 0,24  |
| GBP                  | 0,015                           | 0,10 | 0,006 | 0,040 |
| SGD                  | 0,192                           | 0,10 | 0,068 | 0,473 |
| THB                  | 0,187                           | 0,10 | 0,080 | 0,492 |
| KRW                  | 0,166                           | 0,06 | 0,089 | 0,310 |
| SEK                  | 0,089                           | 0,05 | 0,003 | 0,220 |
| CHF                  | 0,154                           | 0,06 | 0,075 | 0,308 |
| EUR                  | 0,023                           | 0,04 | 0,004 | 0,145 |
| BRL                  | 0,115                           | 0,04 | 0,062 | 0,203 |
| MXN                  | 0,226                           | 0,09 | 0,118 | 0,464 |

Tabela 5.8: Estimativas para  $\sigma_{\eta,i}^{\varepsilon}$  - mediana, desvio padrão e percentis de 2,5% e 97,5% da cadeia MCMC

correlação dos retornos destas séries com os primeiros fatores estimados pela análise factorial clássica ortogonal aplicada a essas séries de retornos. A tabela 5.9 mostra as estimativas para o parâmetro  $\theta$ . Notamos a diferença para a outra aplicação que além de BRL também EUR tem pelo menos 95% da distribuição marginal a posteriori distinta de zero.

A estimativa para a matriz de cargas dos fatores é mostrada na tabela 5.10. Novamente temos as moedas BRL e MXN pouco relacionadas aos fatores. Note que, para a estrutura escolhida nesta seção, as moedas estão relacionadas à parte factorial de forma mais identificada a um dos fatores quando comparadas à aplicação anterior - exceto JPY. O primeiro fator é uma combinação linear com coeficientes altos e positivos das taxas de câmbio européias EUR, CHF e SEK e também de GBP e JPY. As demais moedas asiáticas têm coeficientes baixos para esse fator. O segundo fator é combinação linear com coeficientes altos e positivos para as moedas asiáticas, principalmente JPY e THB e baixos para as moedas européias.

A figura D.9 mostra os fatores extraídos das séries e seus respectivos desvios padrões. Note que o primeiro fator tem maior variância nesta estrutura

| $\theta$ | Med   | DP   | 2,5%        | 97,5%       |
|----------|-------|------|-------------|-------------|
| JPY      | 1,66  | 2,05 | -1,11       | 4,17        |
| GBP      | 0,45  | 1,45 | -1,44       | 2,19        |
| SGD      | 0,54  | 0,72 | -0,38       | 1,44        |
| THB      | -0,20 | 0,98 | -1,43       | 1,06        |
| KRW      | -1,16 | 1,06 | -2,51       | 0,23        |
| SEK      | 2,62  | 2,07 | -0,16       | 5,25        |
| CHF      | 2,21  | 2,11 | -0,61       | 4,69        |
| EUR      | 2,82  | 2,10 | <b>0,10</b> | <b>5,42</b> |
| BRL      | 4,12  | 1,90 | <b>1,68</b> | <b>6,57</b> |
| MXN      | -1,28 | 1,32 | -3,09       | 0,35        |

Tabela 5.9: Estatísticas sumárias para  $\theta$  - mediana, desvio padrão e percentis de 2,5% e 97,5% da cadeia MCMC colocando-se em negrito os intervalos de credibilidade que não contém o zero - valores  $\times 10^{-4}$ .

fatorial que na especificação JPY - GBP. As tabelas 5.11 e 5.12 mostram as estimativas para os parâmetros do modelo de VE dos fatores. Note que há maior persistência na volatilidade para o processo de VE do segundo fator que na seção anterior. O intervalo de credibilidade para a covariância entre as log-variâncias  $\Sigma_{\eta 12}^f$  não contém o zero.

Os efeitos específicos são exibidos na figura D.10. Note que os processos foram estimados como bastante próximos quando comparados à seção anterior na figura D.5.

As figuras D.11 e D.12 mostram bastante proximidade entre as estimativas das variâncias condicionais e os percentuais de variância específica da aplicação anterior.

## 5.6 Análise de sensibilidade do modelo

A série BRL exibe períodos de alta volatilidade no início de janeiro do ano de 1999 e também no final de julho de 2002 - veja figura D.11. Para estudar quanto o método de ajuste é robusto com respeito à presença ou não da série BRL, que tem maior volatilidade, nessa seção é realizada a comparação das

| série | $X_{.1}$    |      |       |       | $X_{.2}$    |      |       |       |
|-------|-------------|------|-------|-------|-------------|------|-------|-------|
|       | Med         | DP   | 2,5%  | 97,5% | Med         | DP   | 2,5%  | 97,5% |
| JPY   | <b>0,24</b> | 0,03 | 0,17  | 0,31  | <b>1,00</b> |      |       |       |
| GBP   | <b>0,47</b> | 0,02 | 0,42  | 0,50  | 0,00        | 0,06 | -0,12 | 0,10  |
| SGD   | 0,07        | 0,01 | 0,04  | 0,09  | <b>0,65</b> | 0,08 | 0,52  | 0,82  |
| THB   | 0,05        | 0,02 | 0,02  | 0,09  | <b>1,12</b> | 0,26 | 0,65  | 1,59  |
| KRW   | 0,01        | 0,02 | -0,02 | 0,04  | <b>0,43</b> | 0,08 | 0,30  | 0,59  |
| SEK   | <b>0,84</b> | 0,02 | 0,80  | 0,88  | 0,06        | 0,06 | -0,06 | 0,18  |
| CHF   | <b>0,99</b> | 0,02 | 0,97  | 1,03  | 0,03        | 0,03 | -0,05 | 0,09  |
| EUR   | <b>1,00</b> |      |       |       | 0,00        |      |       |       |
| BRL   | -0,04       | 0,03 | -0,10 | 0,01  | 0,09        | 0,09 | -0,08 | 0,28  |
| MXN   | -0,12       | 0,02 | -0,16 | -0,07 | 0,15        | 0,07 | 0,04  | 0,33  |

Tabela 5.10: Análise MCMC para a matriz de cargas  $X$  - mediana, desvio padrão e percentis de 2,5% e 97,5% da cadeia MCMC.

| fator comum | $\mu^f$ |      |        |        | $\phi^f$ |      |       |       |
|-------------|---------|------|--------|--------|----------|------|-------|-------|
|             | Med     | DP   | 2,5%   | 97,5%  | Med      | DP   | 2,5%  | 97,5% |
| $f_1$       | -10,22  | 0,06 | -10,35 | -10,10 | 0,21     | 0,15 | -0,07 | 0,50  |
| $f_2$       | -12,34  | 0,33 | -12,90 | -11,67 | 0,81     | 0,08 | 0,59  | 0,91  |

Tabela 5.11: Estimativas para os parâmetros  $\mu^f$  e  $\phi^f$  do processo de volatilidade dos fatores comuns - mediana, desvio padrão e percentis de 2,5% e 97,5% da cadeia MCMC.

estimativas pontuais dadas pelo ajuste do MF-VE para o mesmo conjunto de taxas de câmbio porém retirando-se a série BRL. Para as médias  $\theta$  foram obtidas estimativas bastante próximas em geral - veja figura 5.1 e tabela 5.13. A matriz  $X$  foi estimada com pesos bastante próximos dos valores no ajuste para o modelo com a série BRL exceto na posição (5,2) em que há subestimação - veja tabela 5.14 e figura 5.2. Essa posição relaciona a moeda THB, que obteve menor nível de log-variância estimado, ao segundo fator tendo pouca importância em relação às demais estimativas. As médias dos processos de log-variância mostram maior concordância entre os ajustes para as maiores estimativas em relação às menores estimativas - veja tabela 5.15

| fator<br>comum       | $\sigma^f$ |      |      |       |
|----------------------|------------|------|------|-------|
|                      | Med        | DP   | 2,5% | 97,5% |
| $\sigma_{\eta 11}^f$ | 0,40       | 0,12 | 0,19 | 0,64  |
| $\sigma_{\eta 22}^f$ | 0,29       | 0,13 | 0,12 | 0,62  |
| $\sigma_{\eta 12}^f$ | 0,22       | 0,07 | 0,09 | 0,38  |

Tabela 5.12: Estimativas para  $\Sigma_\eta^f$  - mediana, desvio padrão e percentis de 2,5% e 97,5% da cadeia MCMC.

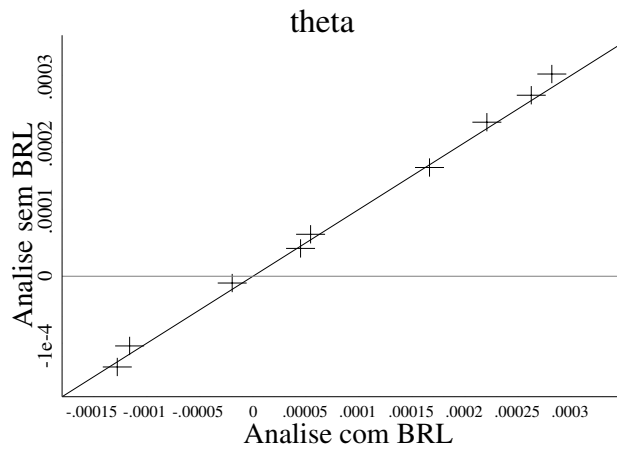


Figura 5.1: Medianas para os elementos de  $\theta$  das análises MCMC para o MF-VE ajustado para as taxas de câmbio com a moeda Real/Brasil, juntamente com e sem a referência da função  $f(x) = x$ .

e figura 5.3. As estimativas dos parâmetros auto-regressivos e variâncias das inovações exibem concordância e são mostradas nas figuras 5.4 e 5.5 e nas tabelas 5.16 e 5.17.

| $\theta$ | Análise c/ BRL |       | Análise s/ BRL |       |
|----------|----------------|-------|----------------|-------|
|          | Med            | DP    | Med            | DP    |
| EUR      | 2,818          | 2,098 | 3,020          | 1,988 |
| JPY      | 1,665          | 2,050 | 1,628          | 2,052 |
| MXN      | -1,279         | 1,318 | -1,354         | 1,335 |
| SGD      | 0,544          | 0,723 | 0,627          | 0,761 |
| THB      | -0,196         | 0,975 | -0,101         | 0,946 |
| KRW      | -1,163         | 1,060 | -1,041         | 1,071 |
| SEK      | 2,625          | 2,073 | 2,703          | 2,001 |
| CHF      | 2,206          | 2,108 | 2,292          | 2,048 |
| GBP      | 0,449          | 1,447 | 0,413          | 1,483 |
| BRL      | 4,122          | 1,899 | -              | -     |

Tabela 5.13: A média  $\theta$  estimada pelos métodos de simulação MCMC e real - valores  $\times 10^{-4}$ .

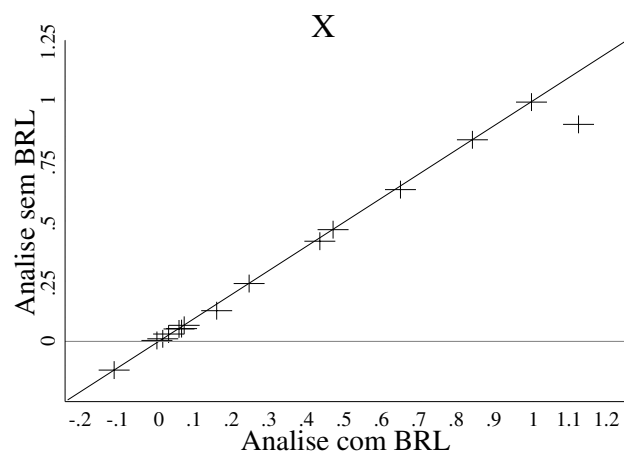


Figura 5.2: Medianas para os elementos irrestritos de  $X$  do MF-VE ajustado para as taxas de câmbio com e sem a moeda Real/Brasil.

| $X_{.1}$ e $X_{.2}$ | Análise c/ BRL |       | Análise s/ BRL |       |
|---------------------|----------------|-------|----------------|-------|
|                     | Med            | DP    | Med            | DP    |
| JPY                 | 0,241          | 0,033 | 0,240          | 0,036 |
| MXN                 | -0,119         | 0,022 | -0,119         | 0,022 |
| SGD                 | 0,068          | 0,012 | 0,067          | 0,012 |
| THB                 | 0,054          | 0,017 | 0,052          | 0,017 |
| KRW                 | 0,011          | 0,017 | 0,011          | 0,017 |
| SEK                 | 0,837          | 0,021 | 0,837          | 0,023 |
| CHF                 | 0,995          | 0,016 | 0,993          | 0,018 |
| GBP                 | 0,465          | 0,020 | 0,464          | 0,021 |
| BRL                 | -0,043         | 0,029 | 0,000          | 0,000 |
| MXN                 | 0,155          | 0,073 | 0,127          | 0,064 |
| SGD                 | 0,645          | 0,078 | 0,630          | 0,068 |
| THB                 | 1,120          | 0,262 | 0,901          | 0,213 |
| KRW                 | 0,430          | 0,078 | 0,416          | 0,073 |
| SEK                 | 0,061          | 0,058 | 0,053          | 0,054 |
| CHF                 | 0,026          | 0,034 | 0,031          | 0,033 |
| GBP                 | -0,005         | 0,058 | 0,004          | 0,052 |
| BRL                 | 0,087          | 0,093 | 0,000          | 0,000 |

Tabela 5.14: Elementos irrestritos da matriz  $X$  estimados pelos métodos de simulação MCMC e real.

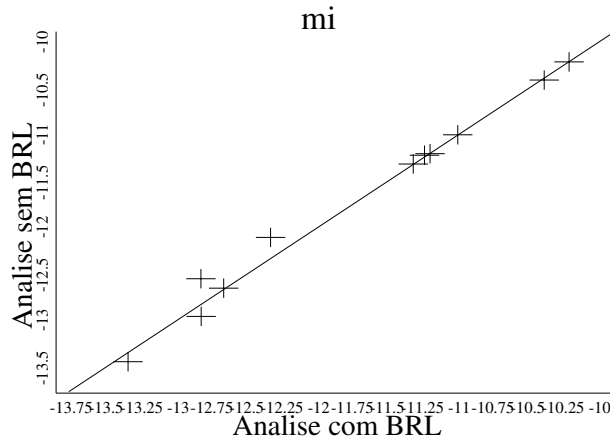


Figura 5.3: Medianas para as médias  $\mu^f$  e  $\mu^\varepsilon$  dos processos de VE dadas pelas análises MCMC para o MF-VE com os dados das taxas de câmbio com e sem a moeda Real/Brasil.

| $\mu$  | Análise c/ BRL |       | Análise s/ BRL |       |
|--------|----------------|-------|----------------|-------|
|        | Med            | DP    | Med            | DP    |
| fator1 | -10,224        | 0,061 | -10,226        | 0,068 |
| fator2 | -12,348        | 0,332 | -12,120        | 0,293 |
| EUR    | -13,363        | 0,424 | -13,460        | 0,727 |
| JPY    | -10,401        | 0,124 | -10,422        | 0,122 |
| MXN    | -11,016        | 0,098 | -11,013        | 0,097 |
| SGD    | -12,842        | 0,259 | -12,972        | 0,317 |
| THB    | -12,844        | 0,604 | -12,565        | 0,510 |
| KRW    | -11,333        | 0,192 | -11,328        | 0,187 |
| SEK    | -11,253        | 0,118 | -11,233        | 0,121 |
| CHF    | -12,682        | 0,252 | -12,667        | 0,265 |
| GBP    | -11,213        | 0,173 | -11,216        | 0,177 |
| BRL    | -9,808         | 0,336 | 0,000          | 0,000 |

Tabela 5.15: Médias dos processos de VE  $\mu^f$  e  $\mu^\varepsilon$  estimadas pelos métodos de simulação MCMC e seus valores reais.

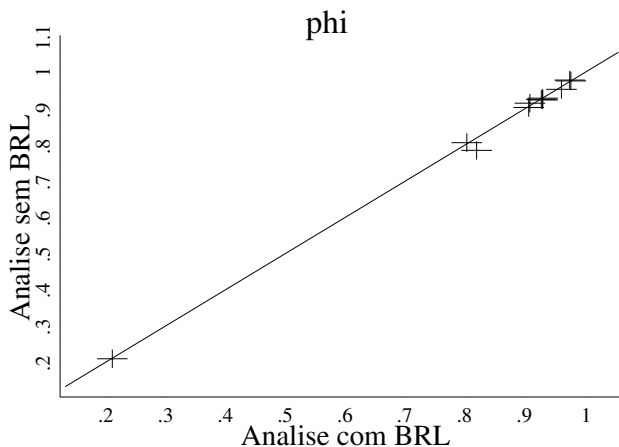


Figura 5.4: Medianas para os coeficientes auto-regressivos  $\phi^f$  e  $\phi^\varepsilon$  dos processos de VE dadas pelas análises MCMC para o MF-VE com os dados das taxas de câmbio com e sem a moeda Real/Brasil.

| $\phi$ | Análise c/ BRL |       | Análise s/ BRL |       |
|--------|----------------|-------|----------------|-------|
|        | Med            | DP    | Med            | DP    |
| fator1 | 0,207          | 0,151 | 0,205          | 0,155 |
| fator2 | 0,817          | 0,084 | 0,782          | 0,098 |
| EUR    | 0,972          | 0,044 | 0,977          | 0,074 |
| JPY    | 0,906          | 0,099 | 0,913          | 0,094 |
| MXN    | 0,800          | 0,059 | 0,804          | 0,057 |
| SGD    | 0,927          | 0,031 | 0,922          | 0,030 |
| THB    | 0,959          | 0,024 | 0,951          | 0,024 |
| KRW    | 0,925          | 0,024 | 0,924          | 0,025 |
| SEK    | 0,904          | 0,044 | 0,901          | 0,041 |
| CHF    | 0,927          | 0,026 | 0,927          | 0,026 |
| GBP    | 0,974          | 0,015 | 0,975          | 0,016 |
| BRL    | 0,966          | 0,014 | -              | -     |

Tabela 5.16: Coeficientes auto-regressivos dos processos de VE estimados pelos métodos de simulação MCMC e os valores reais.

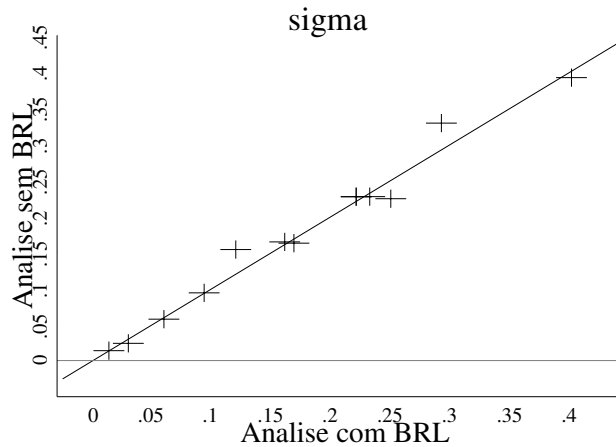


Figura 5.5: Medianas para as variâncias e covariâncias em  $\Sigma_\eta^f$  e  $\sigma_\eta^\varepsilon$  dos processos de VE dadas pelas análises MCMC para o MF-VE com os dados das taxas de câmbio com e sem a moeda Real/Brasil.

| $\sigma_\eta$ | Análise c/ BRL |       | Análise s/ BRL |       |
|---------------|----------------|-------|----------------|-------|
|               | Med            | DP    | Med            | DP    |
| fator1        | 0,400          | 0,117 | 0,391          | 0,112 |
| fatores 1 e 2 | 0,220          | 0,075 | 0,227          | 0,082 |
| fator2        | 0,220          | 0,075 | 0,227          | 0,082 |
| EUR           | 0,291          | 0,130 | 0,328          | 0,134 |
| JPY           | 0,030          | 0,044 | 0,024          | 0,038 |
| MXN           | 0,059          | 0,085 | 0,057          | 0,079 |
| SGD           | 0,231          | 0,084 | 0,227          | 0,084 |
| THB           | 0,119          | 0,072 | 0,154          | 0,091 |
| KRW           | 0,249          | 0,139 | 0,224          | 0,129 |
| SEK           | 0,160          | 0,053 | 0,164          | 0,058 |
| CHF           | 0,093          | 0,051 | 0,094          | 0,049 |
| GBP           | 0,168          | 0,069 | 0,162          | 0,064 |
| BRL           | 0,013          | 0,008 | 0,014          | 0,008 |

Tabela 5.17: Variâncias (e covariância) das inovações dos processos de VE estimadas pelos métodos de simulação MCMC e seus valores reais.

# Capítulo 6

## Considerações Finais

Foram aplicados os métodos de simulação MCMC para conjuntos de dados simulados para os quais as cadeias geradas exibem menor auto-correlação para a análise MCMC com blocos aumentando a eficiência do algoritmo. De uma forma geral os métodos de simulação estudados produzem boas estimativas para os parâmetros e variáveis latentes do MF-VE apresentando maiores diferenças nas estimativas dos parâmetros dos modelos de VE coeficiente auto-regressivo e variância/covariância das inovações e na média do modelo de fatores. Pelas aplicações realizadas as diferenças não determinam um método como melhor para estimar os parâmetros do modelo em geral.

Foi verificada a suposição de matriz de variâncias e covariâncias variante no tempo e retornos relacionados a fatores comuns para um conjunto de 10 taxas de câmbio. A partir de uma estrutura fatorial proposta com base em fatores relacionados às moedas Yen e Libra Esterlina, são interpretados esses fatores, a correlação variável-fator, os grupos de moedas correlacionadas identificados e o percentual de variância específica destas moedas para o período. A análise do modelo de fatores para as taxas de câmbio estaria completa com o estudo de estimativas de previsão pelo MF-VE, o que tem sido realizado na literatura para modelos de VE através do método de Monte Carlo sequencial.

# Apêndice A

## Simulação de Monte Carlo - Cadeia de Markov

O método de simulação **MCMC** realiza integração de Monte Carlo utilizando Cadeias de Markov. É utilizado na estatística bayesiana para integrar sobre a distribuição a posteriori dos parâmetros do modelo condicionado aos dados e na estatística freqüentista para integrar nas distribuições das variáveis observáveis condicionado aos valores dos parâmetros. A integração de Monte Carlo gera amostras da distribuição relacionada e toma médias amostrais para aproximar esperanças. **MCMC** gera essas amostras formando uma Cadeia de Markov longa no tempo. Existem muitas formas de construir essas cadeias mas todas, incluindo o amostrador de Gibbs - Geman e Geman (1984), são casos particulares da forma geral de Metropolis *et al* (1953) e Hastings (1970).

### A.1 O algoritmo de Metropolis

Dada uma distribuição  $p(\theta|y)$  que pode ser computada a menos de uma constante normalizadora o algoritmo de Metropolis cria uma seqüência de pontos aleatórios  $(\theta^{(1)}, \theta^{(2)}, \dots)$  cuja distribuição converge para a distribuição de interesse  $p(\theta|y)$ . O algoritmo procede da seguinte forma

- observa um ponto inicial  $\theta^0$  (com  $p(\theta^0|y) > 0$ ) de uma distribuição inicial  $p_0(\theta^0)$  - pode ser resultado de amostragem por importânciā.
- para  $t = 1, 2, \dots$ 
  - (a) amostra um ponto candidato  $\theta^*$  na iteração  $t$  de uma distribuição  $J_t(\theta^*|\theta^{t-1})$  (regra de transição) que deve ser simétrica no sentido que  $J_t(\theta_b|\theta_a) = J_t(\theta_a|\theta_b)$  para quaisquer  $t, a, b$ .
  - (b) calcula a razão das densidades

$$r = \frac{p(\theta^*|y)}{p(\theta^{t-1}|y)}$$

- (c) a cadeia se move em  $t$  para  $\theta^*$  ( $\theta^t = \theta^*$ ) com probabilidade  $\min\{1, r\}$  e caso contrário não se move permanecendo em  $\theta^{t-1}$  ( $\theta^t = \theta^{t-1}$ )

A prova de que a seqüênciā  $(\theta^{(1)}, \theta^{(2)}, \dots)$  converge para a distribuição de interesse envolve dois passos. Primeiro a seqüênciā gerada é uma Cadeia de Markov com distribuição estacionária única - processo é irredutível, aperiódico e não transitente. Em seguida a distribuição estacionária única é a distribuição de interesse - ver Gelman, Carlin, Stern e Rubin (1996) cap.11 p.325. O algoritmo de Metropolis-Hastings generaliza o algoritmo de Metropolis em dois sentidos. Primeiro a regra de transição  $J_t$  não precisa ser simétrica ou seja não é necessário que  $J_t(\theta_b|\theta_a) = J_t(\theta_a|\theta_b)$ . Em segundo lugar para corrigir o erro de assimetria na regra de transição a razão  $r$  é substituída por uma razão de razões de importânciā

$$r = \frac{p(\theta^*|y)/J_t(\theta^*|\theta^{t-1})}{p(\theta^{t-1}|y)/J_t(\theta^{t-1}|\theta^*)}$$

que é sempre definida pois o movimento só ocorre se forem  $J_t(\theta^*|\theta^{t-1})$  e  $p(\theta^{t-1}|y)$  não zeros. Permitir regras *jumping* assimétricas pode ajudar a aumentar a velocidade de convergência do passeio aleatório.

## A.2 O amostrador de Gibbs

O amostrador de Gibbs é um algoritmo particular de geração de cadeia de Markov muito útil em problemas multidimensionais. É definido em termos de subvetores do parâmetro de interesse: suponha o vetor  $\theta$  dividido em d componentes ou subvetores  $\theta = (\theta_1, \dots, \theta_d)$  e em cada iteração o algoritmo percorre os d subvetores de  $\theta$  amostrando cada subvetor condicionado aos valores amostrados mais recentes dos demais. Assim em cada iteração t do algoritmo existem d passos e para uma ordem escolhida  $\theta_j^{(t)}$  é amostrado

$$\theta_j^{(t)} \sim p(\theta_j | \theta_{\setminus j}, y)$$

com  $\theta_{\setminus j} = (\theta_1^{(t)}, \dots, \theta_{j-1}^{(t)}, \theta_{j+1}^{(t-1)}, \dots, \theta_d^{(t-1)})$  ou seja, todos os componentes de  $\theta$  nos seus valores correntes exceto  $\theta_j$ .

O amostrador de Gibbs pode ser visto como um caso particular do algoritmo de Metropolis-Hastings. Na sua iteração  $(t, j)$  - iteração t e bloco j, temos a densidade condicional a posteriori de  $\theta_j$  dado  $\theta_{\setminus j}$

$$J_{t,j}^{Gibbs}(\theta^* | \theta^{t-1}) = \begin{cases} p(\theta_j^* | \theta_{\setminus j}^{t-1}, y) & \text{se } \theta_{\setminus j}^* = \theta_{\setminus j}^{t-1} \\ 0 & \text{cc,} \end{cases}$$

e a razão das razões de importância no j-ésimo passo da iteração t é:

$$\begin{aligned} r &= \frac{p(\theta^* | y) / J_{j,t}^{Gibbs}(\theta^* | \theta^{t-1})}{p(\theta^{t-1} | y) / J_{j,t}^{Gibbs}(\theta^{t-1} | \theta^*)} \\ &= \frac{p(\theta^* | y) / p(\theta_j^* | \theta_{\setminus j}^{t-1}, y)}{p(\theta^{t-1} | y) / p(\theta_j^{t-1} | \theta_{\setminus j}^{t-1}, y)} \\ &= \frac{p(\theta_{\setminus j}^{t-1} | y)}{p(\theta_{\setminus j}^{t-1} | y)} = 1 \end{aligned}$$

logo todo movimento é aceito.

## Apêndice B

# Simulação e Filtragem em Modelos de Espaços de Estados

Nesse apêndice são brevemente descritos os métodos de simulação e filtragem para modelos de espaços de estados utilizados neste trabalho. O suavizador-simulador de Jong e Shephard (**SSCO**) é utilizado para gerar amostras de estados condicionados às observações e parâmetros. O algoritmo **FFBS** de West e Harrisson tem o mesmo propósito que o **SSCO** e é o simulador de estados utilizado em Aguilar e West (2000) e neste trabalho foi utilizado como referência ao desempenho de convergência do **SSCO**. O método de Descontos descrito na última subseção é utilizado para obter estimativas filtradas e suavizadas da matriz de variâncias e covariâncias (matriz-estado) de uma série de tempo multivariada e é utilizada na análise inicial para estimar o processo da matriz de variâncias e covariâncias variante no tempo.

### B.1 O suavizador-simulador de Jong e Shephard

Suponha que condicionada a  $\omega = (\omega_0; \dots; \omega_n)$  a série  $y_t$  é gerada pelo modelo de espaços de estados

$$y_t = X_t\beta + Z_t\alpha_t + G_t u_t, (t = 1, \dots, n)$$

$$\alpha_{t+1} = W_t \beta + T_t \alpha_t + H_t u_t, (t = 0, 1, \dots, n)$$

com  $\alpha_0 = 0$ , as matrizes de sistema podendo depender de  $\omega_t$  e os  $u_t$  distribuídos  $N(0, \sigma^2 I)$  independentes. O algoritmo amostra  $\eta \sim p(\eta|y, \omega)$  com  $\eta = (\eta_0; \eta_1; \dots; \eta_n)$ ,  $\eta_t = F_t u_t$  para  $F_t$  matriz arbitrária. Inicialmente, é executado para  $t = 1, \dots, n$  o filtro de Kalman

$$\begin{aligned} e_t &= y_t - X_t \beta + Z_t a_t \\ D_t &= Z_t P_t Z_t' + G_t G_t' \\ K_t &= (T_t P_t Z_t' + H_t G_t') D_t^{-1} \\ a_{t+1} &= W_t \beta + T_t a_t + K_t e_t \\ P_{t+1} &= T_t P_t L_t' + H_t J_t' \end{aligned}$$

com  $a_1 = W_0 \beta$ ,  $P_1 = H_0 H_0'$ ,  $L_t = T_t - K_t Z_t$  e  $J_t = H_t - K_t G_t$ . Nesse passo do filtro de Kalman  $e_t$ ,  $D_t$  e  $K_t$  são armazenados. Fazendo  $r_n = 0$  e  $U_n = 0$  é executado para  $t = n, \dots, 1$

$$\begin{aligned} C_t &= F_t (I - G_t' D_t^{-1} G_t - J_t' U_t J_t) F_t' \\ \varepsilon_t &\sim N(0, \sigma^2 C_t) \\ V_t &= F_t (G_t' D_t^{-1} Z_t + J_t' U_t L_t) \\ r_{t-1} &= Z_t' D_t^{-1} e_t + L_t' r_t - V_t' C_t^{-1} \varepsilon_t \\ U_{t-1} &= Z_t' D_t^{-1} Z_t + L_t' U_t L_t + V_t' C_t^{-1} V_t \end{aligned}$$

do qual é armazenado  $\eta_t = F_t (G_t' D_t^{-1} e_t + J_t' r_t) + \varepsilon_t$  para o qual  $G_0 = 0$ . O vetor  $\eta = (\eta_0; \eta_1; \dots; \eta_n)$  é uma amostra de  $p(\eta|y, \omega)$ . Fazendo  $F_t = G_t$  ou  $F_t = H_t$  a amostra de  $\eta_t$  corresponde ao ruído de estado  $H_t u_t$  e de medida  $G_t u_t$  respectivamente.

## B.2 O algoritmo FFBS de West Harrisson

O modelo linear dinâmico (**DLM**) multivariado definido em West Harrisson (1997) é

$$Y_t = F_t' \theta_t + \nu_t, \nu_t \sim N(0, V_t) \quad (\text{B.1})$$

$$\theta_t = G_t' \theta_{t-1} + w_t, w_t \sim N(0, W_t) \quad (\text{B.2})$$

com seqüências de erro  $\nu_t$  e  $w_t$  independentes e o estado  $\theta_t$  n-dimensional. O modelo é denotado pela quádrupla  $\{F_t, G_t, V_t, W_t\}$  para cada tempo t com matrizes de sistema conhecidas  $F_t$   $n \times r$ ,  $G_t$   $n \times n$ ,  $V_t$   $r \times r$  matriz de variâncias e covariâncias dos erros observacionais e  $W_t$   $n \times n$  matriz de variâncias e covariâncias dos erros de evolução. Denotando a informação disponível para previsão no tempo  $t$  como  $D_t = \{Y_t, D_{t-1}\}$  atualizada sequêncialmente com a observação dos valores de  $Y_t$  a partir de um conjunto de informações inicial  $D_0$ , para o modelo (B.1)-(B.2) temos as distribuições de previsão 1 passo a frente e a posteriori para cada t como segue

(a) Posteriori em  $t - 1$ :

com uma media  $m_{t-1}$  e matriz de variâncias e covariâncias  $C_{t-1}$ ,

$$(\theta_{t-1}|D_{t-1}) \sim N(m_{t-1}, C_{t-1})$$

(b) Priori em  $t$ :

$$(\theta_t|D_{t-1}) \sim N(a_t, R_t)$$

com  $a_t = G_t m_{t-1}$  e  $R_t = G_t C_{t-1} G_t' + W_t$

(c) Previsão de um passo a frente:

$$(Y_t|D_{t-1}) \sim N(f_t, Q_t)$$

com  $f_t = F_t' a_t$  e  $Q_t = F_t' R_t F_t + V_t$ .

(d) Posteriori em  $t$ :

$$(\theta_t|D_t) \sim N(m_t, C_t)$$

com  $m_t = a_t + A_t e_t$ ,  $C_t = R_t - A_t Q_t A_t'$ ,  $A_t = R_t F_t Q_t^{-1}$  e  $e = Y_t - f_t$ .

Para simulação dos estados  $\theta_0, \theta_1, \dots, \theta_n$  são amostrados individualmente como

(1) amostra  $\theta_n$  de  $(\theta_n|D_n) \sim N(m_n, C_n)$

(2) para  $t = n - 1, n - 2, \dots, 0$  amostra  $\theta_t$  de  $p(\theta_t|\theta_{t+1}, D_t)$  com  $\theta_{t+1}$  o valor mais recente amostrado

O passo (2) é realizado sequênciando

$$(\theta_t | \theta_{t+1}, D_t) \sim N(h_t, H_t) \quad (\text{B.3})$$

$$h_t = m_t + B_t(\theta_{t+1} - a_{t+1}) \quad (\text{B.4})$$

$$H_t = C_t - B_t R_{t+1} B_t' \quad (\text{B.5})$$

$$B_t = C_t G_{t+1}' R_{t+1}' \quad (\text{B.6})$$

para cada  $t$ . Portanto no processo de amostragem de  $\theta$  em um primeiro estágio para  $t = 0$  até  $t = n$  são calculados e armazenados  $m_t$ ,  $C_t$ ,  $a_t$ ,  $R_t$  e  $B_t$  e em seguida, em  $t = n$  um vetor  $\theta_n$  é amostrado e seguindo até  $t = 0$  sequêncialmente o cálculo de  $h_t$  e  $H_t$  para geração  $\theta_t$ . Essa estrutura para a amostragem justifica a terminologia *Forward-Filtering-Backward-Sampling* (**FFBS**).

### B.3 O método de descontos e a análise inicial para o MF-VE

Nessa seção é apresentado de forma bastante resumida a estimativa do processo evolução de matrizes de variâncias e covariâncias de séries multivariadas utilizando modelos de descontos para uma descrição detalhada e referências ver West e Harrisson (1997 capítulo 16). A partir de generalizações multivariadas aplicadas ao modelo (ler cap10)... No tempo  $t$  a distribuição a posteriori para  $\Sigma_t$  é uma Wishart inversa  $p(\Sigma_t | D_t) \sim W_{n_t}^{-1}(\Sigma_t | S_t)$  com  $n_t$  graus de liberdade e  $S_t$  matriz de escala. A seqüência  $S_t$  é atualizada sequêncialmente no tempo

$$S_t = (\delta n_{t-1} S_{t-1} + e_t e_t' / Q_t) / n_t \quad (\text{B.7})$$

para  $n_t = \delta n_{t-1} + 1$  e fator de descontos  $\delta$  tal que  $0 < \delta < 1$ . Para  $t$  grande  $n_t$  vale  $(1 - \beta)^{-1}$  e  $S_t$  é dada por

$$S_t \approx (1 - \beta) \sum_{r=0}^{t-1} \beta^r e_{t-r} e_{t-r}' / Q_{t-r} \quad (\text{B.8})$$

logo as variâncias e covariâncias estimadas entre as séries são médias móveis de variâncias e covariâncias passadas ponderadas exponencialmente. As estimativas  $\delta_t$  são então revisadas pelas equações de suavização para  $t = n - 1$  até  $t = 1$

$$S_{t,n}^{-1} = (1 - \delta)S_t^{-1} + \delta S_{t+1,n}^{-1} \quad (\text{B.9})$$

iniciando com  $S_{n,n} = S_n$ .

Em Aguilar e West (2000) a análise inicial proposta é uma aproximação para o modelo **MF-VE** (2.5)-(2.11). Aplicada às estimativas suavizadas da matriz de variâncias e covariâncias  $\Sigma_t$  das séries  $y_t$  esta análise fornece um conhecimento a priori da forma do restante dos dados e é utilizada para determinar hiperparâmetros das prioris dos parâmetros do **MF-VE** utilizadas na análise bayesiana. Em uma primeira etapa são tomadas estimativas suavizadas  $S_{t,0}$  da matriz de variâncias e covariâncias  $\Sigma_t$ ,  $t = -v, \dots, 0$ , de um trecho inicial de  $v + 1$  observações das séries  $y_t$  pelo método de Descartos e em seguida a cada matriz  $S_{t,0}$ ,  $t = -v, \dots, 0$ , é aplicada a fatoração de Choleski  $L_t L_t' = S_{t,0}$ . Da sequência dos elementos da diagonal de  $L_t$  são selecionadas as  $k$  sequências de médias maiores como estimativas dos desvios padrões dos  $k$  processos dos fatores  $h_{it}^{1/2}$ ,  $i = 1, \dots, k$ . A partir do logaritmo destas sequências ao quadrado são estimados parâmetros de um processo auto regressivo levando às estimativas de  $[\phi^f, \Sigma_\eta^f, \mu^f]$ . A matriz  $X$  é estimada tomando a média das matrizes de  $k$  colunas extraídas de  $L_t$  com cada elemento da diagonal valendo 1. Em seguida os parâmetros de  $q - k$  processos de **VE-AR(1)** dos processos dos erros específicos são estimados a partir da estimação do modelo AR(1) aplicada às  $q - k$  séries não nulas da diferença  $\Psi_t = S_{t,0} + X H_t X'$ .

# **Apêndice C**

## **Cadeias de Markov para os parâmetros do MF-VE**

Esse apêndice contém os gráficos das amostras extraídas das cadeias MCMC, os histogramas e as funções de auto-correlação para os parâmetros do MF-VE da análise de dados simulados sem blocos e com blocos do capítulo 4.

### **C.1 Simulação MCMC sem blocos**

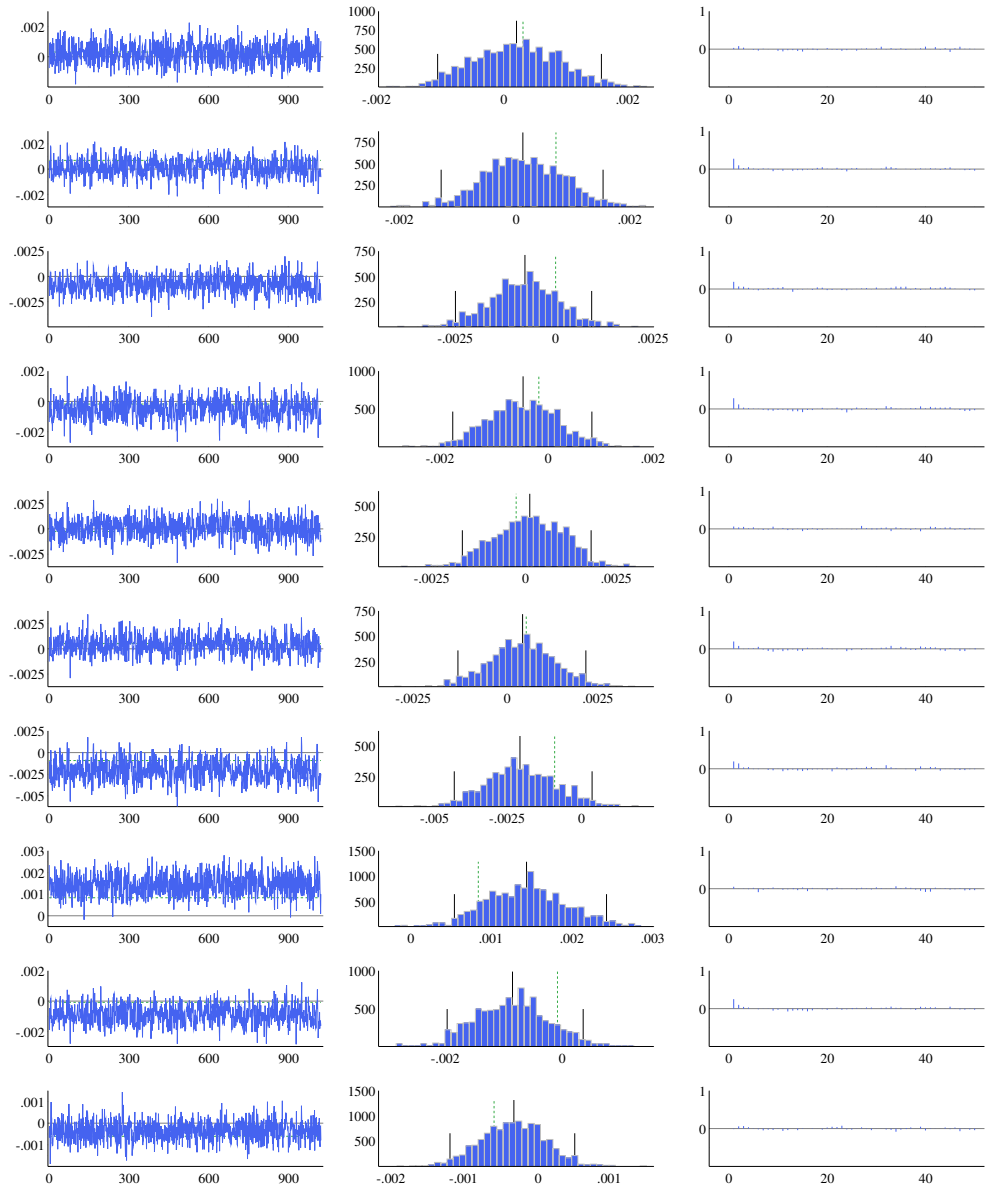


Figura C.1: Análise MCMC sem blocos para as médias  $\theta_i$ . As linhas pontilhadas nos gráficos da cadeia MCMC e nos gráficos das densidades indicam o valor real do parâmetro. As linhas nos gráficos das densidades são os valores para a mediana e os percentis de 2,5% e 97,5% da cadeia.

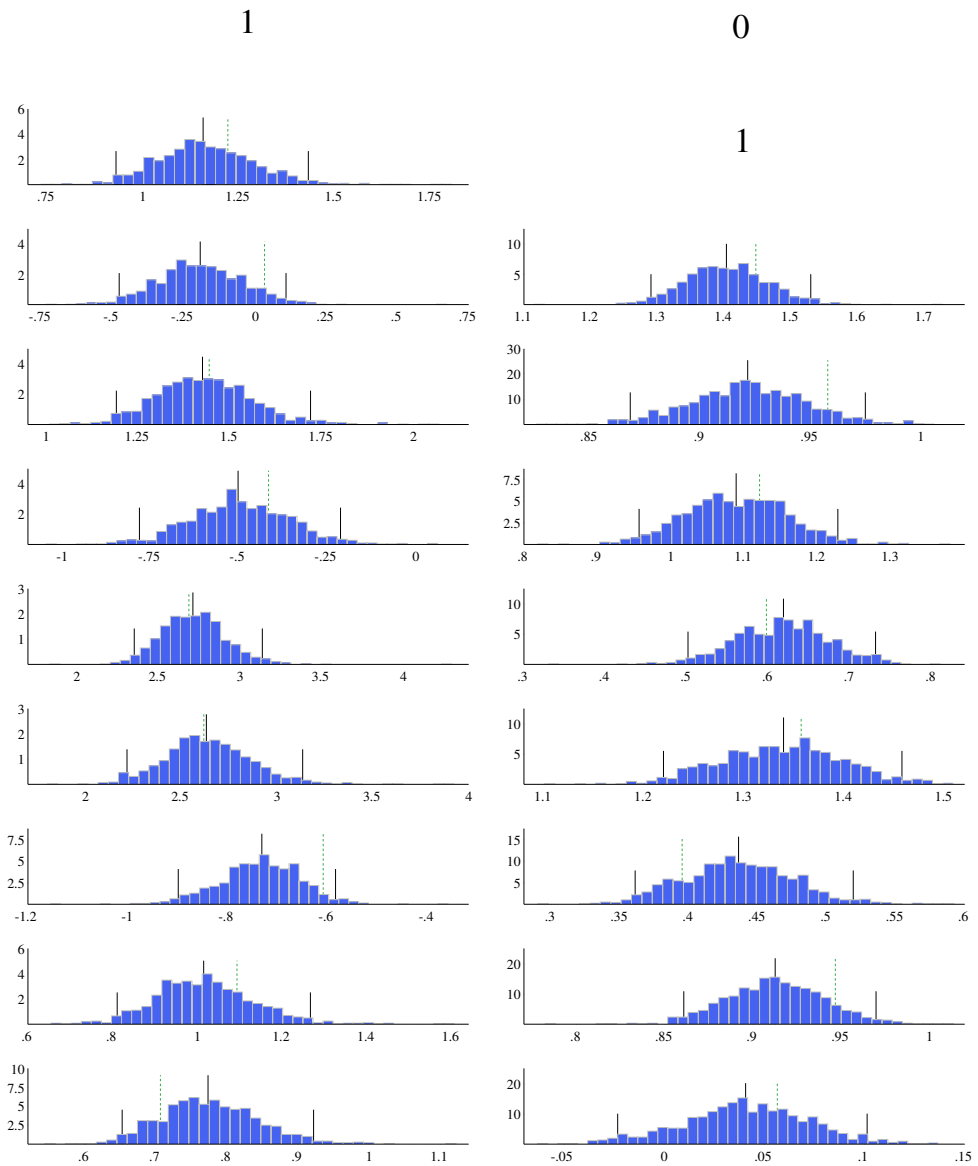


Figura C.2: Histogramas para a cadeia MCMC gerada para os elementos irrestritos da matriz de cargas  $X$ . As linhas verticais representam os percentis de 2,5%, 97,5% e o valor real do parâmetro utilizado na simulação.

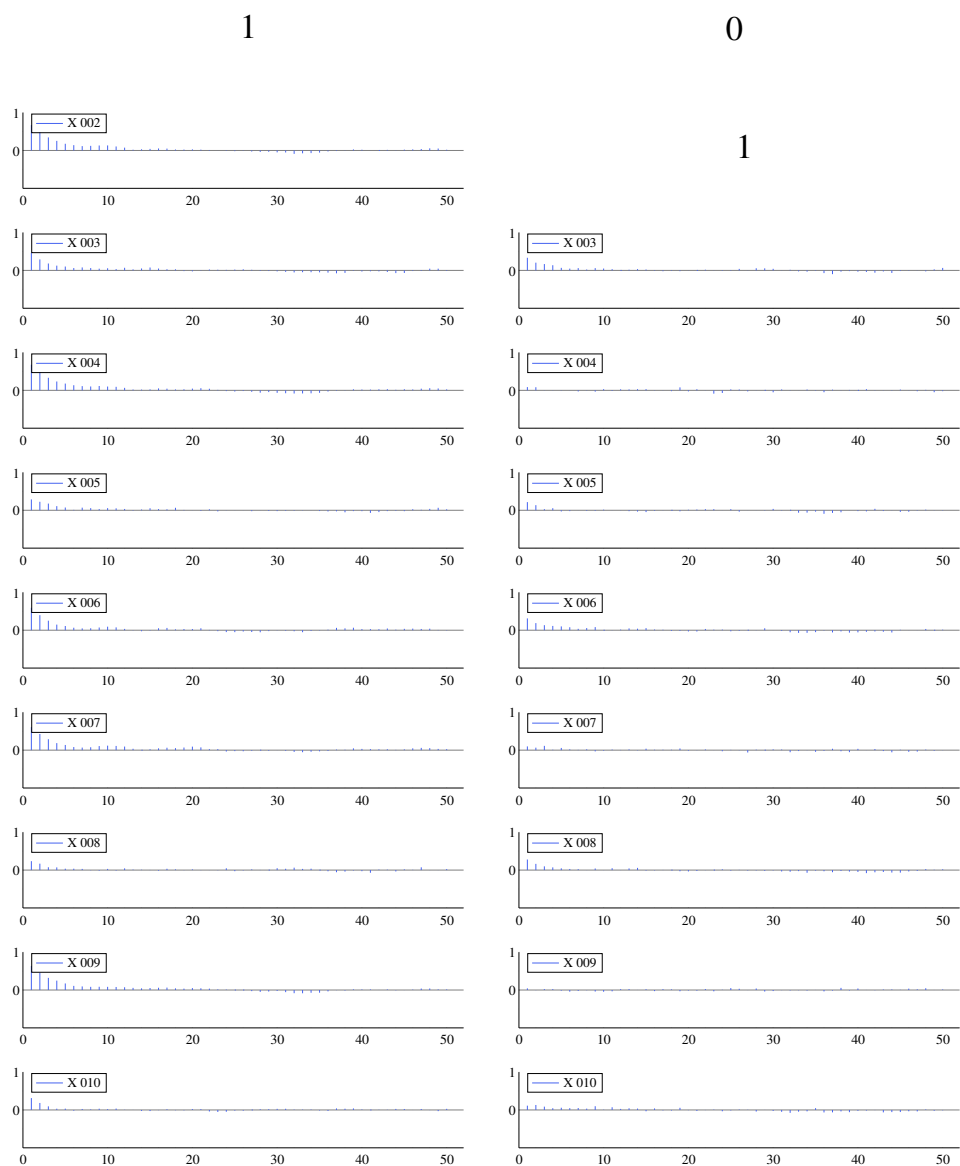


Figura C.3: Função de auto-correlação para os valores da cadeia MCMC gerada para os elementos irrestritos da matriz de Cargas X.

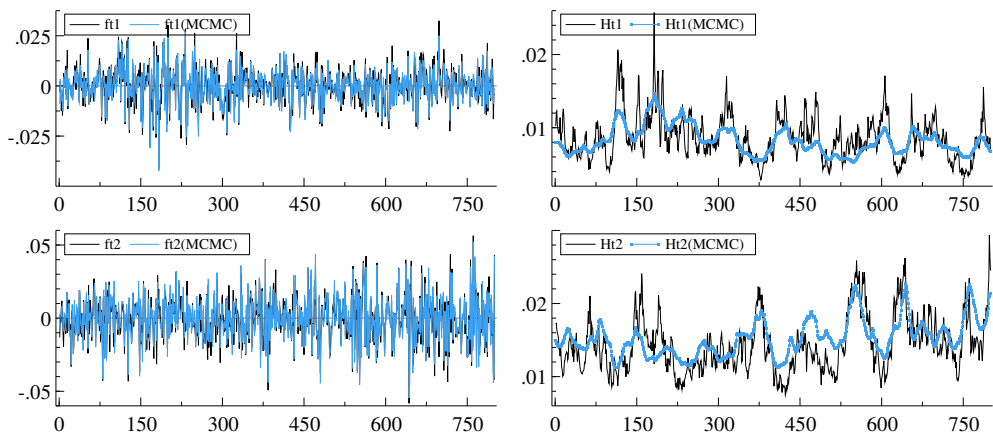


Figura C.4: Fatores extraídos do conjunto de séries analisadas e seus desvios padrões condicionais.

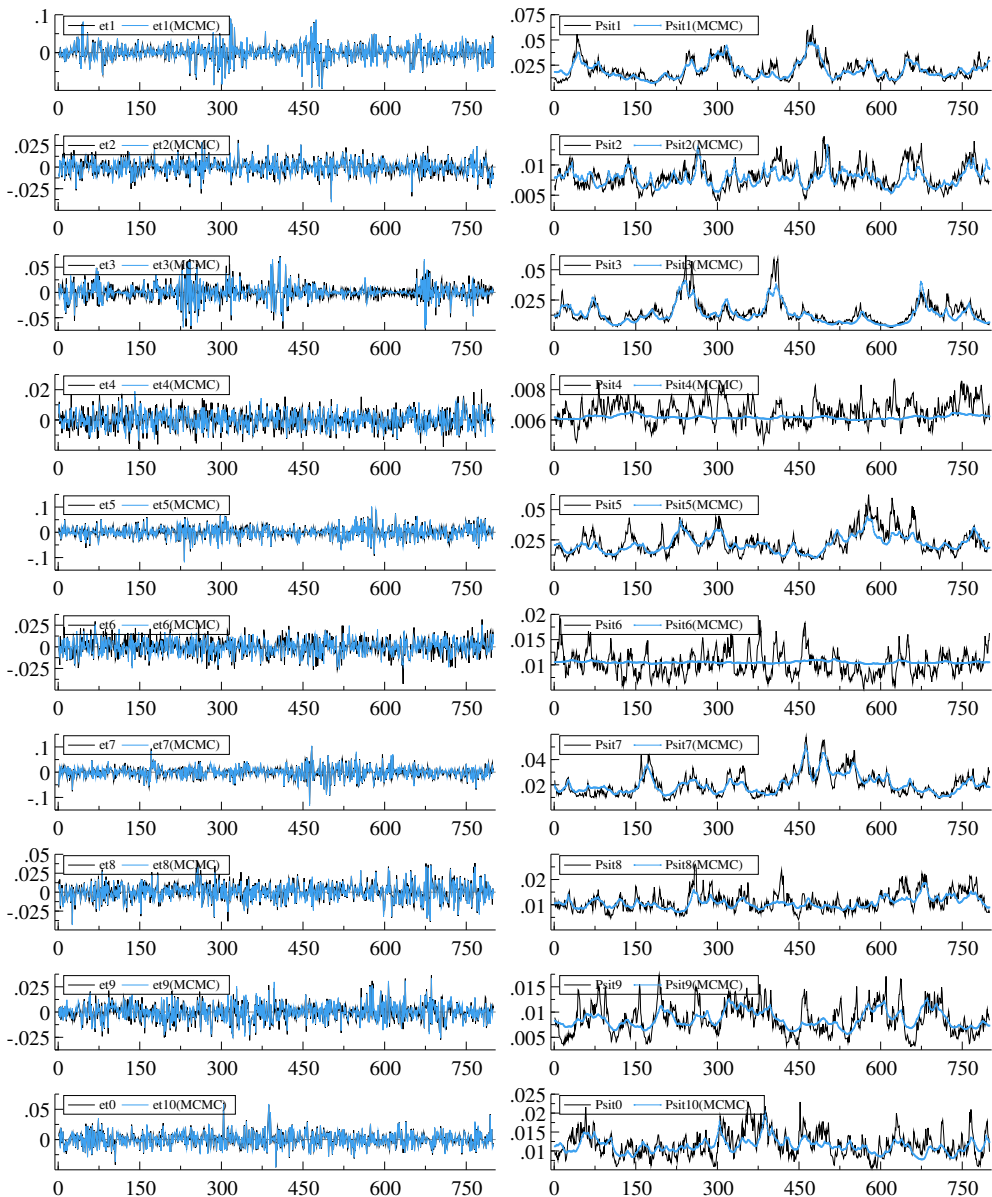


Figura C.5: Efeitos específicos extraídos do conjunto de séries analisadas e seus desvios padrões condicionais.

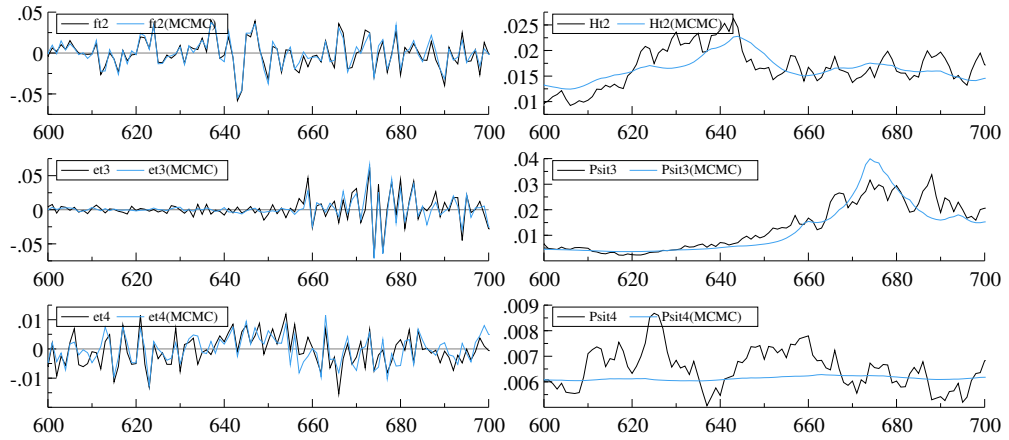


Figura C.6:  $f_{2t}$ ,  $\varepsilon_{3t}$  e  $\varepsilon_{4t}$  para  $t = 600, \dots, 700$  e desvios padrões condicionais.

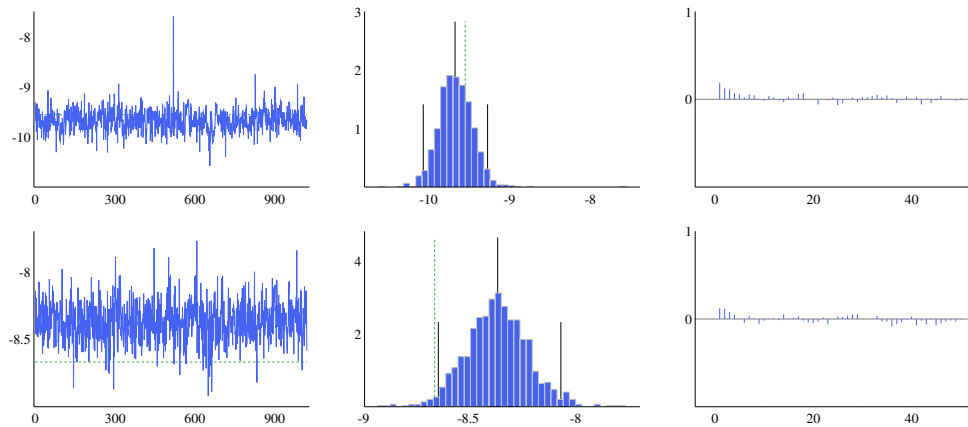


Figura C.7: Cadeia MCMC, histograma e função de auto-correlação para as médias do processo de VE dos fatores comuns  $\mu^f$ .

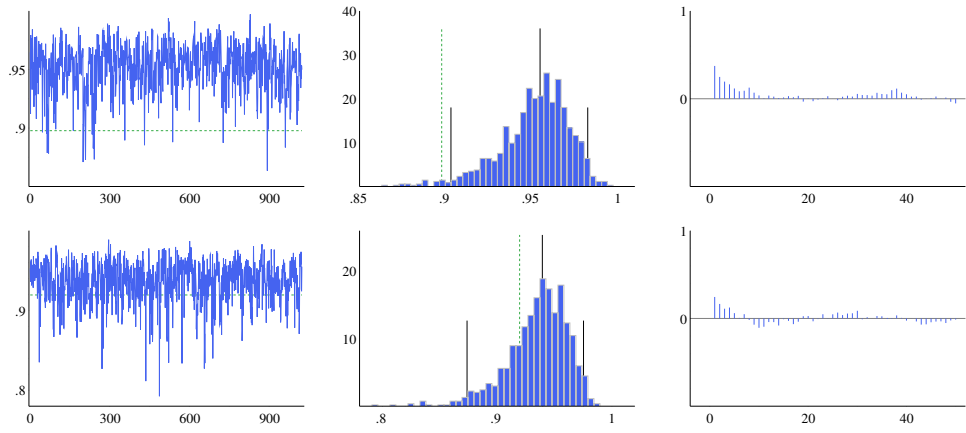


Figura C.8: Cadeia MCMC, histograma e função de auto-correlação para os coeficientes auto-regressivos  $\phi^f$  do processo de VE dos fatores comuns.

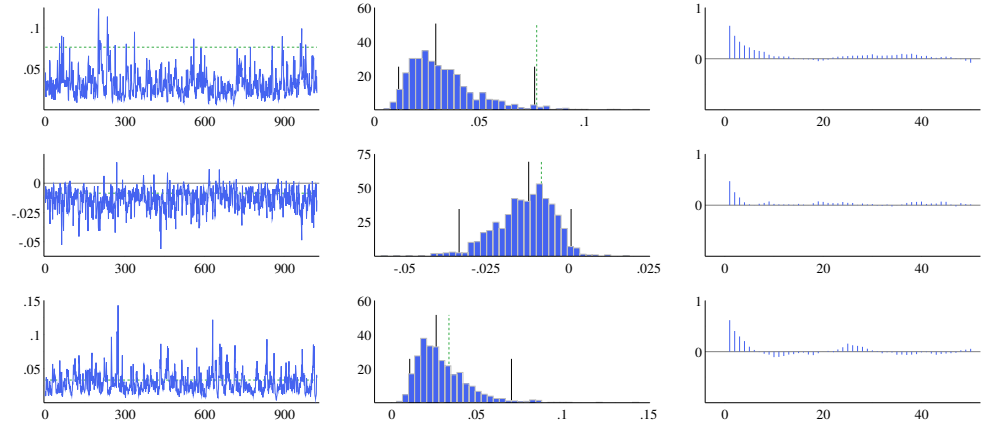


Figura C.9: Cadeia MCMC, histograma e função de auto-correlação para os elementos da matriz de variâncias das invocações do processo de VE dos fatores comuns  $\Sigma_\eta^f$ .

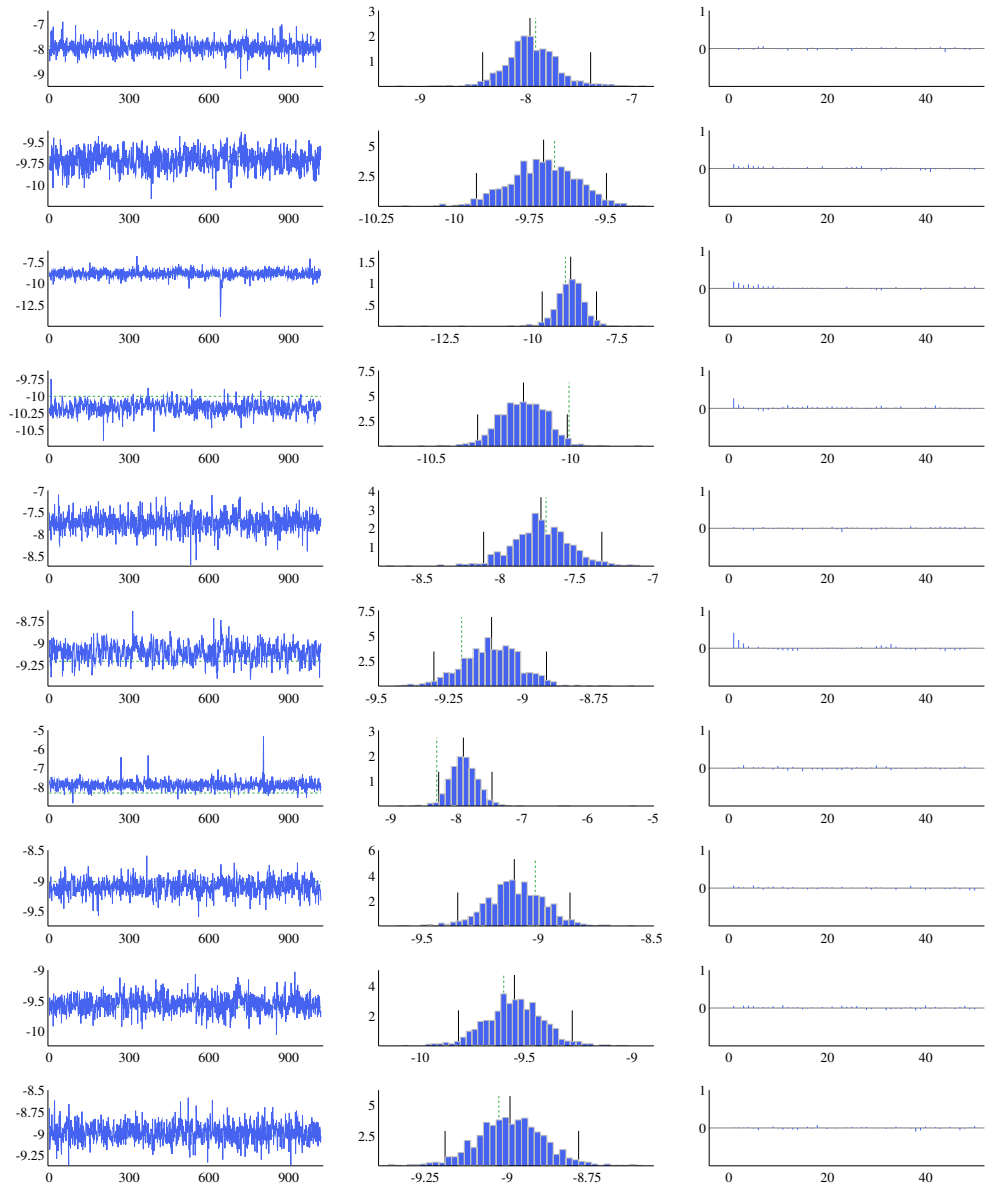


Figura C.10: Cadeia MCMC, histograma e função de auto-correlação para as médias  $\mu^\varepsilon$  dos processos de VE dos efeitos específicos.

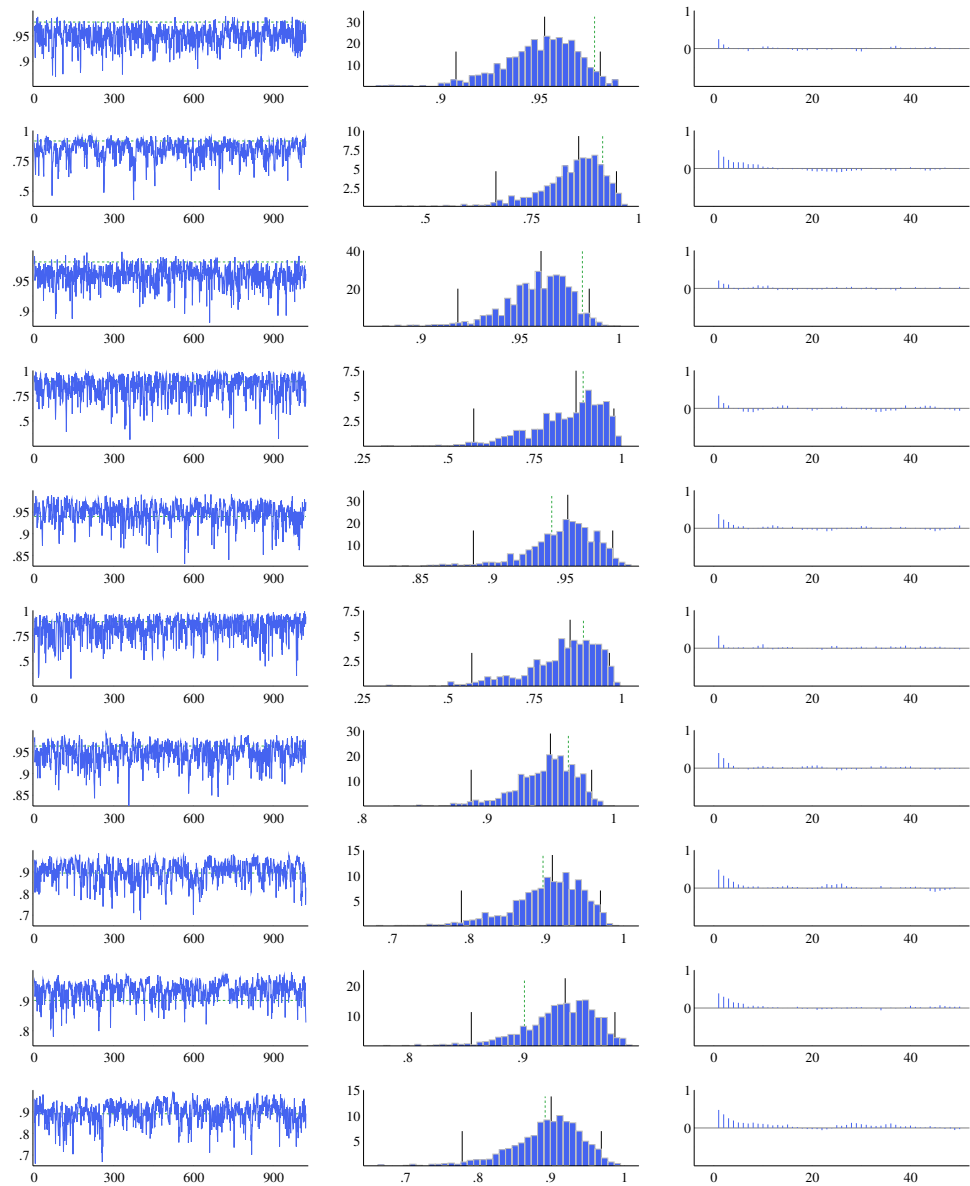


Figura C.11: Cadeia MCMC, histograma e função de auto-correlação para os coeficientes auto-regressivos  $\phi^e$  do processo de VE dos efeitos específicos.

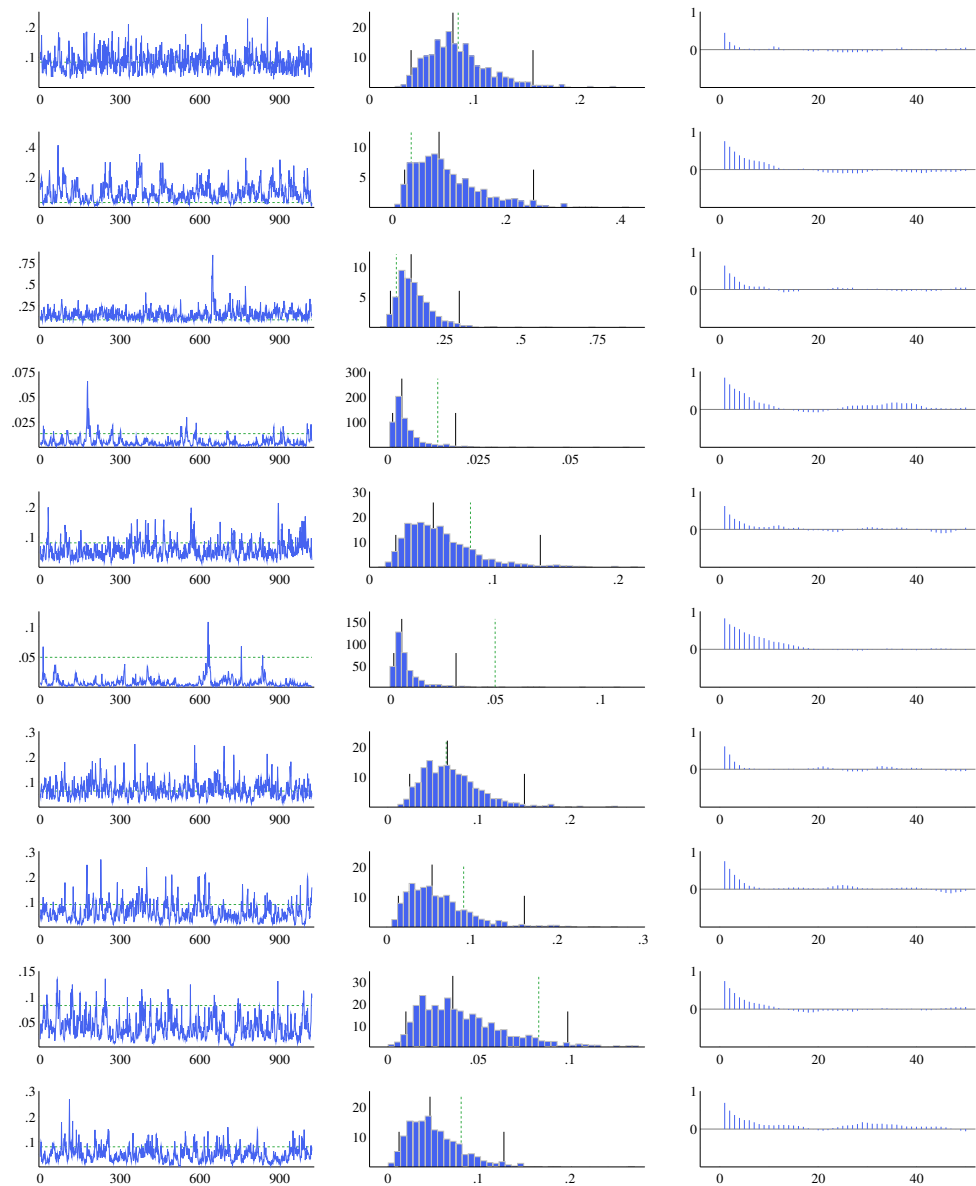


Figura C.12: Cadeia MCMC, histograma e função de auto-correlação para as variâncias das invocações  $\sigma_{\eta}^{\varepsilon}$  do processo de VE dos efeitos específicos.

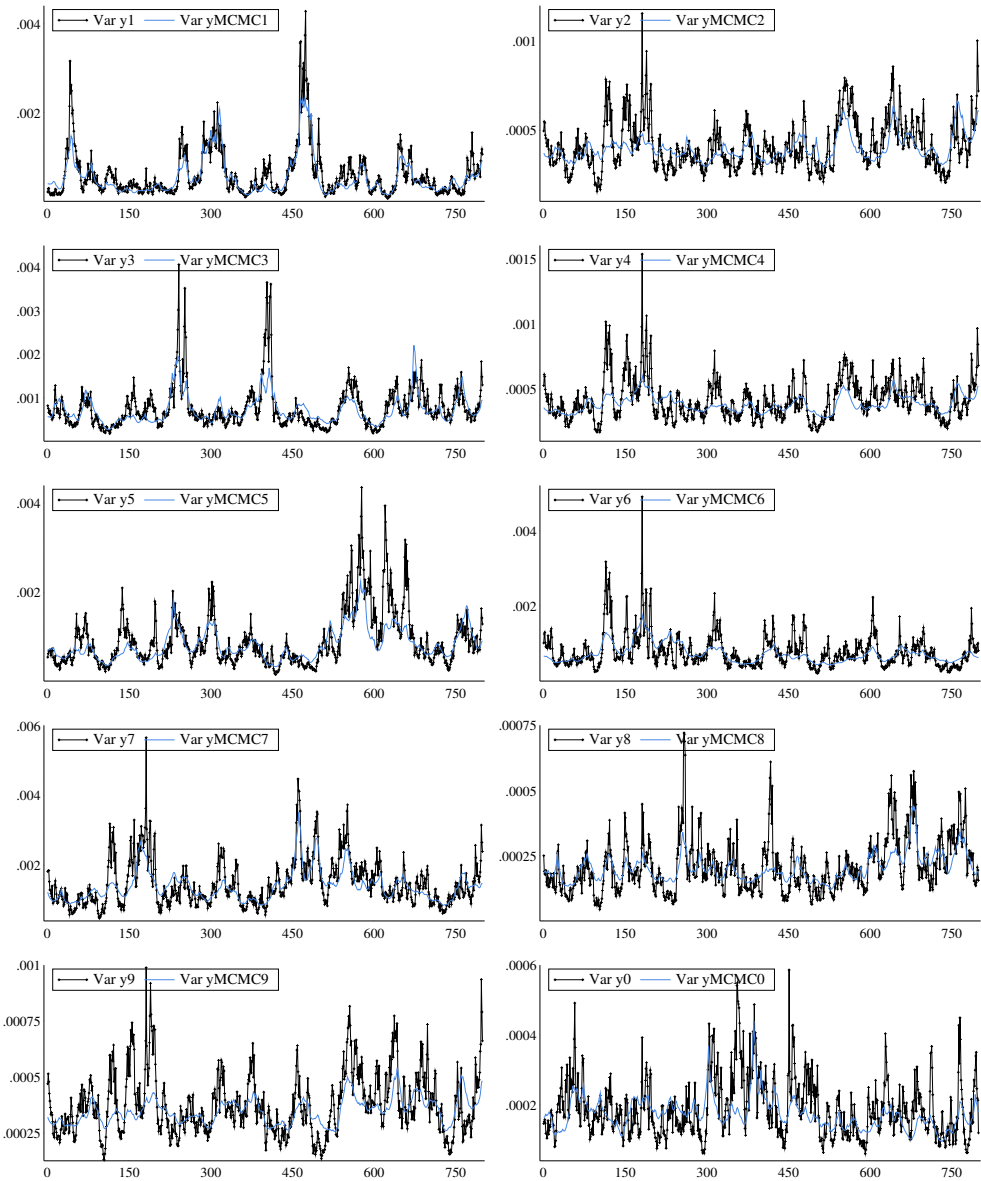


Figura C.13: Estimativas para as variâncias condicionais dadas pelo MF-VE para cada série dadas pela análise MCMC sem blocos.

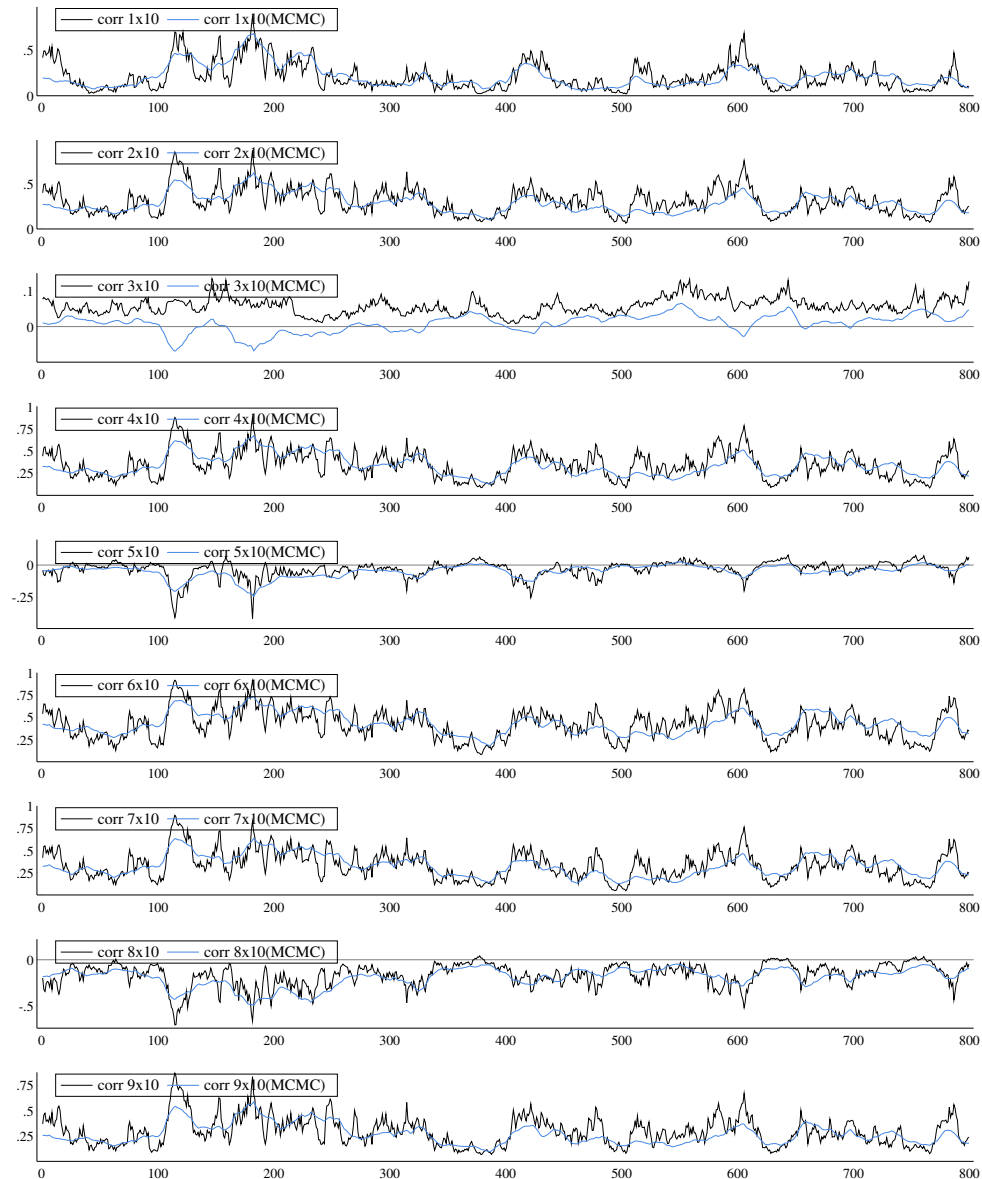


Figura C.14: Estimativas para as correlações entre as séries analisadas através do MF-VE - análise MCMC utilizando blocos.

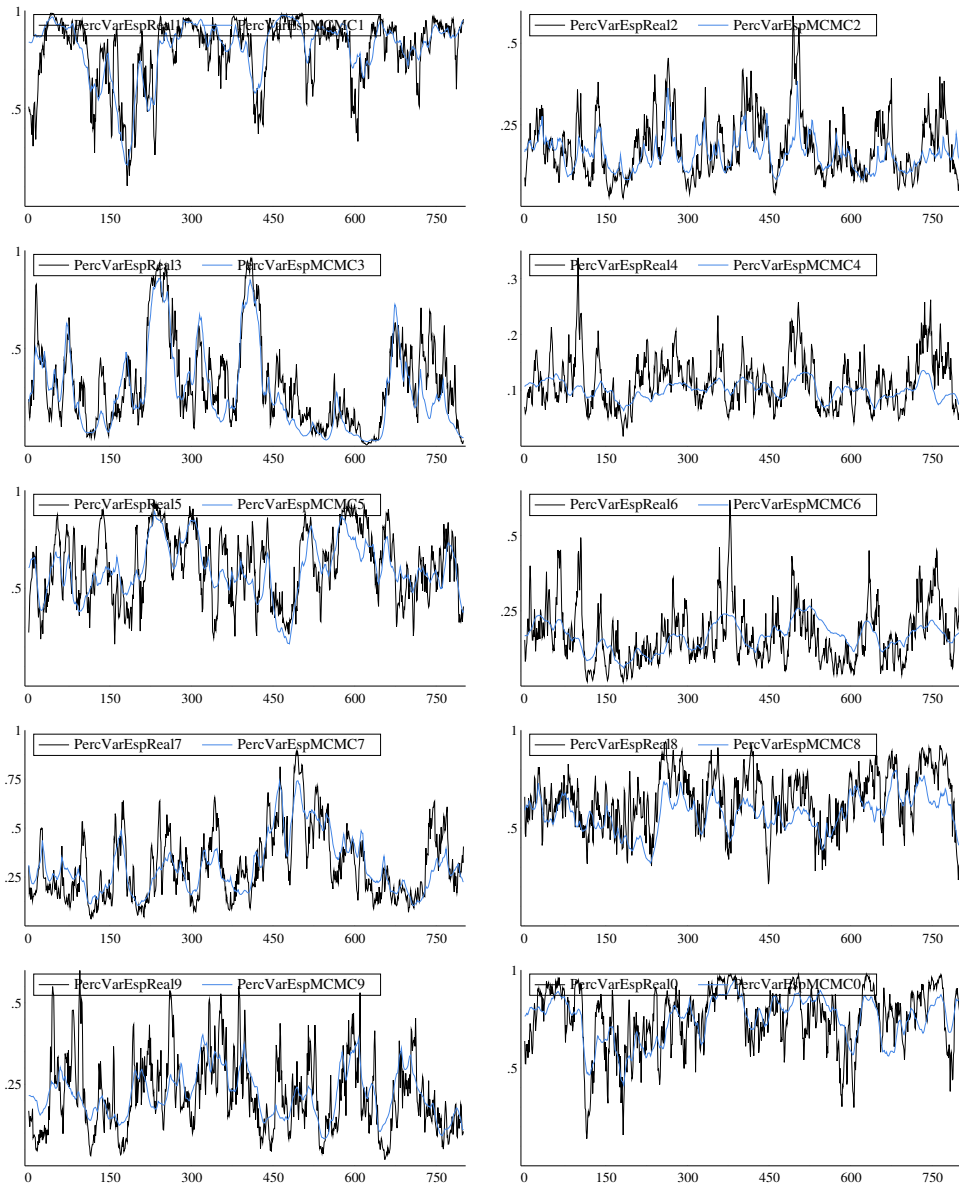


Figura C.15: Percentual da variância de cada série em relação à variância total - diagonal de  $\Sigma_t$ .

## C.2 Simulação MCMC utilizando blocos

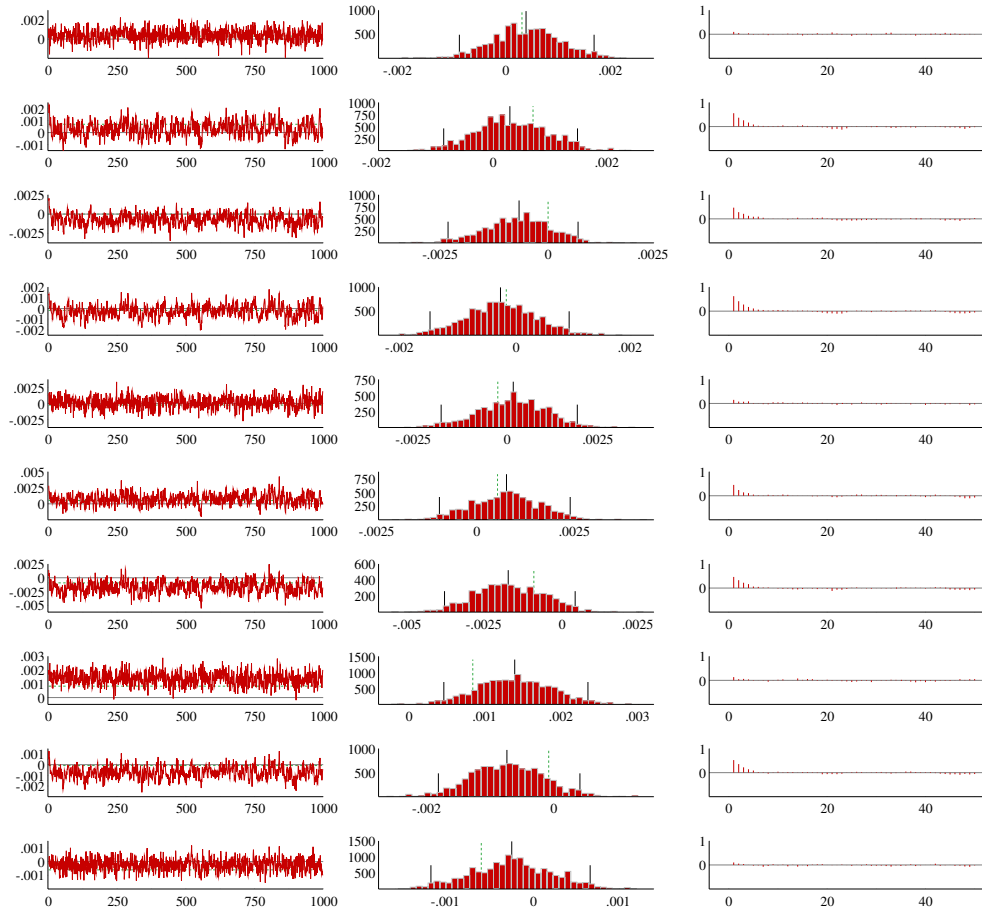


Figura C.16: Cadeia MCMC, histograma e função de auto-correlação para as médias  $\theta_i$  do modelo de fatores.

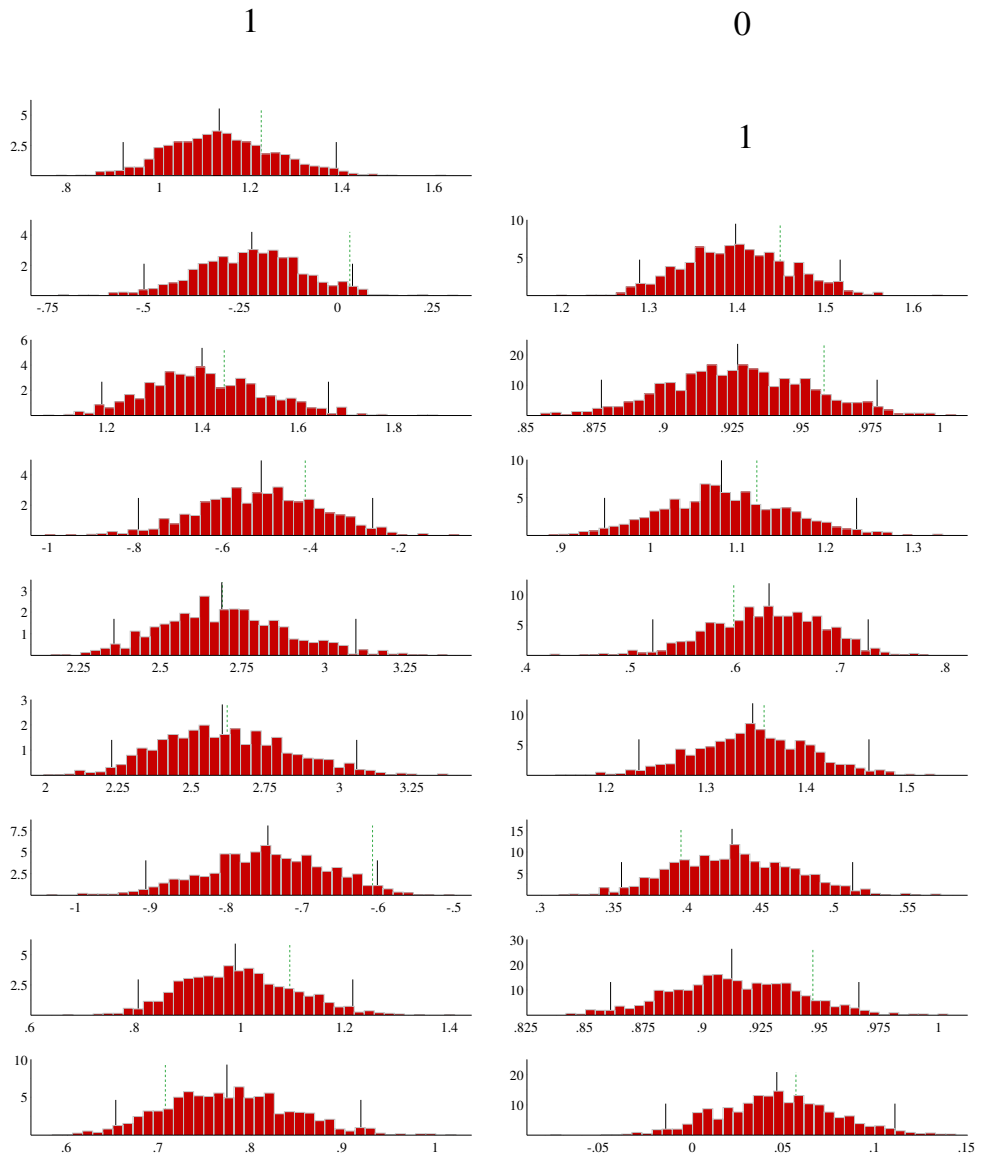


Figura C.17: Histogramas para a cadeia MCMC gerada para os elementos irrestritos da matriz de cargas  $X$ . As linhas verticais representam os percentis de 2,5%, 97,5% e o valor real do parâmetro utilizado na simulação.

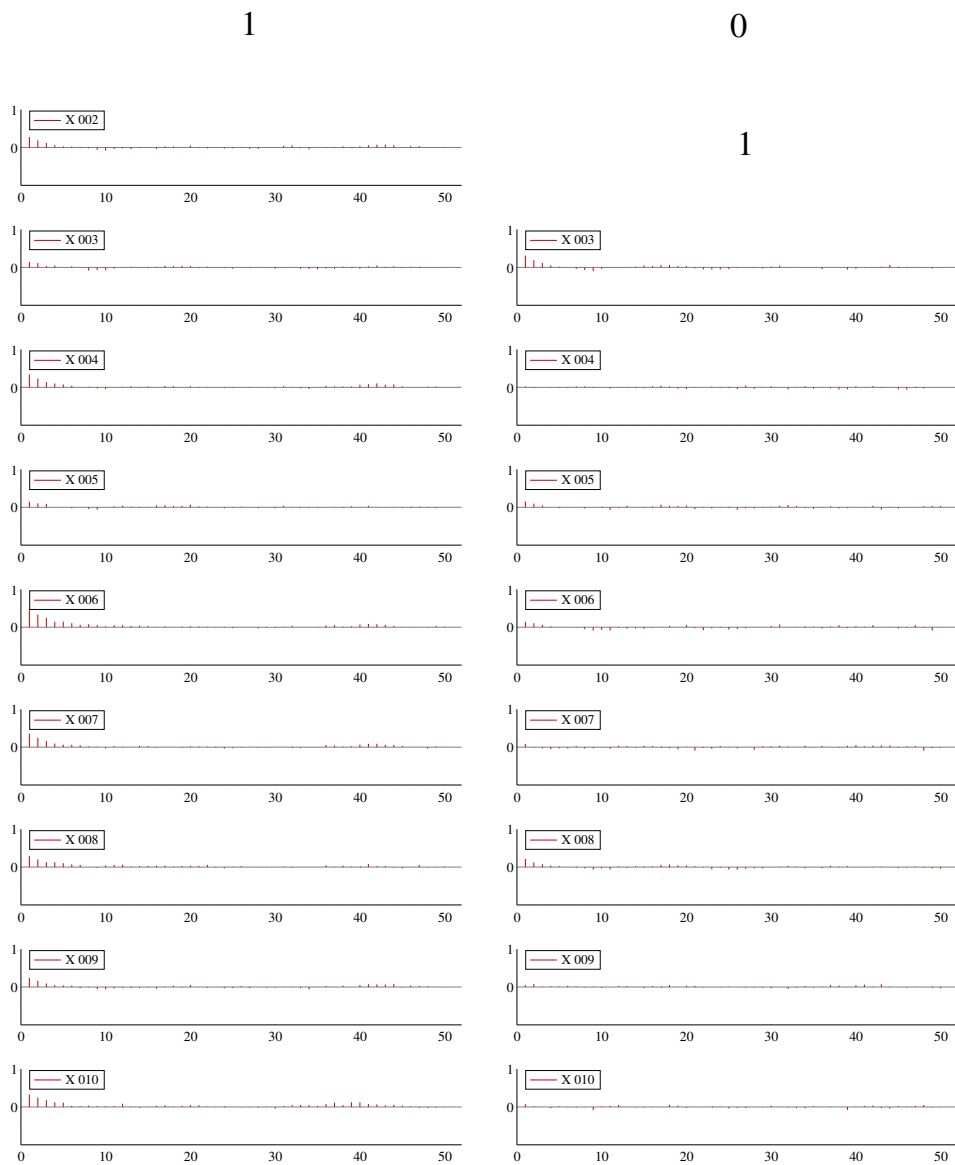


Figura C.18: Função de auto-correlação para os valores da cadeia MCMC gerada para os elementos irrestritos da matriz de Cargas X.

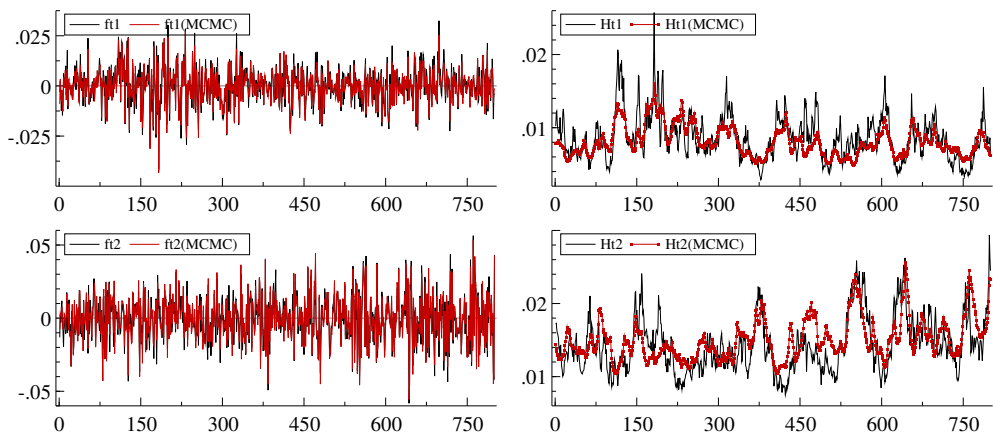


Figura C.19: Fatores extraídos do conjunto de séries analisadas e seus desvios padrões condicionais.

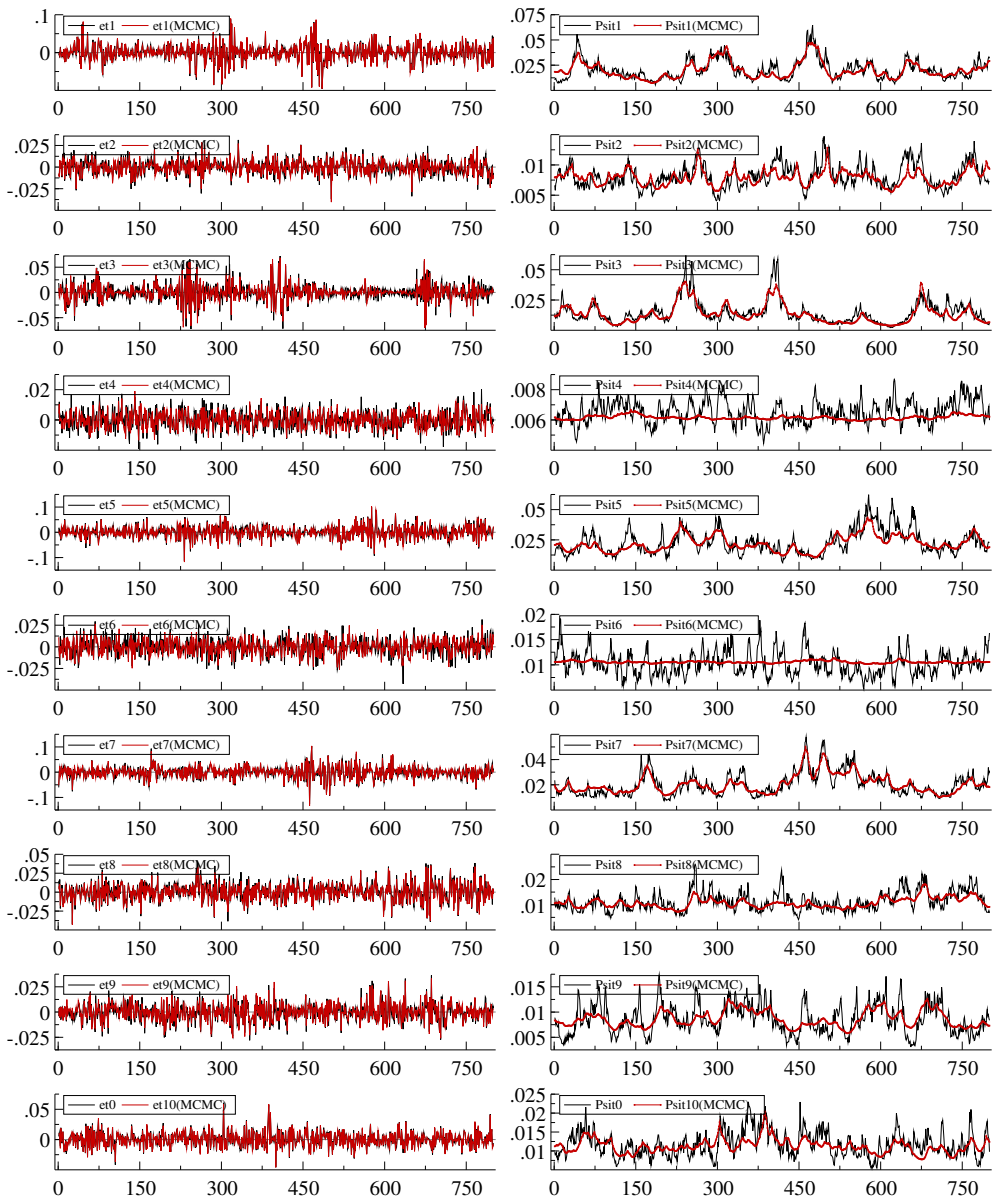


Figura C.20: Efeitos específicos extraídos do conjunto de séries analisadas e seus desvios padrões condicionais.

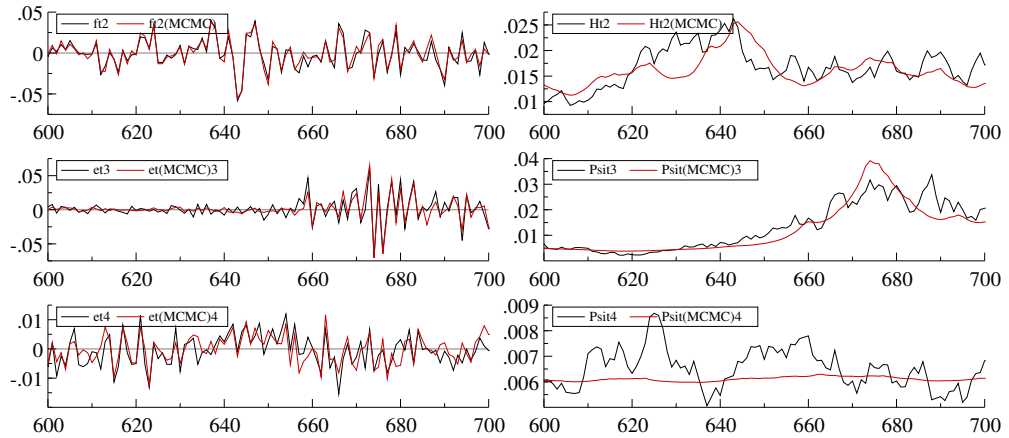


Figura C.21:  $f_{2t}$ ,  $\varepsilon_{3t}$  e  $\varepsilon_{3t}$  para  $t = 600, \dots, 700$  e desvios padrões condicionais.

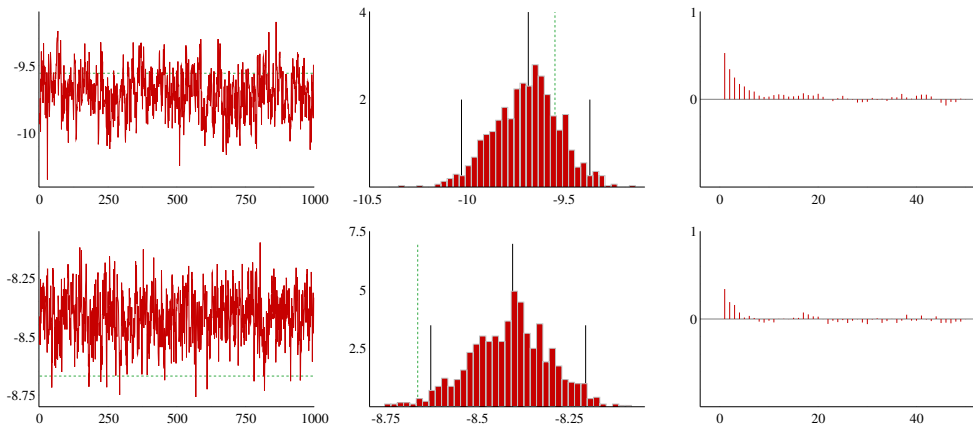


Figura C.22: Cadeia MCMC, histograma e função de auto-correlação para as médias do processo de VE dos fatores comuns  $\mu^f$ .

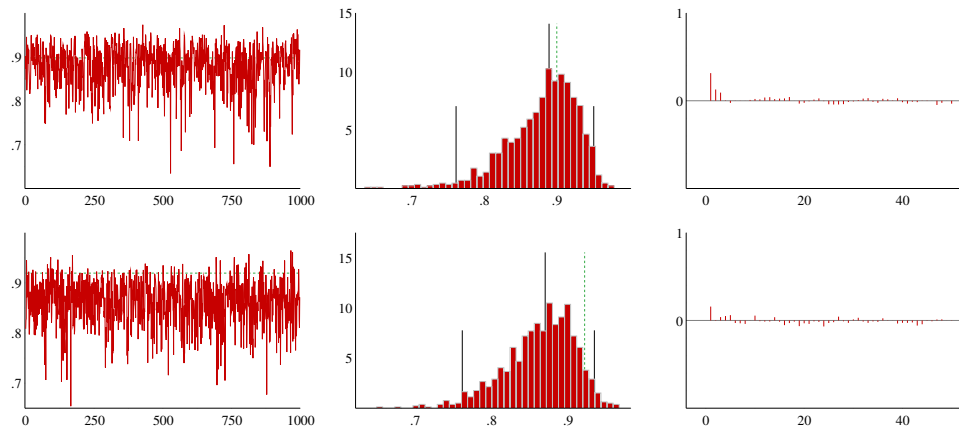


Figura C.23: Cadeia MCMC, histograma e função de auto-correlação para os coeficientes auto-regressivos  $\phi^f$  do processo de VE dos fatores comuns.

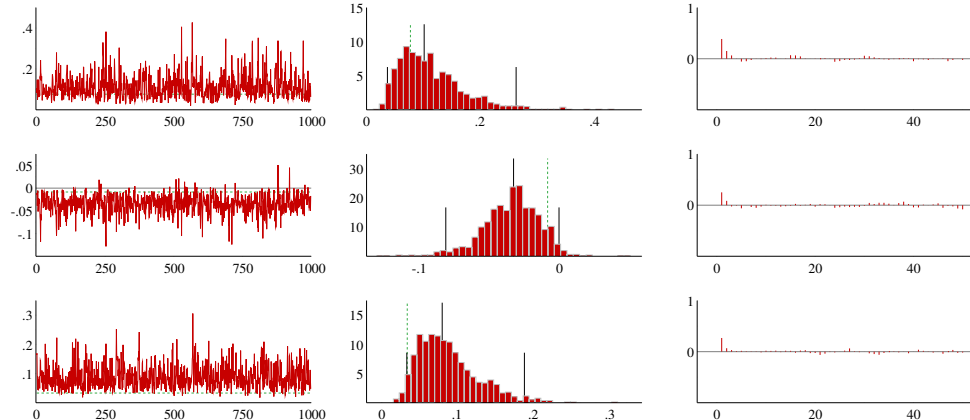


Figura C.24: Cadeia MCMC, histograma e função de auto-correlação para os elementos da matriz de variâncias das invocações do processo de VE dos fatores comuns  $\Sigma_\eta^f$ .

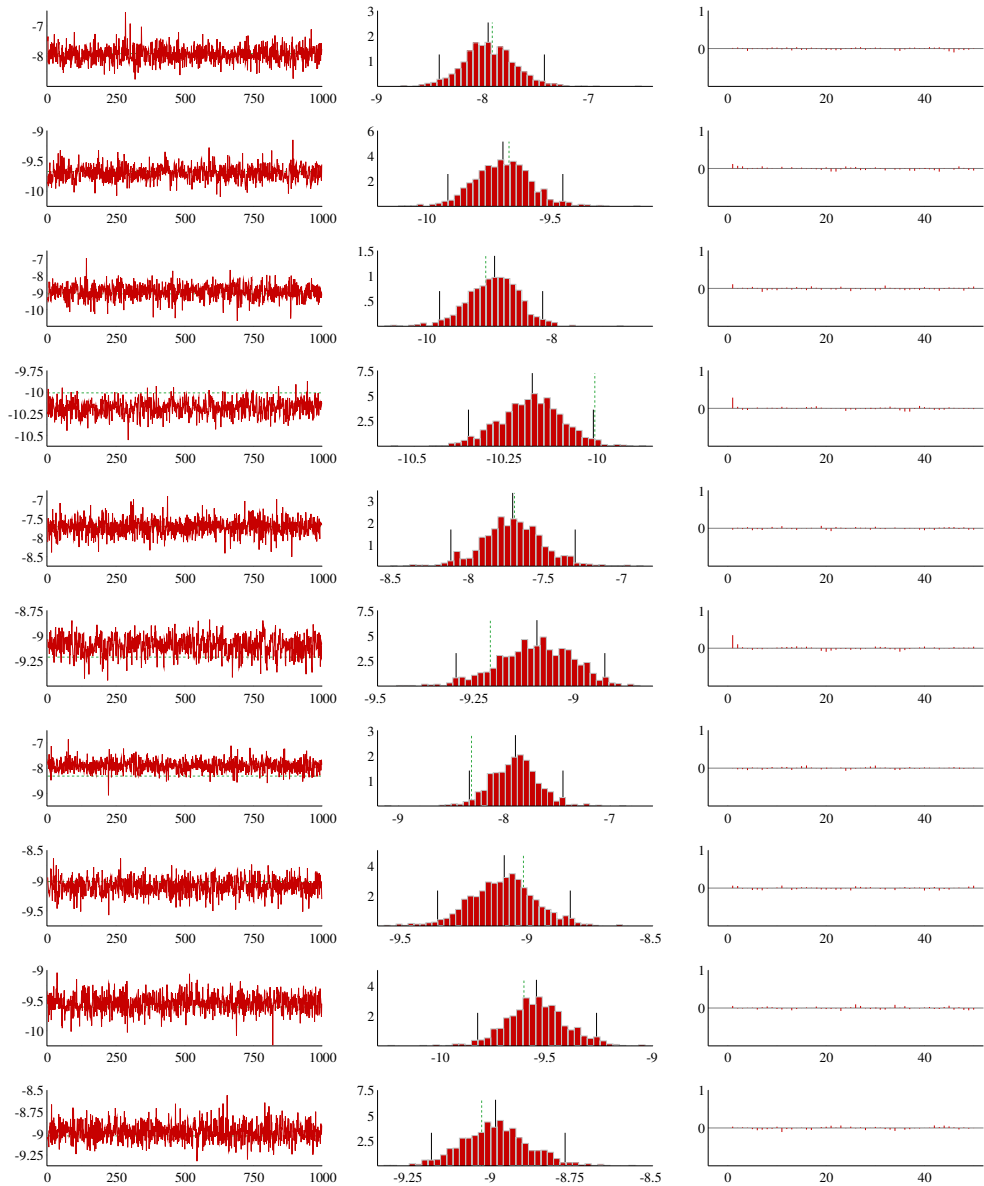


Figura C.25: Cadeia MCMC, histograma e função de auto-correlação para as médias  $\mu^\varepsilon$  dos processos de VE dos efeitos específicos.

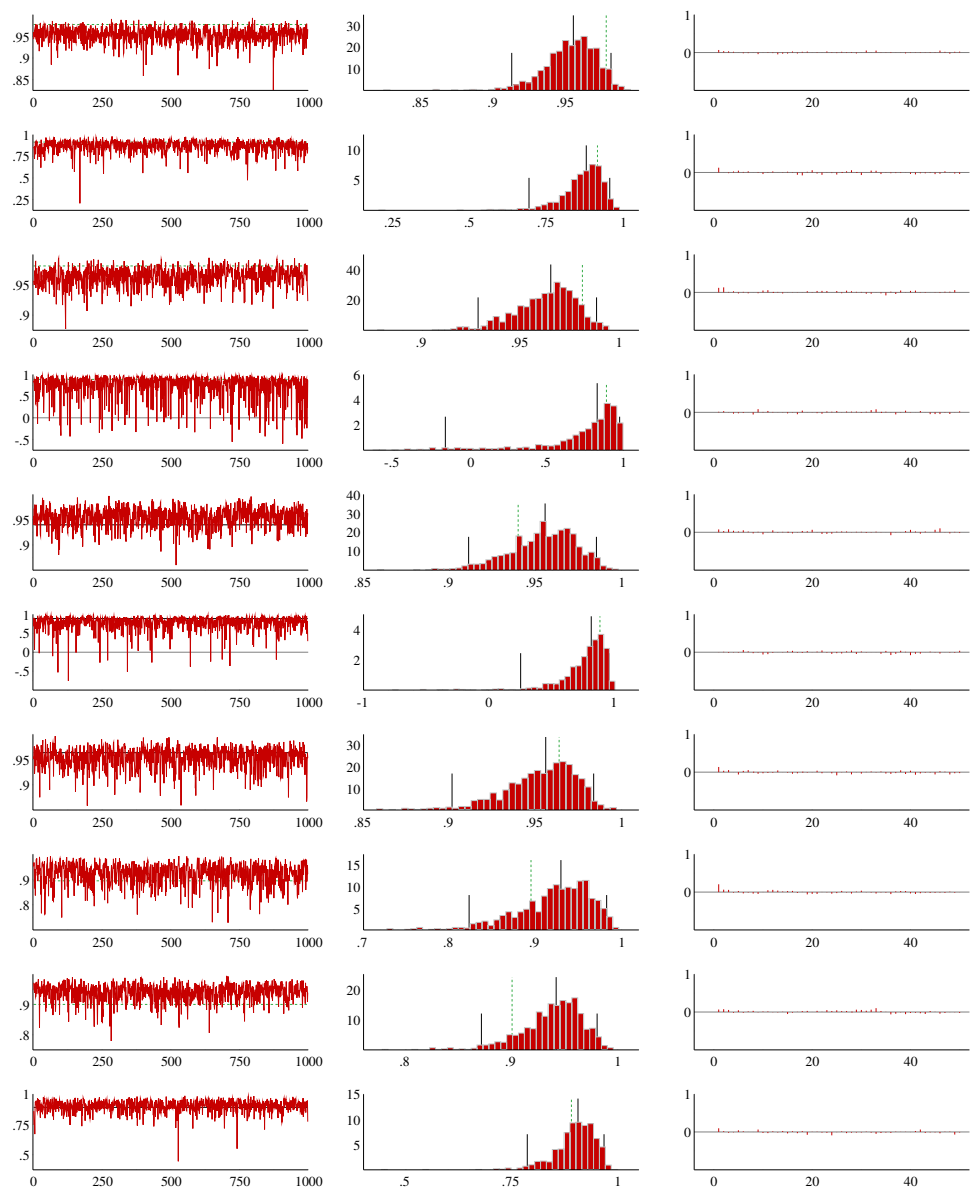


Figura C.26: Cadeia MCMC, histograma e função de auto-correlação para os coeficientes auto-regressivos  $\phi^e$  do processo de VE dos efeitos específicos.

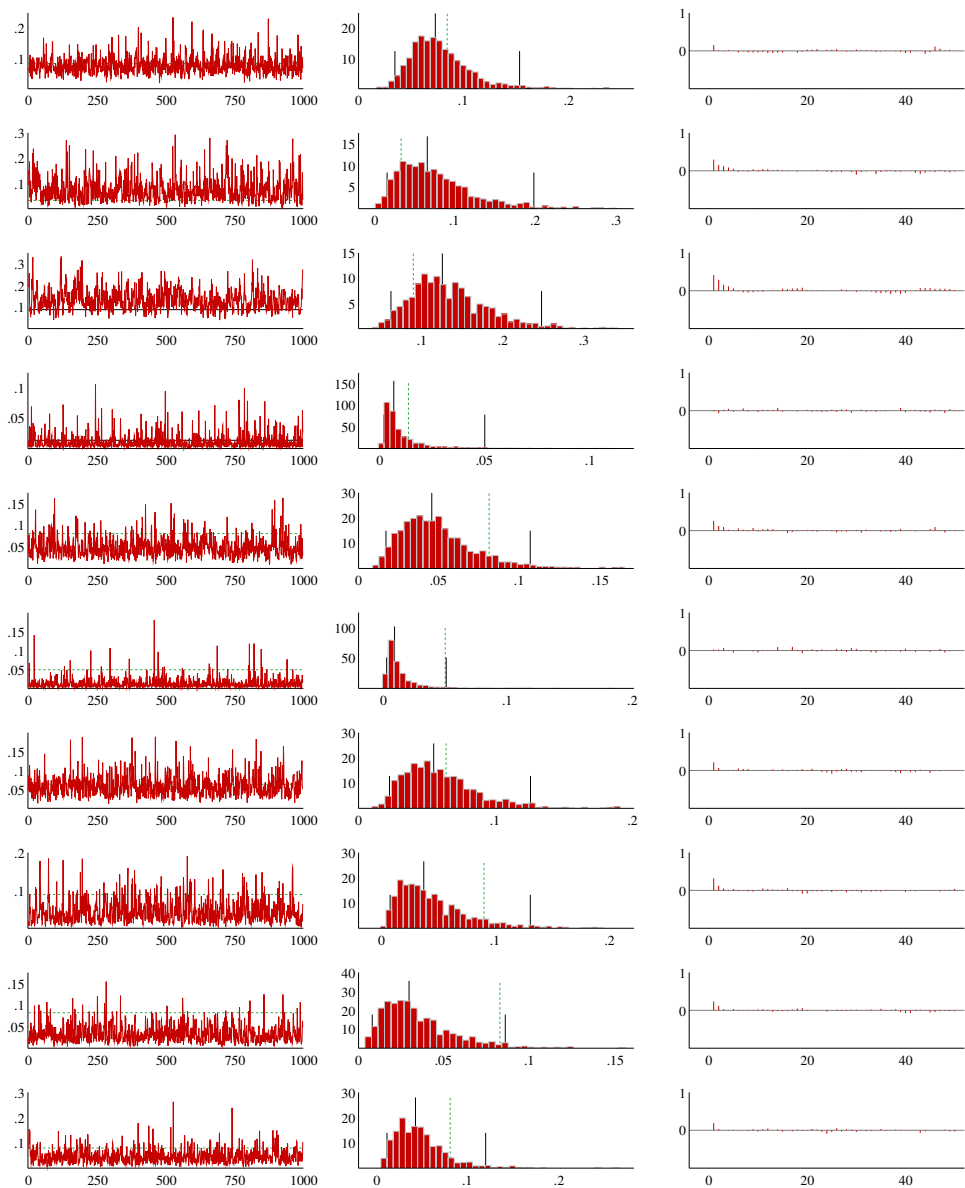


Figura C.27: Cadeia MCMC, histograma e função de auto-correlação para os elementos da matriz de variâncias e covariâncias  $\sigma_{\eta}^{\varepsilon}$  das invoações do processo de VE dos efeitos específicos.

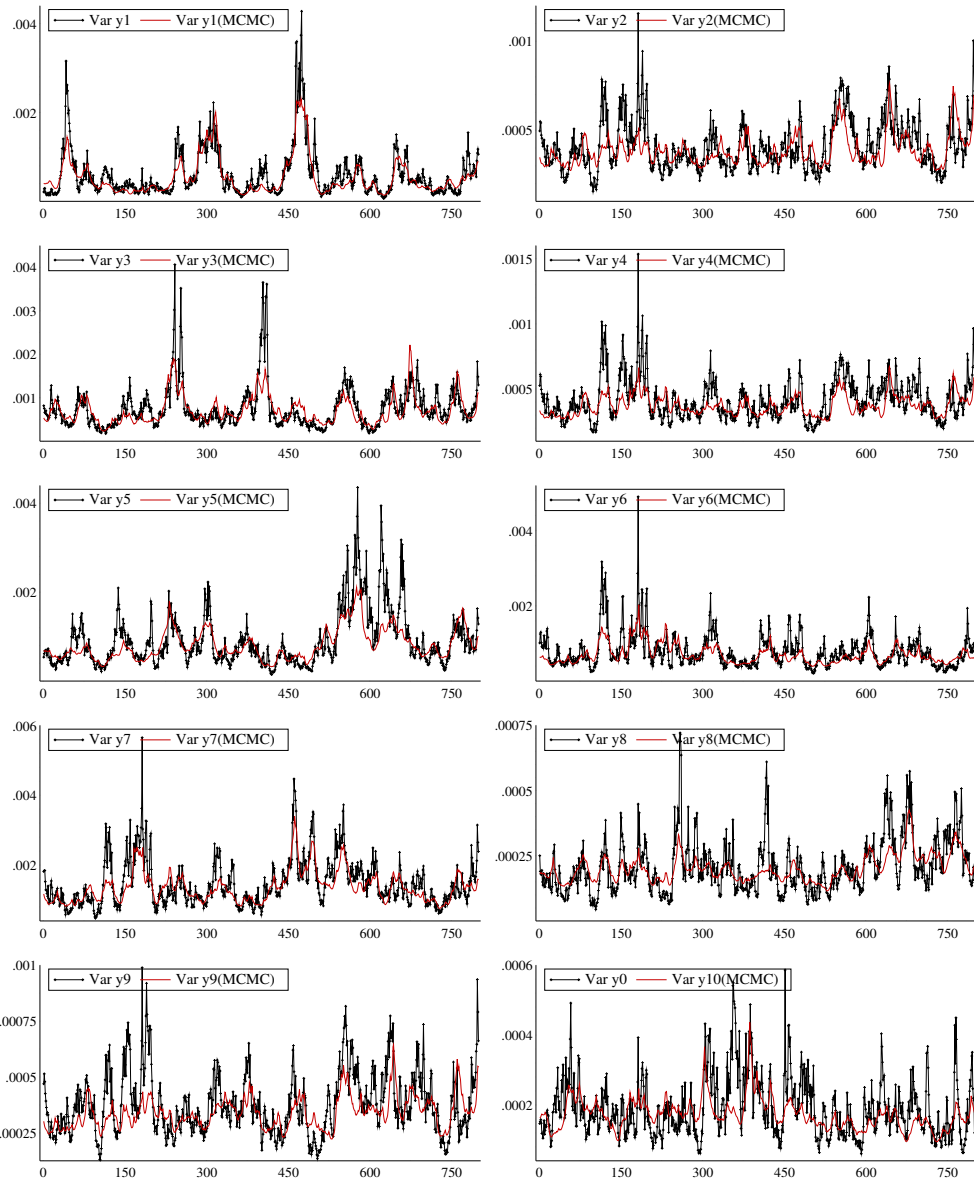


Figura C.28: Estimativas para as variâncias condicionais dadas pelo MF-VE para cada série dadas pela análise MCMC utilizando blocos.

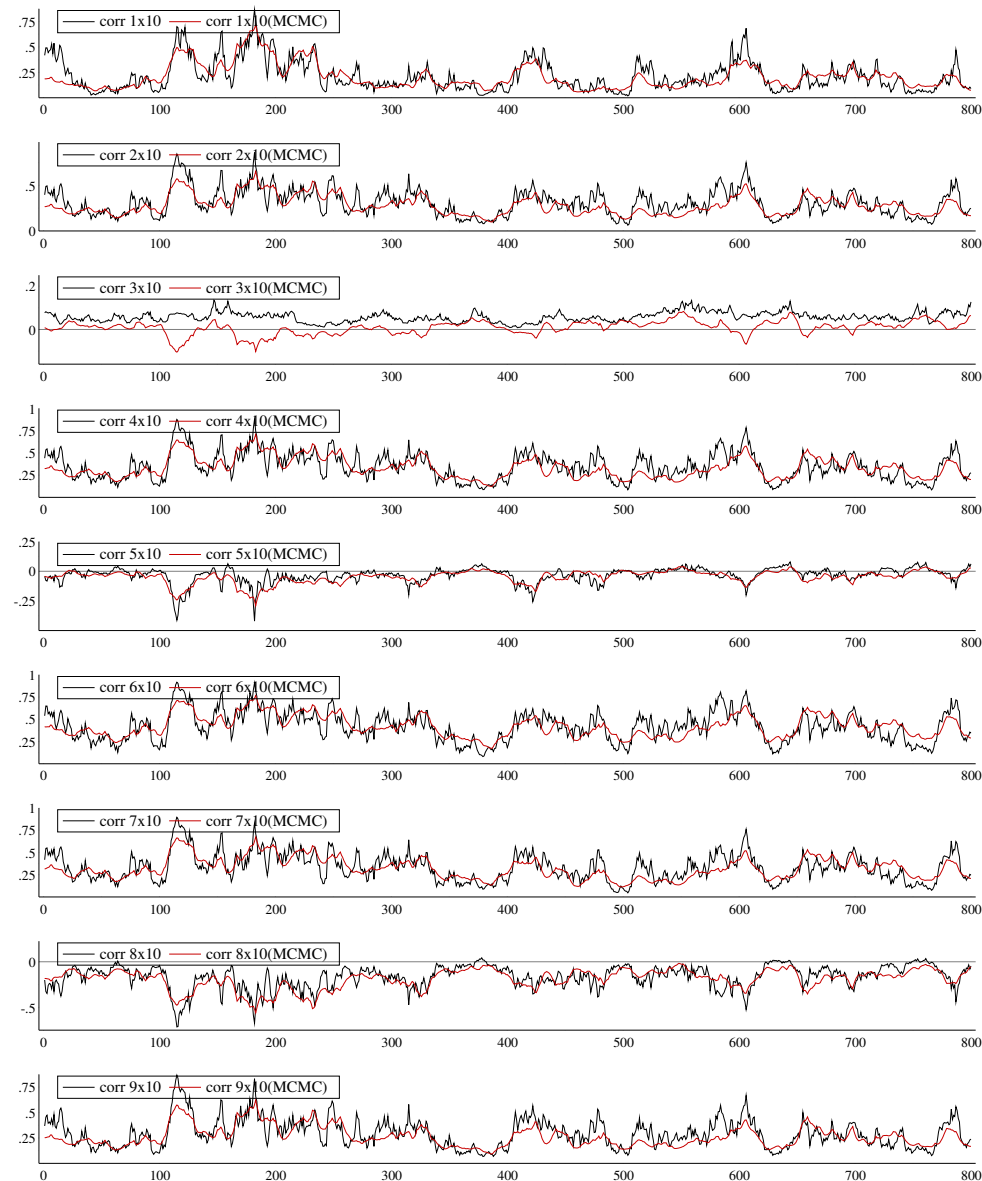


Figura C.29: Correlações entre as séries analisadas através do MF-VE - análise MCMC utilizando blocos.

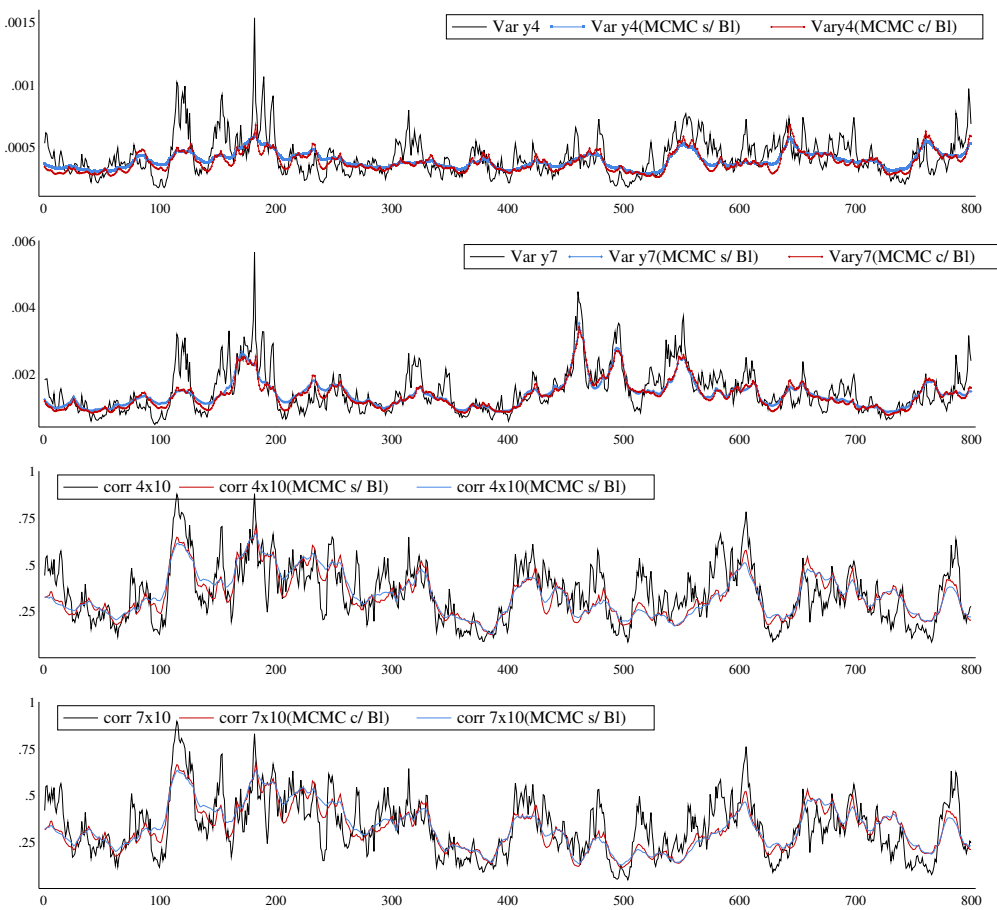


Figura C.30: Comparaçao das variâncias e correlações condicionais das análises MCMC.

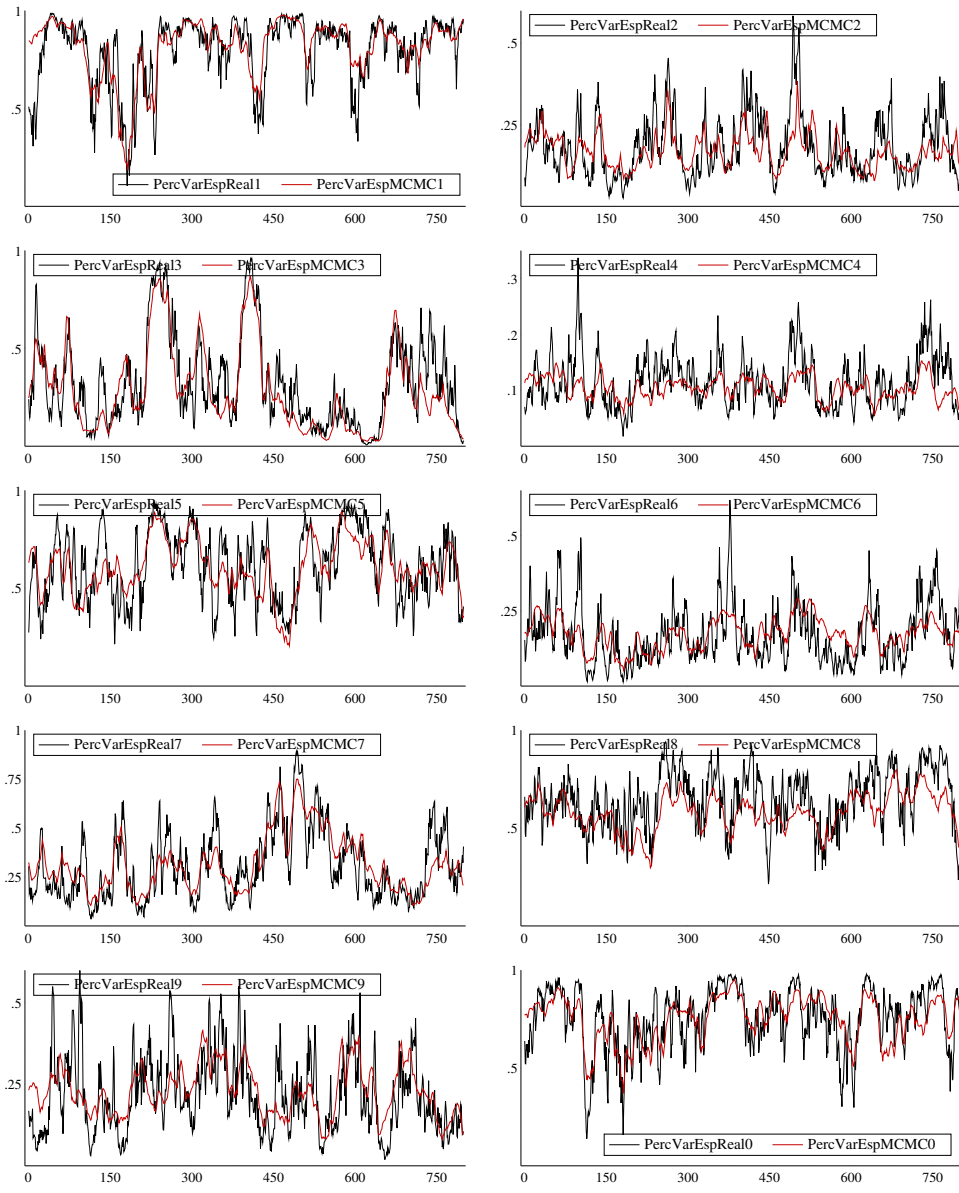


Figura C.31: Percentual da variância de cada série em relação à variância total - diagonal de  $\Sigma_t$ .

## Apêndice D

### Análise das taxas de câmbio

Este capítulo contém as figuras da análise MCMC aplicada ao conjunto de taxas de câmbio no capítulo 5. A primeira seção contém as figuras referentes à análise das taxas de câmbio com a especificação JPY-GBP, em seguida a segunda seção contém as figuras da análise com a especificação EUR-JPY e na última seção a análise sem a moeda BRL/Brasil.

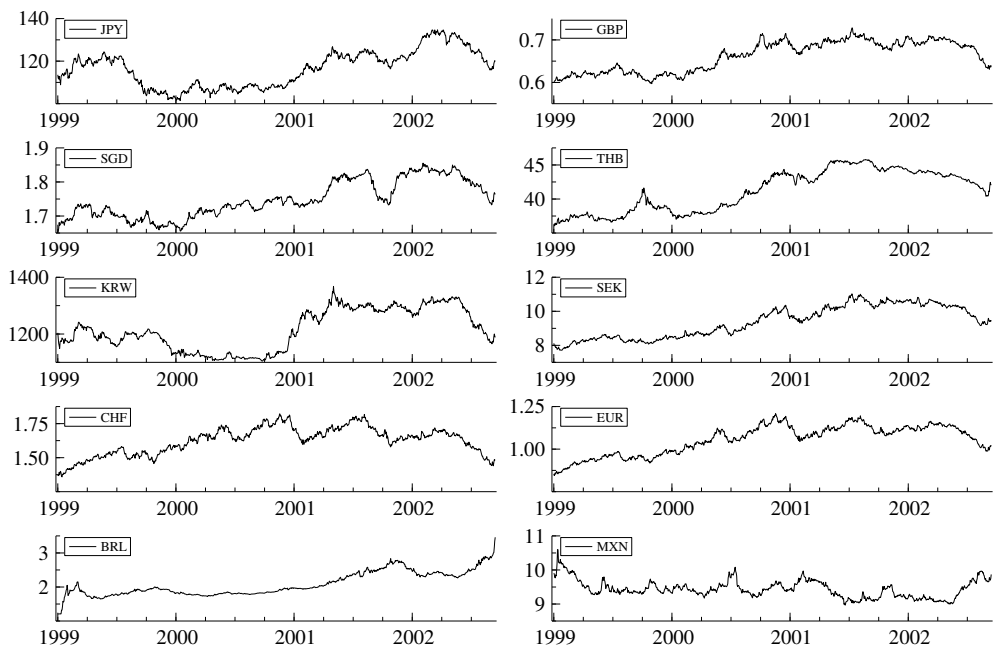


Figura D.1: Paridade com o dólar das moedas analisadas de 01/jan/1999 a 31/ago/2002.

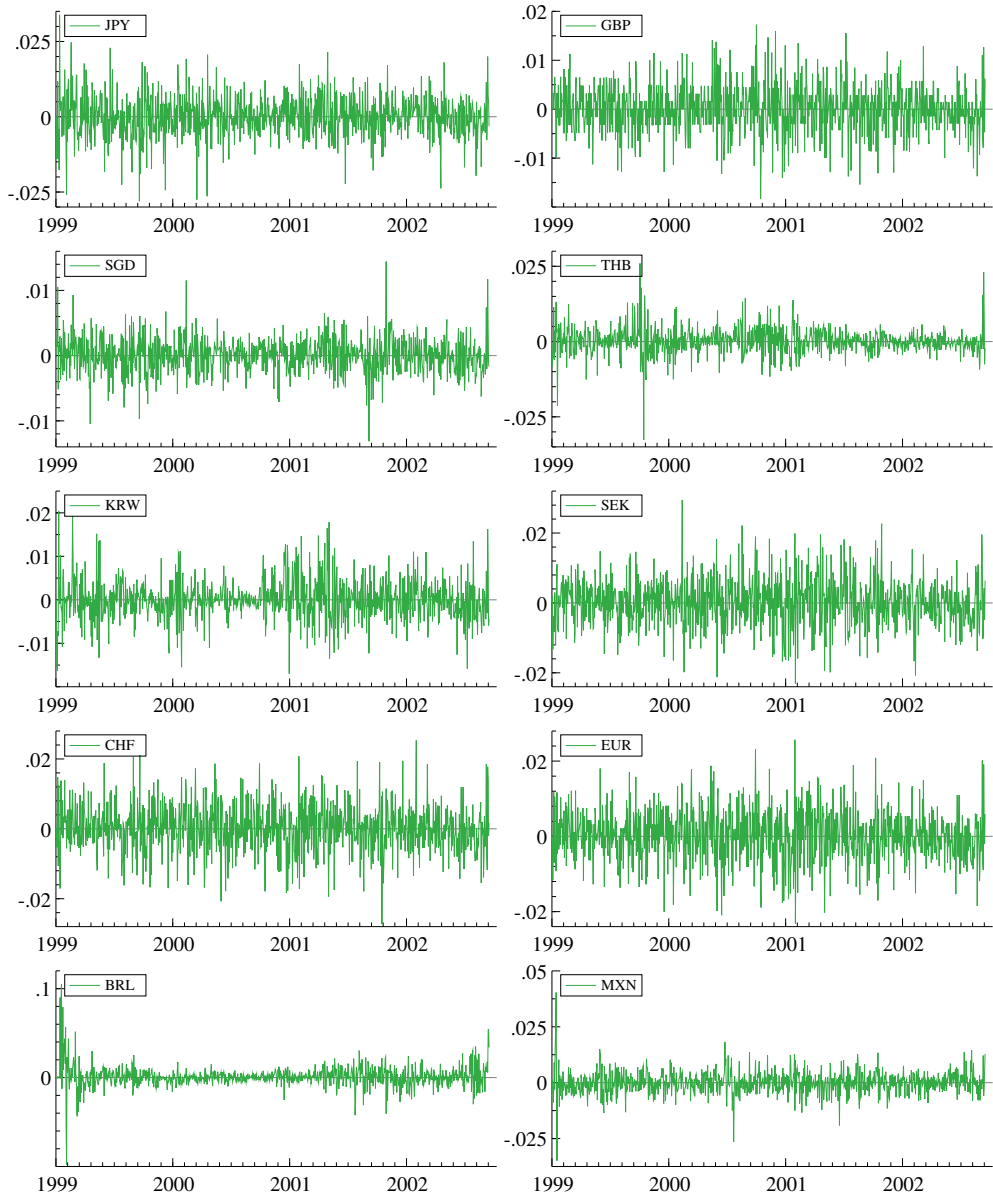


Figura D.2: Séries de retornos analisadas.

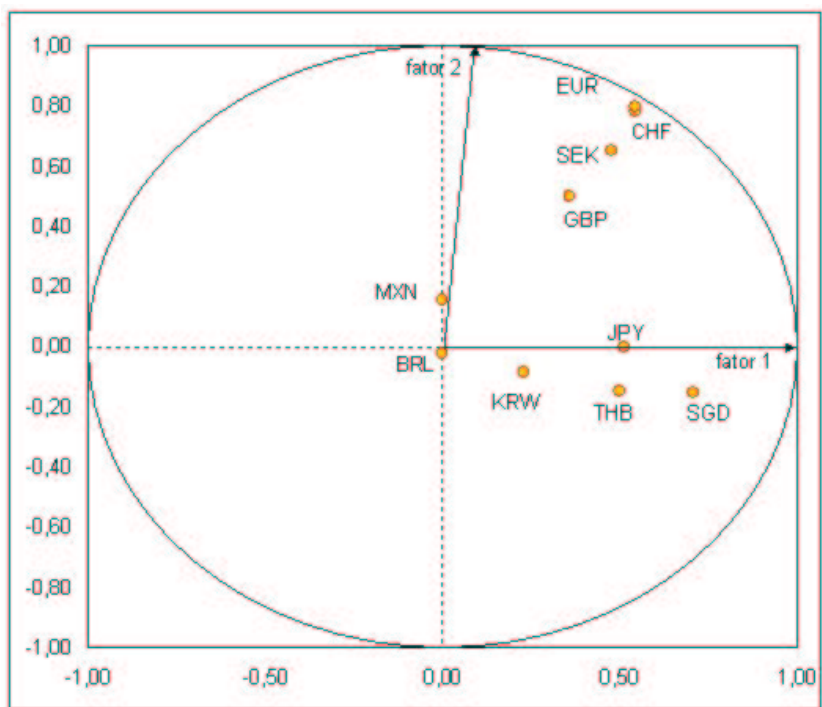


Figura D.3: Representação das moedas analisadas no espaço dos fatores.

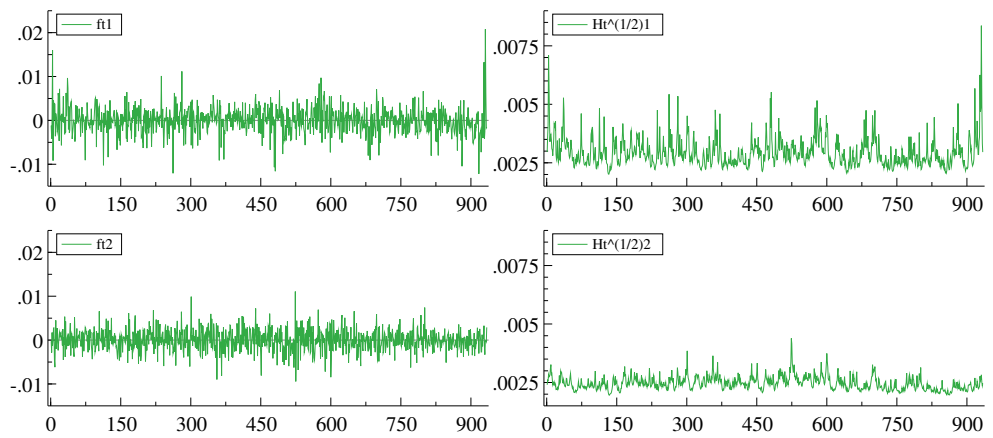


Figura D.4: Médias da simulação MCMC para os fatores comuns  $f_t$  e seus respectivos desvios padroes condicionais  $\exp(\lambda_t^f/2)$  dados pela simulação MCMC.

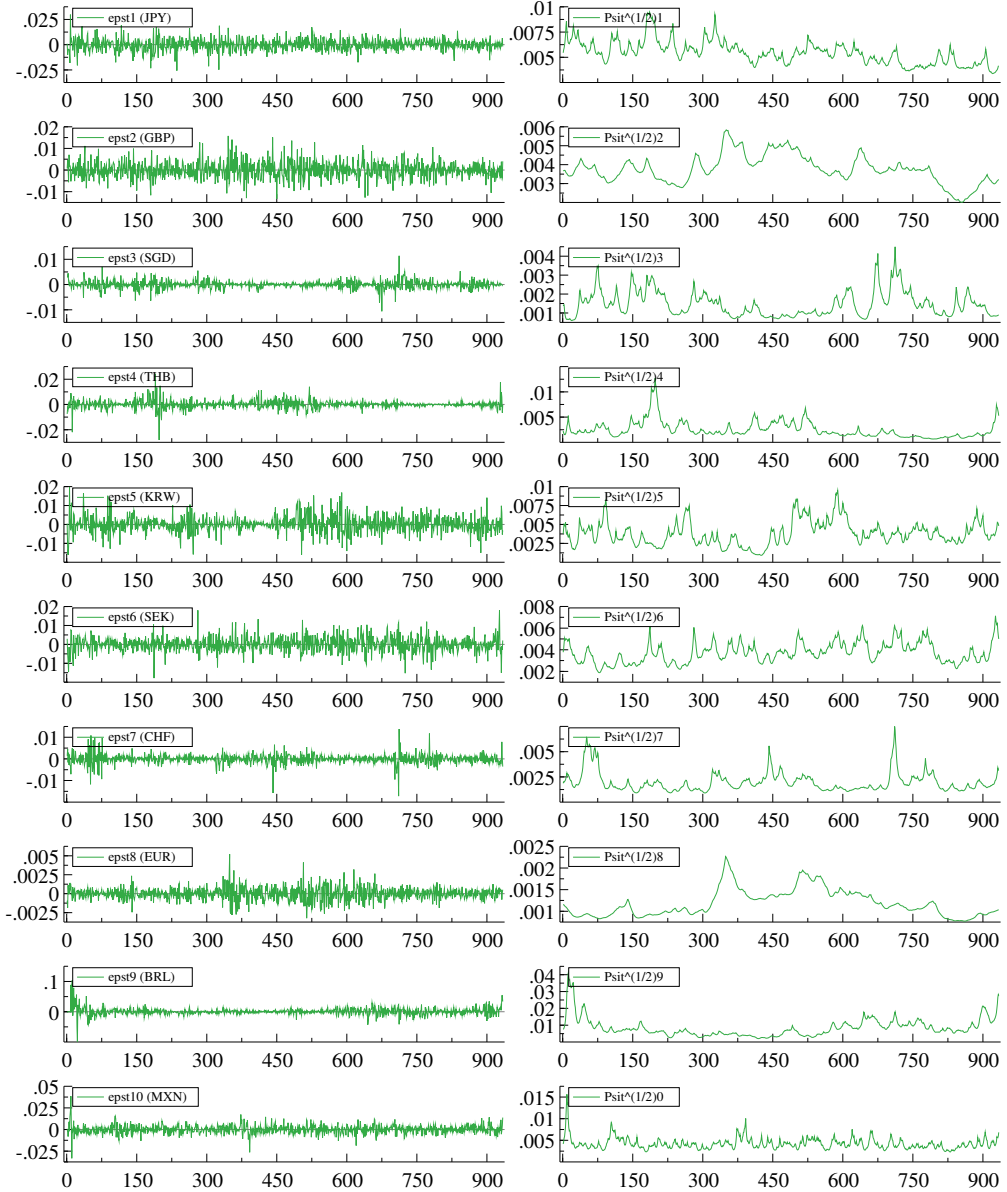


Figura D.5: Médias da simulação MCMC para os efeitos específicos  $\varepsilon_t$  e seus respectivos desvios padroes  $\exp(\lambda_t^\varepsilon/2)$  dados pela simulação MCMC.

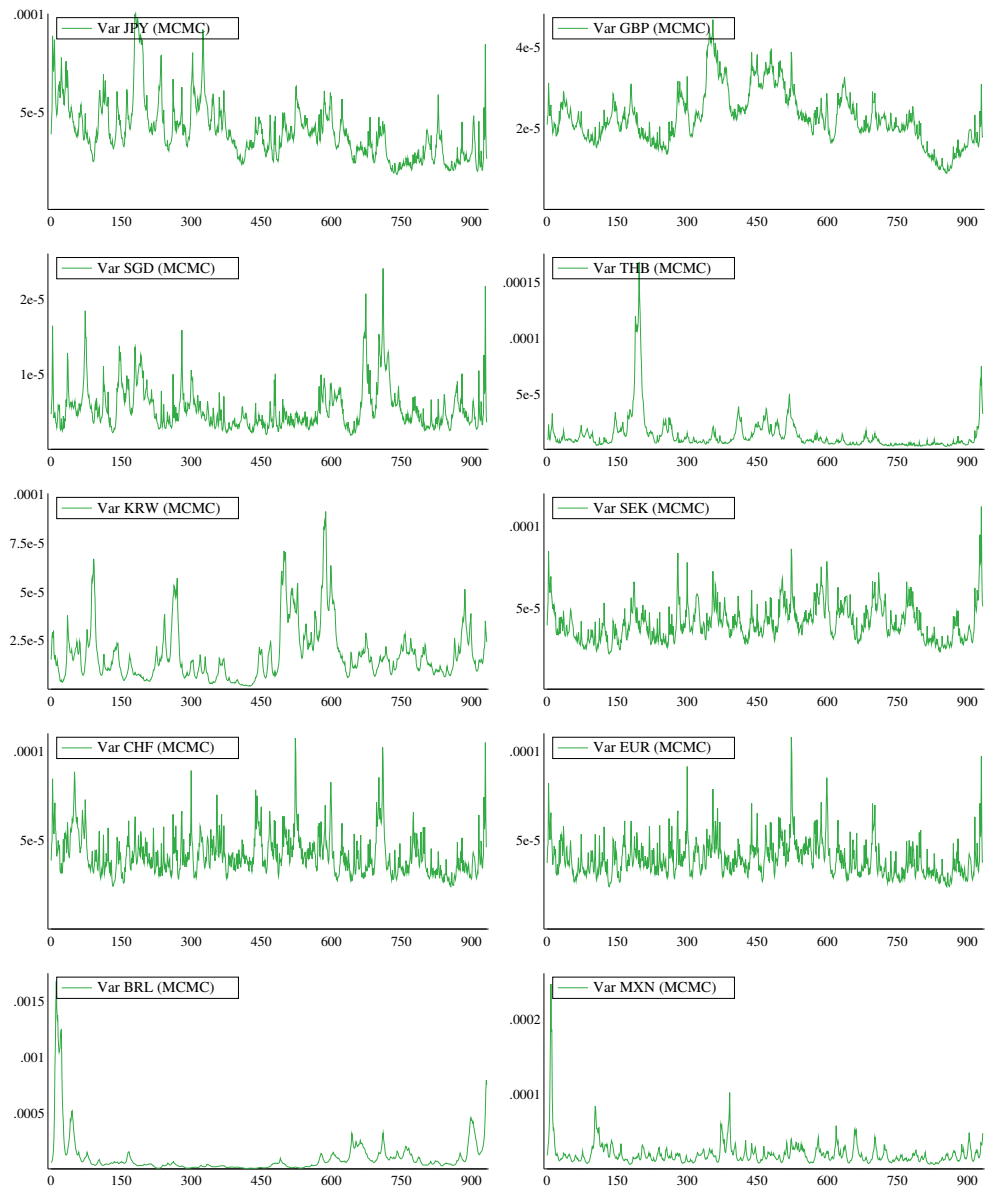


Figura D.6: Variâncias condicionais dadas pelo MF-VE para as taxas analisadas.

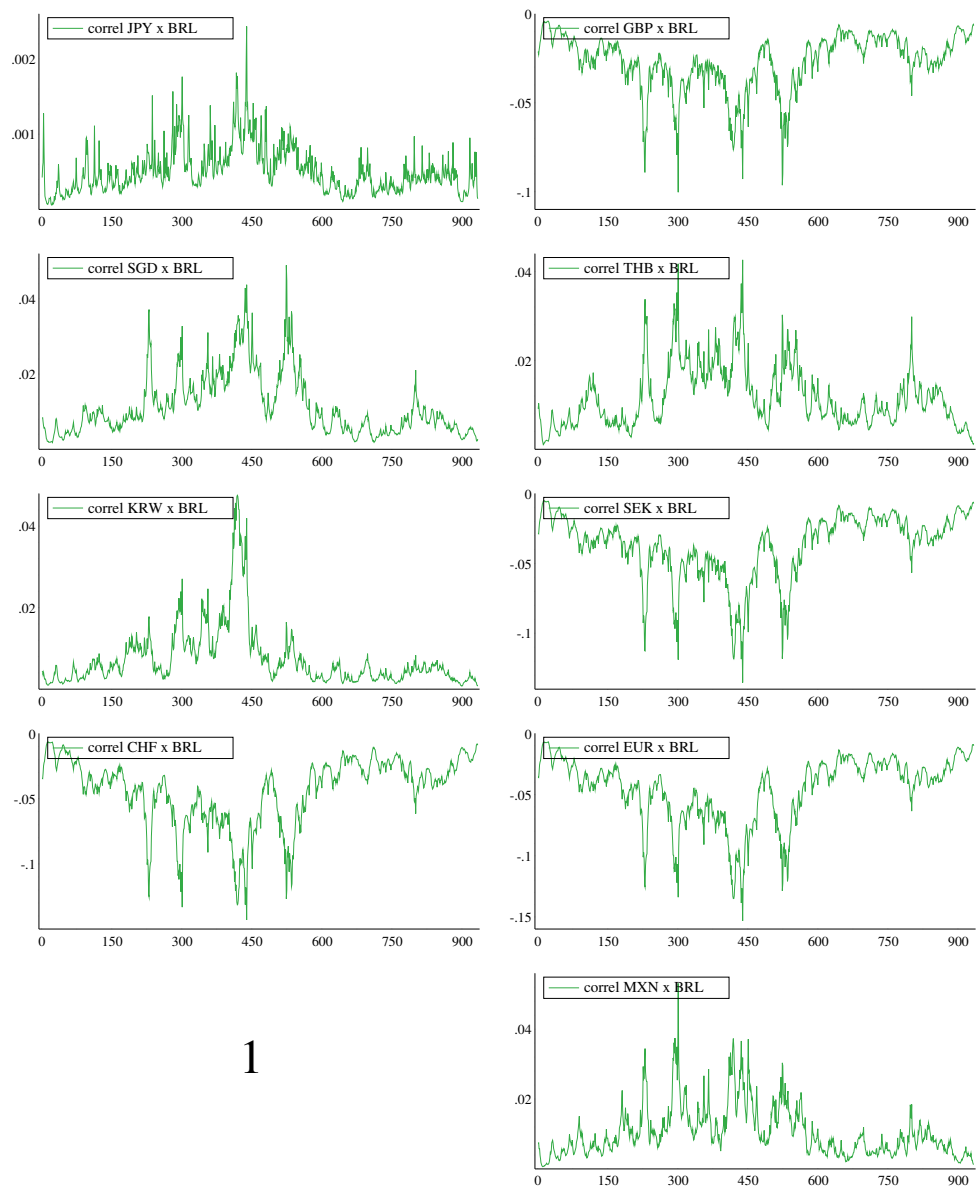


Figura D.7: Correlações entre as taxas de câmbio analisadas através do MF-VE.

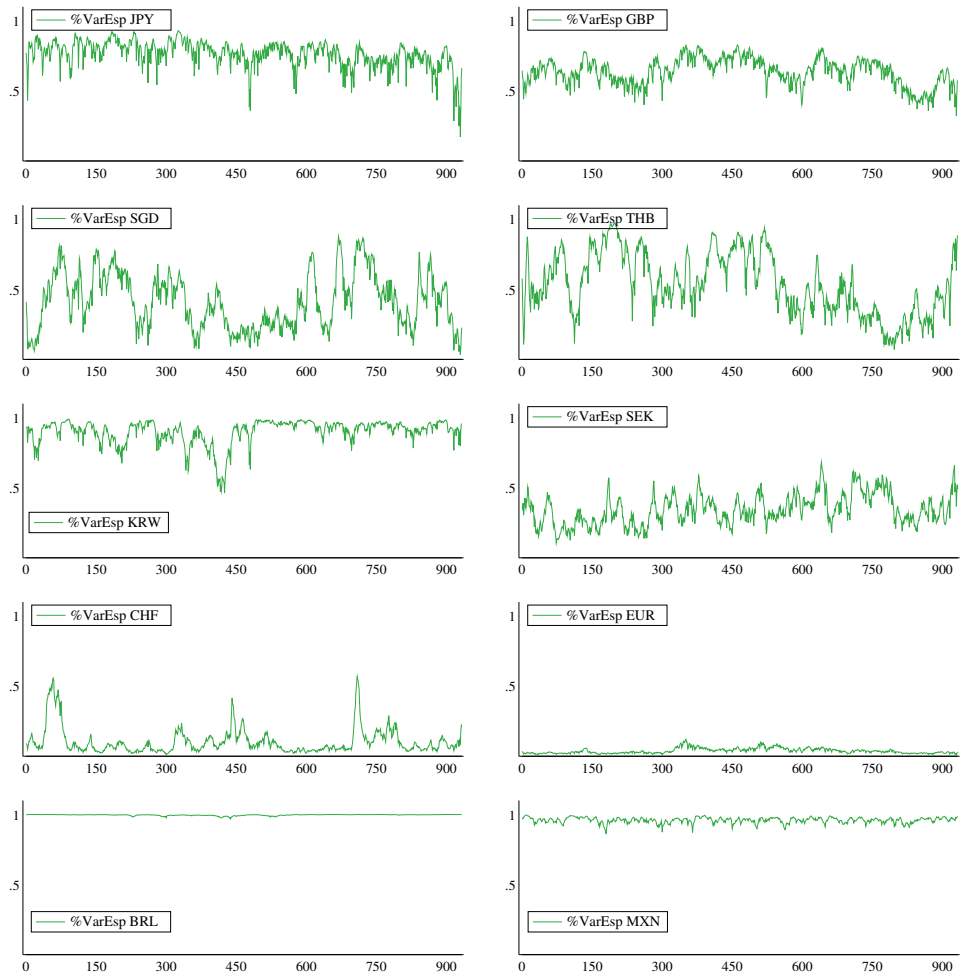


Figura D.8: Percentual da variância de cada série em relação à variância total - diagonal de  $\Sigma_t$ .

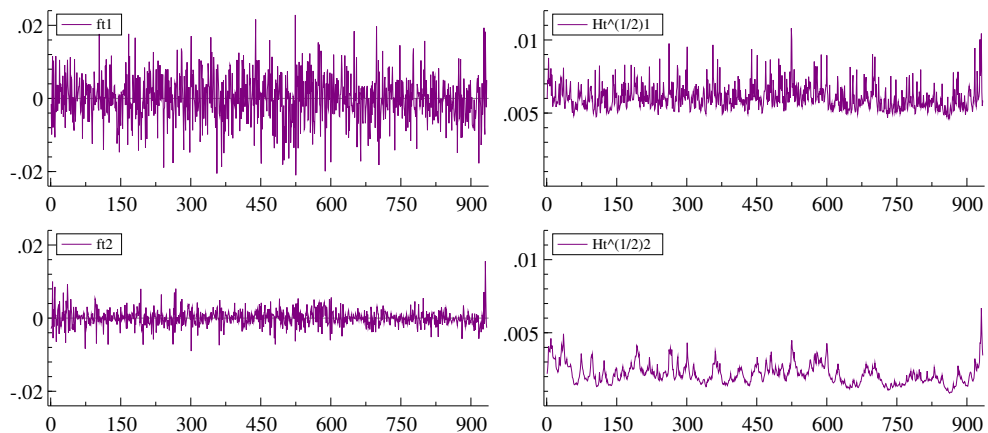


Figura D.9: Médias da simulação MCMC para os fatores comuns  $f_t$  e seus respectivos desvios padroes condicionais  $\exp(\lambda_t^f/2)$  dados pela simulação MCMC.

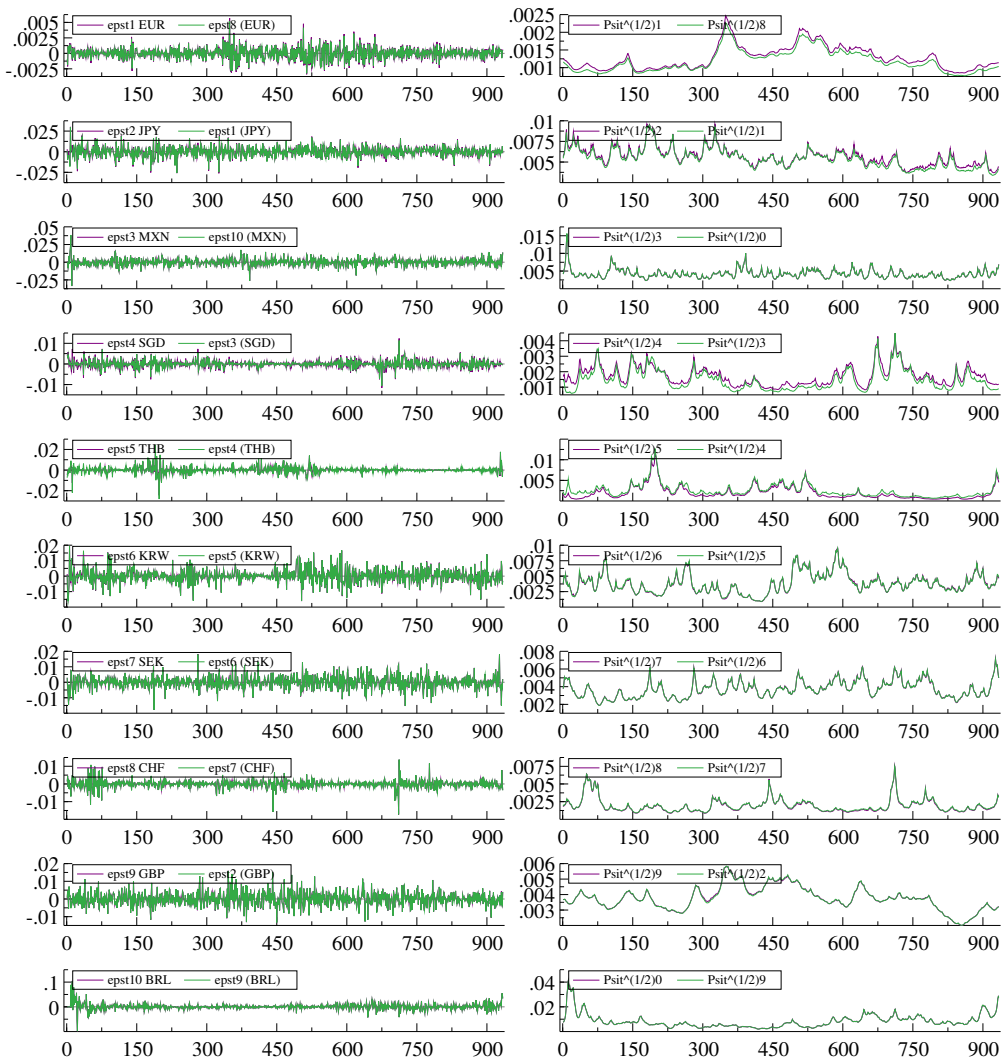


Figura D.10: Médias da simulação MCMC para os efeitos específicos  $\varepsilon_t$  e seus respectivos desvios padroes  $\exp(\lambda_t^\varepsilon/2)$  dados pela simulação MCMC em comparação com a análise da seção anterior.

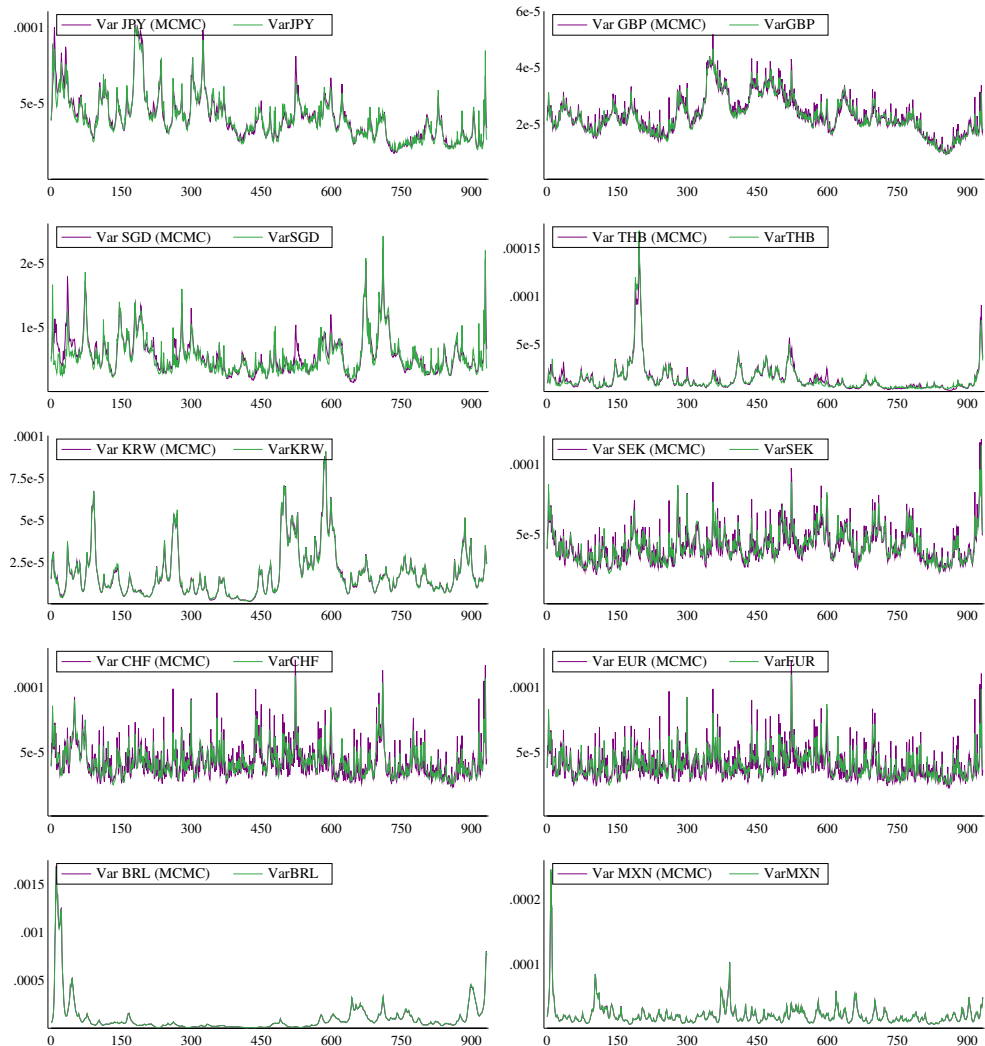


Figura D.11: Variâncias condicionais dadas pelo MF-VE para as taxas analisadas em comparação com a análise da seção anterior.

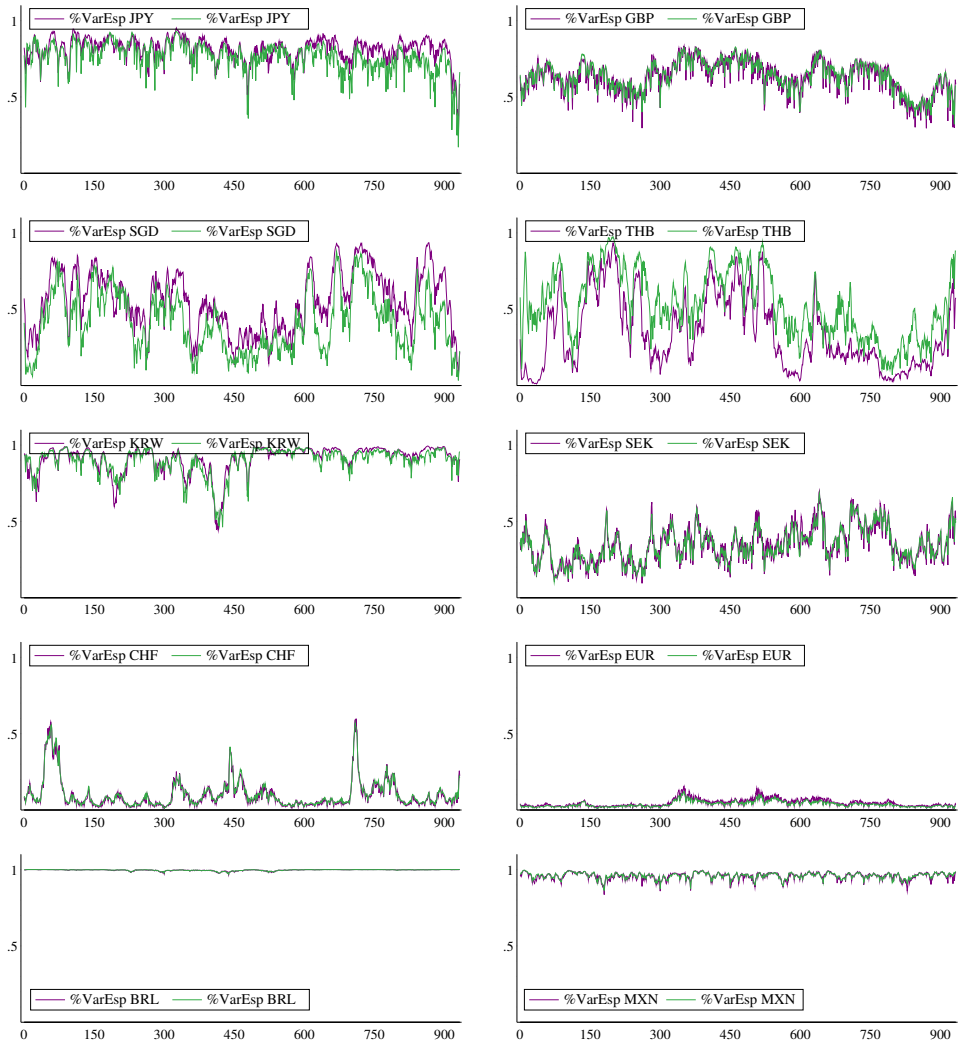


Figura D.12: Percentual da variância de cada série em relação à variância total em comparação com a análise da seção anterior - diagonal de  $\Sigma_t$ .

# Referências Bibliográficas

- Aguilar, O. (2000). *Latent Structure in Bayesian Multivariate Time Series Models*. PhD thesis, Universidade Duke.
- Aguilar, O. e West, M. (2000). Bayesian dynamic factor models and portfolio allocation. *Journal of Business and Economic Statistics*, vol. 18:338–357.
- Alexander, G. e Francis, J. (1986). *Portfolio Analysis*. Prentice Hall, Nova Yorque.
- Anderson, B. D. O. e Moore, J. B. (1979). *Optimal Filtering*. Prentice Hall, Englewood Cliffs, Nova Jersey.
- Balakrishnan, A. V. (1984). *Kalman Filtering Theory*. Optimization Software, Nova Yorque, NY.
- Bartholomew, D. J. (1987). *Latent Variable Models and Factor Analysis*. Oxford University Press, Nova Yorque, NY.
- Bollerslev, T. (1990). Modelling the coherence in short-run nominal exchange rates: A multivariate generalized Arch approach. *Review of Economics and Statistics*, vol. 72:498–505.
- Bollerslev, T., Engle, R. F., e Nelson, D. B. (1994). Arch models. Em Engle, R. F. e McFadden, D., editores, *The Handbook of Econometrics*, vol. 4, pags: 2959–3038.
- Bollerslev, T., Engle, R. F., e Wooldridge, J. M. (1988). A capital asset pricing model with time varying covariances. *Journal of Political Economy*, vol. 96:116–131.

- Campbell, J. Y., Lo, A. W., e Mckinley, A. C. (1997). *The Econometrics of Financial Markets*. Princeton University Press.
- Casella, G. e George, E. I. (1992). Explaining the Gibbs sampler. *American Statistician*, vol. 46:167–174.
- Chesney, M. e Scott, L. O. (1989). Pricing european options: a comparison of the modified Black-Scholes model and a random variance model. *Journal of Finance and Qualitative Analysis*, vol. 24:267–284.
- Chib, S. (1995). Marginal likelihood from the Gibbs output. *Journal of the American Statistical Association*, vol. 90:1313–1321.
- Chib, S. e Greenberg, E. (1994). Bayes inference for regression models with Arma(p,q) errors. *Journal of Econometrics*, vol. 64:183–206.
- Chib, S. e Greenberg, E. (1995). Understanding the Metropolis Hastings algorithm. *The American Statistician*, vol. 49:327–335.
- Chib, S. e Jeliazkov, I. (2001). Marginal likelihood from the Metropolis Hastings output. *Journal of the American Statistical Association*, vol. 96:270–281.
- Chib, S., Nardari, F., e Shephard, N. (2001). Markov chain Monte Carlo methods for stochastic volatility models. *Journal of Econometrics*, vol. 108:281–316.
- Chib, S., Nardari, F., e Shephard, N. (2002). Analysis of high dimensional stochastic volatility models. *Relatorio de Trabalho*.
- de Jong, P. (1991). The diffuse Kalman filter. *The Annals of Statistics*, vol. 19:1073–1083.
- de Jong, P. e Shephard, N. (1995). The simulation smoother for time series models. *Biometrika*, vol. 82:339–350.
- Diebold, F. X. e Nerlove, M. (1989). The dynamics of exchange rate volatility: a multivariate latent factor Arch model. *Journal of Applied Econometrics*, vol. 4:1–21.

- Doornik, J. A. (2002). *Object-Oriented Matrix Programming using Ox*. Timberlake Consultants Press and Oxford: [www.nuff.ox.ac.uk/Users/Doornik](http://www.nuff.ox.ac.uk/Users/Doornik), Londres, RU.
- Engle, R. F., Ng, V. K., e Rotschild, M. (1990). Asset pricing with a factor-Arch covariance structure: Empirical estimates for treasury bills. *Journal of Econometrics*, vol. 45:213–238.
- Engle, R. F. e Sheppard, K. (2001). Theoretical and empirical properties of dynamics conditional correlation multivariate Garch. *Relatorio de Trabalho*.
- Franke, J., Hardle, W., e Stahl, G. (2000). *Measuring Risk in Complex Stochastic Systems*. Springer-Verlag, Nova Yorque, NY.
- Fuller, W. A. (1996). *Introduction to Time Series Models*. John Wiley, Nova Yorque.
- Gelman, A., Carlin, J. B., Stern, H. S., e Rubin, D. B. (1995). *Bayesian Data Analysis*. Chapman and Hall, Massachussets.
- Geman, S. e Geman, D. (1984). Stochastic relaxation, Gibbs distributions, and the Bayesian restoration of images. *IEEE Transactions on Pattern Analysis and Machine Intelligence*, vol. 6:721–741.
- Geweke, J. e Zhou, G. (1996). Measuring the pricing error of the arbitrage pricing theory. *Review of Financial Studies*, vol. 9:557–587.
- Geweke, J. F. e Singleton, K. J. (1980). Interpreting the likelihood ratio statistic in factor models when sample size is small. *Journal of the American Statistical Association*, vol. 75:133–137.
- Ghysels, E., Harvey, A. C., e Renault, E. (1996). Stochastic volatility. Em Rao, C. R. e Maddala, G. S., editores, *Handbook of Statistics*, vol. 14, pags: 119–191.
- Gilks, W. R., Richardson, S., e Spiegelhalter, D. J. (1996). *Markov Chain Monte Carlo in Practice*. Chapman and Hall, Sufolk, RU.

- Harvey, A. C. (1989). *Forecasting, Structural Time Series Models and the Kalman Filter*. Cambridge Univ. Press, Cambridge.
- Harvey, A. C., Ruiz, E., e Shephard, N. (1994). Multivariate stochastic variance models. *Review of Economic Studies*, vol. 61:247–264.
- Hastings, W. K. (1970). Monte Carlo sampling methods using markov chains and their applications. *Biometrika*, vol. 57:97–109.
- Hull, J. e White, A. (1987). The pricing of options on assets with stochastic volatilities. *Journal of Finance*, vol. 42:281–300.
- Ingersol, J. E. (1987). *Theory of Financial Decision Making*. Rowman Littlefield.
- Jacquier, E., Polson, N. G., e Rossi, P. E. (1994). Bayesian analysis of stochastic volatility models (with discussion). *Journal of Business and Economic Statistics*, vol. 12:371–417.
- Kim, S., Shephard, N., e Chib, S. (1998). Stochastic volatility: Likelihood inference and comparison with Arch models. *Review of Economics Studies*, vol. 65:361–393.
- King, M., Sentana, E., e Wadhwani, S. (1994). Volatility and links between national stock markets. *Econometrica*, vol. 62:901–933.
- Lopes, H. F. (2000). *Bayesian Analysis in Latent Factor and Longitudinal Models*. PhD thesis, Universidade Duke.
- Lopes, H. F. e West, M. (2000). Model uncertainty in factor analysis. *Relatorio de Trabalho*.
- McCulloch, R. e Rossi, P. E. (1991). A Bayesian approach to testing the arbitrage pricing theory. *Journal of Econometrics*, vol. 49:141–168.
- Metropolis, N. et al. (1953). Equations of state calculations by fast computing machines. *Journal of Chemical Physics*, vol. 21:1087–1092.

- Nardari, F. e Scruggs, J. T. (2003). Analysis of linear factor models with multivariate stochastic volatility for stock and bond returns. *Working Paper*.
- Ng, V. K., Engle, R. F., e Rothschild, M. (1992). A multi-dynamic-factor model for stock returns. *Journal of Econometrics*, vol. 52:245–266.
- Pitt, M. K. e Shephard, N. (1999). Filtering via simulation: Auxiliary particle filters. *Journal of the American Statistical Association*, vol. 94:590–599.
- Quintana, J. e West, M. (1987a). An analysis of international exchange rates using multivariate Dlm's. *The Statistician*, vol. 36:275–281.
- Quintana, J. e West, M. (1987b). Time series analysis of compositional data. Oxford University Press.
- Quintana, J. M. (1992). Optimal portfolio of forward currency contracts. Em Bernardo, J. M., Berger, J. O., David, A. P., e Smith, A. F. M., editores, *Bayesian Statistics*, vol. 4. Oxford University Press.
- RiskMetrics (1994). J.P. Morgan.
- Ross, S. (1976). The arbitrage theory of capital asset pricing. *Journal of Economic Theory*, vol. 13:341–360.
- Shephard, N. (1996). Statistical aspects of Arch and stochastic volatility. Em Cox, D., Barndorff Nielsen, O., e Hinkley, D., editores, *Time Series Models in Econometrics, Finance and Other Fields*, pags: 1–67. Chapman e Hall.
- Taylor, S. J. (1982). *Modelling Financial Time Series*. John Wiley.
- Taylor, S. J. (1984). Modelling stochastic volatility: A review and comparative study. *Mathematical Finance*, vol. 4:183–204.
- West, M. e Harrison, J. (1997). *Bayesian Forecasting and Dynamic Models*. Springer-Verlag, Nova Yorque, NY.